

АЗӘРБАЙЧАН ССР ЕЛМЛӘР АКАДЕМИЈАСЫ  
АКАДЕМИЯ НАУК АЗЕРБАЙДЖАНСКОЙ ССР

---

# МӘРҮЗӘЛӘР ДОКЛАДЫ

ТОМ XXI ЧИЛД

9

---

АЗӘРБАЙЧАН ССР ЕЛМЛӘР АКАДЕМИЈАСЫ НӘШРИЈАТЫ  
ИЗДАТЕЛЬСТВО АКАДЕМИИ НАУК АЗЕРБАЙДЖАНСКОЙ ССР

Бакы—1965—Баку

11-160  
АЗЭРБАЙЧАН ССР ЕЛМЛЭР АКАДЕМИЯСЫ  
АКАДЕМИЯ НАУК АЗЕРБАЙДЖАНСКОЙ ССР

# МЭ'РУЗЭЛЭР ДОКЛАДЫ

ТОМ XXI ЧИЛД

№ 9

АЗЭРБАЙЧАН ССР ЕЛМЛЭР АКАДЕМИЯСЫ НЭШРИЈАТЫ  
ИЗДАТЕЛЬСТВО АКАДЕМИИ НАУК АЗЕРБАЙДЖАНСКОЙ ССР  
БАКУ—1965—БАКУ

Ф. Д. ТЕЙМУРОВ

ПОПЕРЕЧНЫЙ УДАР ПО ГИБКОЙ НИТИ, НАХОДЯЩЕЙСЯ  
В СОПРОТИВЛЯЮЩЕЙСЯ СРЕДЕ

(Представлено академиком АН Узбекской ССР А. Х. Рахматулиным)

Задача о поперечном ударе по бесконечной гибкой нити впервые была рассмотрена Х. А. Рахматулиным [1]. В работе [2] П. Н. Рахмановым была рассмотрена задача о поперечном ударе по бесконечной гибкой нити, находящейся в сопротивляющейся среде. Рассмотрены два случая движения: 1) в начале удара и 2) через значительное время после удара. В первом случае пренебрегается касательной составляющей  $R_t$  силы сопротивления  $\bar{R}$ , а во втором случае нормальной составляющей  $R_n$ . Также пренебрегается компонентой скорости нити  $U_1$ . В обоих случаях даются приближенные аналитические решения.

Точное решение рассматриваемой выше задачи связано с существенными аналитическими трудностями. В данной работе предлагается расчетный метод для решения задачи на ЭВЦМ. При выводе расчетных уравнений используется аналитическое решение в области продольных волн.

§ I. ПОСТАНОВКА ЗАДАЧИ

Пусть материальная точка, движущаяся с переменной скоростью  $V_0 = V_0(t)$  встречает бесконечную гибкую нить, находящуюся в сопротивляющейся среде. Скорость точки в начале удара обозначим через  $V_{00}$ . Направление скорости предполагается постоянным и перпендикулярным к направлению нити. Выберем начало координат в точке удара. Ось  $U$  направим вдоль первоначального положения, ось  $V$  — перпендикулярно к ней. Положительное направление на оси  $V$  совпадает с направлением скорости удара. В этой системе координат задача симметрична относительно оси  $V$  и можно рассматривать решение только при  $U > 0$ .

Будем рассматривать движение нити последовательно в равные малые отрезки времени  $(k-1)\Delta t < t \leq k\Delta t$ , где  $k=1, 2, \dots, n$ ; величина  $\Delta t$  будет выбираться в ходе решения задачи.

От точки удара пойдут две волны сильного разрыва: во-первых, продольная волна, распространяющаяся по покоящейся нити и, во-вторых, вслед за ней, поперечная волна, распространяющаяся по возмущенной нити.

ПЧ7214  
Центральная научная  
БИБЛИОТЕКА  
Академии наук Киргизской ССР

РЕДАКЦИОННАЯ КОЛЛЕГИЯ: З. И. Халилов (главный редактор), Ш. А. Азизбеков, В. Р. Волобуев, Д. М. Гусейнов, И. А. Гусейнов, М. А. Дадашзаде (зам. главного редактора), М. А. Далин, Ч. М. Джуварлы, С. М. Кулиев, М. Ф. Нагиев (зам. главного редактора), М. А. Топчибашев, Г. Г. Зейналов (ответственный секретарь).

Адрес: г. Баку, Коммунистическая, 10. Редакция «Докладов Академии наук Азербайджанской ССР».

В зоне между фронтами продольной и поперечной волн известно аналитическое решение. За каждый промежуток времени часть нити перейдет через фронт поперечной волны из этой зоны в поперечную область. Если  $\Delta t$  мал, то такой элемент нити будет также мал, его можно приближенно заменить материальной точкой, которая в момент перехода через точку излома приобретает некоторую поперечную скорость. В дальнейшем эта точка будет двигаться под воздействием соседних точек, передаваемым с помощью натяжения элементов нити, соединяющих эти точки. Свойства этих элементов, не имеющих массы, соответствуют свойствам исходной упругой нити.

Введем следующие обозначения:

$b_i$ —абсолютная скорость перемещения точки излома в момент времени  $t=i\Delta t$ ,

$U_i; V_i$ —координаты точки нити, находившейся в точке излома,

$\dot{U}_i; \dot{V}_i$ —компоненты скорости,

$T_i$ —натяжение,  $\varepsilon_i$ —деформация,  $\gamma_i$ —угол, образуемый элементом нити с направлением оси  $U$ .

Если величина будет занумерована двумя индексами, то первый индекс будет отражать момент появления соответствующей частицы в поперечной зоне, а второй индекс будет фиксировать значение этой величины в некоторый последующий момент времени. Например:

$U_{i-1}$ —абсцисса точки номером  $i$  в момент времени  $t=(i-1)\Delta t$  ( $i \leq j$ ).

Зависимость между напряжением и деформацией считается известной

$$T = \Phi(\varepsilon) \quad (1,1)$$

Функция  $\Phi$  описывает свойства материала.

На поперечной волне сильного разрыва деформация считается непрерывной. В продольной области между скоростью частиц и деформацией имеет место соотношение

$$\dot{U}_i^* = \psi(\varepsilon) - \psi(\varepsilon_{00}), \quad (1,2)$$

где  $\psi(\varepsilon) = \int_0^\varepsilon ad\varepsilon$ ,  $a = \sqrt{\frac{1}{\rho_0} \frac{dT}{d\varepsilon}}$ ,  $\rho_0$ —начальная плотность нити,  $\varepsilon_{00}$ —

начальная деформация нити до удара.

Считается, что сопротивление жидкости, отнесенное к единице длины нити, описывается формулой

$$R = C_1 d \cdot \rho_1 \frac{V^2}{2}$$

и направление под некоторым углом к нити.

$C_1$ —коэффициент сопротивления жидкости,  $d$ —диаметр нити,  $\rho_1$ —плотность жидкости,  $V$ —скорость нити в жидкости и определяется формулой  $V^2 = U^2 + \dot{V}^2$ .

## § 2. УСЛОВИЯ НА ПОПЕРЕЧНОЙ ВОЛНЕ СИЛЬНОГО РАЗРЫВА

Рассмотрим распространение поперечной волны сильного разрыва за интервал времени  $(i-1)\Delta t \leq t < i\Delta t$ . Обратимся к рассмотрению условий в окрестности точки излома  $O$ , в которой нить поворачивается на угол  $\gamma_i$  (см. рисунок).

Ввиду малости  $\Delta t$  эта окрестность тоже мала и в пределах отрезка  $OP$  все параметры можно считать постоянными.

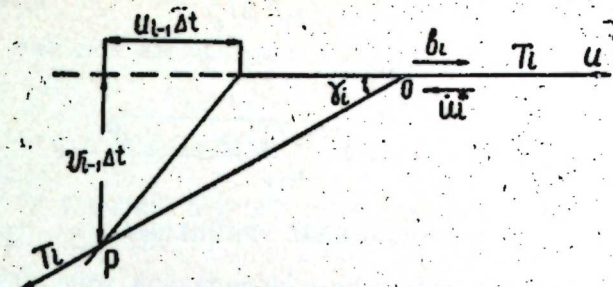


Рис.

За время  $\Delta t$  часть нити с массой  $\rho_1 F_i (b_i + \dot{U}_i^*) \Delta t$  пройдет через точку излома. Применяя теорему количества движения для элемента сильного разрыва и используя условия сохранения массы этого элемента

имеем

$$\rho_0 F_0 = \rho_1 F_i (1 + \varepsilon_i) \quad (2,1)$$

$$\rho_0 (b_i + \dot{U}_i^*) (\dot{U}_{i-1} - \dot{U}_i^*) = T_i (\cos \gamma_i - 1) (1 + \varepsilon_i)$$

$$\rho_0 (b_i + \dot{U}_i^*) \dot{V}_{i-1} = T_i \sin \gamma_i (1 + \varepsilon_i)$$

Кроме того, имеет место кинематическое соотношение

$$\dot{V}_{i-1} = (b_i + \dot{U}_{i-1}) \tan \gamma_i$$

$$\dot{U}_i^* = \psi(\varepsilon_i) - \psi(\varepsilon_{00})$$

После несложных преобразований получим

$$\rho_0 (b_i + \dot{U}_i^*)^2 = T_i (1 + \varepsilon_i) \quad (2,2)$$

$$(b_i + \dot{U}_i^*) = (b_i + \dot{U}_{i-1}) \sec \gamma_i \quad (2,3)$$

$$\dot{V}_i = (b_i + \dot{U}_{i-1}) \tan \gamma_i \quad (2,4)$$

$$\dot{U}_i^* = \psi(\varepsilon_i) - \psi(\varepsilon_{00}) \quad (2,5)$$

Согласно (1,1)

$$T_i = \Phi(\varepsilon_i) \quad (2,6)$$

Условия на разрыве задаются величинами  $b_i$ ,  $\dot{U}_i^*$ ,  $T_i$ ,  $\varepsilon_i$ ,  $\gamma_i$ .

Видно, что их можно определить из системы (2,2)–(2,6), если известны величины  $\dot{U}_{i-1}$  и  $\dot{V}_{i-1}$ . А эти величины представляют собой компоненты скорости той частицы в зоне поперечного движения, которая ближе всех к точке излома. Движение частиц в этой зоне описывается обыкновенными дифференциальными уравнениями (см. § 3).

Зная значение деформации  $\varepsilon_{i,i}$  можно найти первоначальную длину этого элемента, который за время  $\Delta t$  перешел через точку излома. Первоначальной длиной называется та длина, которую элемент нити имел до удара. Обозначим ее  $\Delta l_{i,0}$

$$\Delta l_{i,0} = \frac{(b_i + \dot{U}_i^*) \Delta t}{1 + \varepsilon_{i,i}}$$

Умножая эту длину на  $\rho_0 F_0$  получим массу этого элемента, которую обозначим через  $\Delta m_i$ .

$$\Delta m_i = \rho_0 F_0 \Delta l_{i,0}$$

Легко видеть, что последующие промежутки времени деформации элемента  $\Delta l_{i,0}$  будет

$$\varepsilon_{i,j} = \frac{V(U_{i,j} - U_{i-1,j})^2 + (V_{i-1,j} - V_{i,j})^2}{\Delta l_{i,0}} - 1 \quad (2,7)$$

### § 3. ОСНОВНЫЕ УРАВНЕНИЯ

Составим уравнения движения в поперечной зоне для временного интервала  $i\Delta t \leq t < (i+1)\Delta t$ . Сначала займемся той частицей, которая вошла в зону в предыдущий интервал времени  $\Delta t$ .

Поперечная составляющая ее начальной скорости, которую она получила на фронте поперечной волны за счет сил натяжения изогнутой нити, считается равной скорости предыдущей частицы

$$V_{i,j} = V_{i-1,j}$$

Продольная составляющая скорости этой частицы при переходе через точку излома остается непрерывной

$$\dot{U}_{i,i} = \dot{U}_i^*$$

Воздействие сил натяжения на движение этой частицы заложено в начальной скорости. Движение частицы за время  $i\Delta t \leq t < (i+1)\Delta t$  будем считать совершающей под воздействием только сил сопротивления жидкости. Его уравнения

$$\Delta m_i \frac{d^2 U_i}{dt^2} = -R_{n,i} \Delta l_i \sin \gamma_i + R_{t,i} \Delta l_i \cos \gamma_i \quad (3,1)$$

$$\Delta m_i \frac{d^2 U_i}{dt^2} = -R_{n,i} \Delta l_i \cos \gamma_i - R_{t,i} \Delta l_i \sin \gamma_i,$$

где  $R_n$ ,  $R_t$  — касательная и нормальная составляющие сопротивления  $R$ . Второй индекс показывает номер элемента нити, на который действует сила сопротивления.

Движение ударяющего тела, направленное по оси  $V$  во все интервалы времени описывается уравнением

$$M \frac{dV_0}{dt} = -2T_1 \sin \gamma_1, \quad (3,2)$$

где  $M$  — масса ударяющего тела.

Силой сопротивления жидкости для этого тела пренебрегаем.

Уравнения движения остальных точек однотипны и учитывают как силы натяжения нити, так и сопротивление среды

$$\Delta m_k \frac{d^2 U_k}{dt^2} = T_{k+1} \cos \gamma_{k+1} - T_k \cos \gamma_k - R_{n,k} \Delta l_k \sin \gamma_k + R_{t,k} \Delta l_k \cos \gamma_k \quad (3,3)$$

$$\Delta m_k \frac{d^2 V_k}{dt^2} = T_k \sin \gamma_k - T_{k+1} \sin \gamma_{k+1} - R_{n,k} \Delta l_k \cos \gamma_k - R_{t,k} \Delta l_k \sin \gamma_k,$$

где  $k = 1, 2, \dots, i-1$

Таким образом, при  $i\Delta t \leq t < (i+1)\Delta t$  (3,1)–(3,3) представляют замкнутую систему обыкновенных дифференциальных уравнений с начальными условиями

$$\begin{aligned} U_1 &= U_{j,1}; & \dot{U}_1 &= \dot{U}_{j,1} \\ V_0 &= V_{0,1}; & \dot{V}_0 &= \dot{V}_{0,1} \\ V_1 &= V_{j,1}; & \dot{V}_1 &= \dot{U}_{j,1}, \end{aligned}$$

где  $j = 1, 2, \dots, i$ .

При  $0 \leq t \leq \Delta t$  решение определяется соотношениями (2,2)–(2,6), в которых  $V_0 = V_{00}$ ;  $\dot{U}_0 = 0$ .

### ЛИТЕРАТУРА

1. Рахматуллин Х. А. О косом ударе по гибкой нити с большими скоростями при наличии трения. ПММ, т. 9, вып. 6, 1945.
2. Рахманов П. А. Исследования поперечного удара по гибкой нити, находящейся в сплошной среде. „Изв. АН Азерб. ССР, серия физ.-матем. и техн. наук“, 1960, № 5.

Институт математики и механики

Поступило 20. VI 1965

Ф. Д. Тejмурев

### Мұғавимәтли мұнітдәкі телә енинә зәрбә

#### ХУЛАСӘ

Мәгәләдә мұғавимәтли мұнітдәкі телә зәрбә заманы әмәлә қелән көркінлік вәзијәти електрон несаблајычы машиналар өсіретін мүэллиф тәрәфиндән верилән һәллетмә методу арашдырылыштырып. Несаблама формуллары чыхарылышинда узунуна далғаларын жајылмасы областындағы нәзәри һәлләдә истифадә едилмешdir.

МАТЕМАТИКА

Р. А. ВАСИН, А. Б. ИБРАГИМОВ

О ВИДЕ МАТРИЦЫ ДЕФОРМАЦИОННОЙ АНИЗОТРОПИИ

(Представлено академиком АН Азербайджанской ССР З. И. Халиловым.)

При рассмотрении упруго-пластических деформаций обычно используют разложение полной деформации  $\bar{\mathcal{E}}$  на упругую  $\bar{\mathcal{E}}^e$  и пластическую  $\bar{\mathcal{E}}^p$ , причем принимается, что  $\bar{\mathcal{E}}^e$ —однородная линейная функция компонент вектора напряжений  $\bar{\sigma}$ , а  $\bar{\mathcal{E}}^p = \bar{\mathcal{E}}|_{\bar{\sigma}=0}$ . Таким образом, реальные свойства пластических деформаций описываются гипотезой о разгрузке [1]: „для каждой точки к траектории деформации (нагружения) существует поверхность  $F=0$ , являющаяся инвариантом предшествующей траектории (до  $K$ ), разделяющая область пассивных и активных деформаций; внутри  $F$  пластическая деформация  $\bar{\mathcal{E}}^p$  остается постоянной, а упругая  $\bar{\mathcal{E}}^e$  является однородной линейной функцией напряжения  $\sigma$  (и обратно):

$$\bar{\mathcal{E}}^e = (\varepsilon_{ij})\bar{\sigma}, \bar{\sigma} = (E_{ij})\bar{\mathcal{E}}^e, \quad (1)$$

причем матрицы коэффициентов упругости ( $\varepsilon$ ) и ( $E$ ) зависят только от активных участков траектории (до  $K$ ), являются симметричными и обратными...“

Используя постулат изотропии [2] и гипотезу о разгрузке можно в общем случае записать выражение для  $\bar{\sigma}$  в виде

$$\bar{\sigma} = A_{ij}(\bar{\mathcal{E}}^e \bar{X}^j) \bar{X}^i; i, j = 1, \dots, 5, \quad (2)$$

где  $A_{ij}$ —инварианты, зависящие от истории деформирования до точки  $K$ , а  $\bar{X}^i$ —некоторые физические линейно независимые векторы (полный базис). Из соображений симметрии  $A_{ij} = A_{ji}$ . Компоненты матрицы ( $E$ ) выражаются через  $A_{ij}$  следующим образом

$$E_{mn} = A_{ij} X_m^i X_n^j \quad (3)$$

Если из точки  $K$  осуществляется пассивная деформация (разгрузка), величины  $A_{ij}$ —постоянные: Для их определения из опыта в общем случае следует произвести 5 разгрузок в различных направлениях внутри  $F=0$  (направления разгрузок должны быть линейно независимы). Обозначая напряжения и деформаций в конце  $r$ -ой разгрузки индексом  $r$

$$\bar{\sigma} = A_{ij} [(\bar{\mathcal{E}}^e)^r \bar{X}^j] \bar{X}^i,$$

получим для разностей напряжений и деформаций

$$\Delta \bar{\sigma}^r = A_{ij} (\Delta \bar{\mathcal{E}}^e)^r \bar{X}^i, (\Delta \bar{\mathcal{E}}^e)^r \equiv (\Delta \bar{\mathcal{E}})^r. \quad (4)$$

Умножая (4) на  $\bar{X}^p$ , получим 25 скалярных уравнений для определения 15 неизвестных  $A_{ij}$ .

$$\beta_{rp} = A_{ij} \alpha_{rj} \gamma_{ip}; i, j, p, r = 1, 2, \dots, 5, \quad (5)$$

где введены обозначения

$$\beta_{rp} = \Delta \bar{\sigma}^r \bar{X}^p; \alpha_{rj} = \Delta \bar{\mathcal{E}}^e \bar{X}^j; \gamma_{ip} = \bar{X}^i \bar{X}^p.$$

Покажем, что ранг матрицы коэффициентов ( $\alpha$ ) при  $A_{ij}$  в (5) равен 15. Для удобства выкладок будем считать, что векторы  $\bar{X}^i$  ортогональные и единичные, так что  $\gamma_{ip} = 0$ , если  $i \neq p$ , и  $\gamma_{ip} = 1$ , если  $i = p$ . Тогда (5) примет вид

$$\beta_{rp} = A_{pj}; \alpha_{rj} \quad (5')$$

Как видно из (5'), матрица ( $\alpha$ ) коэффициентов при  $A_{ij}$  обладает следующим свойством: строки с номерами, сравнимыми по модулю 5, отличаются только первым индексом у  $\alpha_{rj}$ , причем  $r$ —целая часть дроби  $\frac{p+4}{5}$ , где  $p$ —номер строки. Поэтому достаточно выписать, например,

только первые 5 строк ( $\alpha$ ), отвечающие индексу  $r=1$ :

$$\begin{vmatrix} \alpha_{11} & \alpha_{12} & \alpha_{13} & \alpha_{14} & \alpha_{15} & 0 & 0 & 0 & 0 & 0 & 0 & 0 & 0 & 0 & 0 & 0 & 0 & 0 \\ 0 & \alpha_{11} & 0 & 0 & 0 & \alpha_{12} & \alpha_{13} & \alpha_{14} & \alpha_{15} & 0 & 0 & 0 & 0 & 0 & 0 & 0 & 0 & 0 \\ 0 & 0 & \alpha_{11} & 0 & 0 & 0 & \alpha_{12} & 0 & 0 & \alpha_{13} & \alpha_{14} & \alpha_{15} & 0 & 0 & 0 & 0 & 0 & 0 \\ 0 & 0 & 0 & \alpha_{11} & 0 & 0 & 0 & \alpha_{12} & 0 & 0 & \alpha_{13} & 0 & \alpha_{14} & \alpha_{15} & 0 & 0 & 0 & 0 \\ 0 & 0 & 0 & 0 & \alpha_{11} & 0 & 0 & 0 & \alpha_{12} & 0 & 0 & \alpha_{13} & 0 & \alpha_{14} & \alpha_{15} & 0 & 0 & 0 \end{vmatrix}$$

Рассмотрим минор 15 порядка матрицы ( $\alpha$ ), образованный из 1÷5 строчек матрицы, отвечающих индексу  $r=1$ ; 2÷5 строчек, отвечающих индексу  $r=2, \dots, 5$  строчки, отвечающей индексу  $r=5$

$$M = \begin{vmatrix} \alpha_{11} & \alpha_{12} & \alpha_{13} & \alpha_{14} & \alpha_{15} & 0 & 0 & 0 & 0 & 0 & 0 & 0 & 0 & 0 & 0 & 0 & 0 & 0 \\ 0 & \alpha_{11} & 0 & 0 & 0 & \alpha_{12} & \alpha_{13} & \alpha_{14} & \alpha_{15} & 0 & 0 & 0 & 0 & 0 & 0 & 0 & 0 & 0 \\ 0 & 0 & \alpha_{11} & 0 & 0 & 0 & \alpha_{12} & 0 & 0 & \alpha_{13} & \alpha_{14} & \alpha_{15} & 0 & 0 & 0 & 0 & 0 \\ 0 & 0 & 0 & \alpha_{11} & 0 & 0 & 0 & \alpha_{12} & 0 & 0 & \alpha_{13} & 0 & \alpha_{14} & \alpha_{15} & 0 & 0 & 0 \\ 0 & 0 & 0 & 0 & \alpha_{11} & 0 & 0 & 0 & \alpha_{12} & 0 & 0 & \alpha_{13} & 0 & \alpha_{14} & \alpha_{15} & 0 & 0 & 0 \\ 0 & \alpha_{21} & 0 & 0 & 0 & \alpha_{22} & \alpha_{23} & \alpha_{24} & \alpha_{25} & 0 & 0 & 0 & 0 & 0 & 0 & 0 & 0 & 0 \\ 0 & 0 & \alpha_{21} & 0 & 0 & 0 & \alpha_{22} & 0 & 0 & \alpha_{23} & \alpha_{24} & \alpha_{25} & 0 & 0 & 0 & 0 & 0 & 0 \\ M = 0 & 0 & 0 & \alpha_{21} & 0 & 0 & 0 & \alpha_{22} & 0 & 0 & \alpha_{23} & 0 & \alpha_{24} & \alpha_{25} & 0 & 0 & 0 & 0 \\ 0 & 0 & 0 & 0 & \alpha_{21} & 0 & 0 & 0 & \alpha_{22} & 0 & 0 & \alpha_{23} & 0 & \alpha_{24} & \alpha_{25} & 0 & 0 & 0 \\ 0 & 0 & \alpha_{31} & 0 & 0 & 0 & \alpha_{32} & 0 & 0 & \alpha_{33} & \alpha_{34} & \alpha_{35} & 0 & 0 & 0 & 0 & 0 & 0 \\ 0 & 0 & 0 & \alpha_{31} & 0 & 0 & 0 & \alpha_{32} & 0 & 0 & \alpha_{33} & 0 & \alpha_{34} & \alpha_{35} & 0 & 0 & 0 & 0 \\ 0 & 0 & 0 & 0 & \alpha_{31} & 0 & 0 & 0 & \alpha_{32} & 0 & 0 & \alpha_{33} & 0 & \alpha_{34} & \alpha_{35} & 0 & 0 & 0 \\ 0 & 0 & 0 & 0 & 0 & \alpha_{31} & 0 & 0 & 0 & \alpha_{32} & 0 & 0 & \alpha_{33} & 0 & \alpha_{34} & \alpha_{35} & 0 & 0 & 0 \\ 0 & 0 & 0 & 0 & 0 & \alpha_{41} & 0 & 0 & 0 & \alpha_{42} & 0 & 0 & \alpha_{43} & 0 & \alpha_{44} & \alpha_{45} & 0 & 0 & 0 \\ 0 & 0 & 0 & 0 & 0 & \alpha_{41} & 0 & 0 & 0 & \alpha_{42} & 0 & 0 & \alpha_{43} & 0 & \alpha_{44} & \alpha_{45} & 0 & 0 & 0 \\ 0 & 0 & 0 & 0 & 0 & \alpha_{51} & 0 & 0 & 0 & \alpha_{52} & 0 & 0 & \alpha_{53} & 0 & \alpha_{54} & \alpha_{55} & 0 & 0 & 0 \end{vmatrix}$$

Приведем  $M$  к диагональному виду, вычитая из 6-й строчки вторую умноженную на  $\frac{\alpha_{21}}{\alpha_{11}}$ ; из 7-й и 10-й—третью, умноженную соответственно на  $\frac{\alpha_{31}}{\alpha_{11}}$  и  $\frac{\alpha_{41}}{\alpha_{11}}$  и т. д. Тогда будем иметь

$$M = \alpha_{11}^5 Y_2^4 Z_3^3 \mu_4^4 \nu_5,$$

где введены обозначения

$$Y_j = \frac{\alpha_{2j}}{\alpha_{11}} \alpha_{1j}; Z_j = \frac{\alpha_{3j}}{\alpha_{11}} \alpha_{1j}; \mu_j = \alpha_{4j} - \frac{\alpha_{41}}{\alpha_{11}} \alpha_{1j}; v_j = \alpha_{5j} - \frac{\alpha_{51}}{\alpha_{11}} \alpha_{1j};$$

$$Z_p = Z_p - \frac{z_2}{y_2} y_p; \mu_p = \mu_p - \frac{\mu_2}{y_2} y_p; v_p = v_p - \frac{v_2}{y_2} y_p;$$

$$\mu_p' = \mu_p - \frac{\mu_3}{z_3} z_p; v_p' = v_p - \frac{v_3}{z_3} z_p; v_5 = v_5 - \frac{v_4}{\mu_4} \mu_5.$$

Подставляя в  $y, z, \mu, v$  их выражения через  $\alpha_{ij}$  получим

$$M = \alpha_{11} \prod_{i,j=1,2} (\alpha_{ii} \alpha_{jj}) \prod_{i,j,k=1,2,3} (\alpha_{ii} \alpha_{jj} \alpha_{kk}) \times \\ \times \prod_{i,j,k,l=1,2,3,4} (\alpha_{ii} \alpha_{jj} \alpha_{kk} \alpha_{ll}) \prod_{i,j,k,l,m=1,..,5} (\alpha_{ii} \alpha_{jj} \alpha_{kk} \alpha_{ll} \alpha_{mm}),$$

Где  $\Pi$  означает сумму соответствующих одночленов по индексам  $i, j, \dots$  (индексы  $i, j, \dots$  попарно не равны между собой), причем перед одночленом берется знак „плюс“, если постановка из индексов  $i, j, \dots$  четная, и „минус“, если постановка эта нечетная. Докажем, что  $M \neq 0$  в случае, когда направления разгрузок  $\Delta \bar{\mathcal{E}}$  линейно независимы. В силу линейной независимости направлений разгрузок 1) существует направление—обозначим его  $\Delta \bar{\mathcal{E}}^1$ —не ортогональное вектору  $\bar{X}'$  (в противном случае все  $\Delta \bar{\mathcal{E}}^i$  лежали бы в гиперплоскости, перпендикулярной вектору  $\bar{X}'$ ); 2) существует направление—обозначим его  $\Delta \bar{\mathcal{E}}^2$ —такое, что угол между проекциями векторов  $\Delta \bar{\mathcal{E}}^1$  и  $\Delta \bar{\mathcal{E}}^2$  на плоскость  $(\bar{X}', \bar{X})$  отличен от нуля (т. е. площадь параллелограмма, построенного на векторах—проекциях  $\Delta \bar{\mathcal{E}}^1$  и  $\Delta \bar{\mathcal{E}}^2$  на плоскость  $(\bar{X}', \bar{X})$ , отлична от нуля); 3) существует направление—обозначим его  $\Delta \bar{\mathcal{E}}^3$ —такое, что объем построенный на 3 векторах—проекциях  $\Delta \bar{\mathcal{E}}^1, \Delta \bar{\mathcal{E}}^2, \Delta \bar{\mathcal{E}}^3$  на гиперплоскость  $(\bar{X}', \bar{X}^2, \bar{X}^3)$ , отличен от нуля; 4) существует  $\Delta \bar{\mathcal{E}}^4$  такое, что объем, построенный на 4 векторах—проекциях  $\Delta \bar{\mathcal{E}}^1, \Delta \bar{\mathcal{E}}^2, \Delta \bar{\mathcal{E}}^3, \Delta \bar{\mathcal{E}}^4$  на гиперплоскость  $(\bar{X}', \bar{X}^2, \bar{X}^3, \bar{X}^4)$ , отличен от нуля; 5) объем, построенный на  $\Delta \bar{\mathcal{E}}^1, \dots, \Delta \bar{\mathcal{E}}^5$ , отличен от нуля. Как известно, объемы, перечисленные выше (в 1) это отрезок, в 2) параллелограмм, равны определителям соответствующего порядка, в которых столбцы представляют координаты векторов  $\Delta \bar{\mathcal{E}}^1, \dots$  по осям  $\bar{X}', \dots$ . Нетрудно видеть, что суммы  $\Pi_j$  как раз являются такими определителями ( $\Pi_j \equiv \alpha_{1j}$ ). Отсюда следует законность выкладок при приведении  $M$  к диагональному виду (нам приходилось производить деление на  $\alpha_{11}, Y_2, \dots$ , равные  $\Pi_j$  или  $\frac{\Pi_j}{\Pi_k}$ ), а также отличие  $M$  от нуля.

Таким образом, матрица ( $A$ ) содержит 15 независимых значений коэффициентов. Можно показать, что при числе линейно независимых разгрузок, меньшем пяти, ранг матрицы ( $A$ ) меньше 15, а следовательно, из этих разгрузок нельзя полностью определить матрицу ( $A$ ). Вычисления, аналогичные проделанным выше, показывают, что в четырехмерном пространстве деформаций (т. е. при наличии четырех физических линейно независимых векторов) матрица ( $A$ ) содержит десять независимых коэффициентов, в трехмерном—шесть, в плоском—три.

Следовательно, деформационная анизотропия, которую в принципе можно получить в результате пластического деформирования тела, представляет собой самый общий вид анизотропии упругих свойств.

Рассмотрение деформационной анизотропии как не самого общего вида анизотропии упругих свойств имеется, например, в работах А. А. Ильюшина [1, 3]. Этот подход связан с тем, что базис, в котором рассматривается вектор  $\sigma$ , образован из четырех линейно независимых векторов  $\bar{X}^i, i=1,2,3,4$ , взятых в точке  $K$  траектории, изменяющегося вектора  $\bar{\mathcal{E}}^e$ , так что (2) в этом случае принимает вид

$$\bar{\sigma} = S \bar{\mathcal{E}}^e + S_{ij} (\bar{\mathcal{E}}^e \bar{X}^i) \bar{X}^j, i,j=1,2,3,4, \quad (2')$$

причем  $S, S_{ij}$  считаются постоянными при разгрузке. Так как  $S_{ij} = S_{ji}$ , деформационная анизотропия определяется только II величинами  $S, S_{ij}$ . Фактически  $S, S_{ij}$  не являются постоянными при разгрузке. В частности, сравнивая (2) и (2'), получим для  $S$

$$S = \Gamma \frac{A_{5j} (\bar{\mathcal{E}}^e \bar{X}^j)}{\Gamma_{rs} (\bar{\mathcal{E}}^e \bar{X}^r)} \quad (6)$$

так что  $S$ —дробно-линейная функция нулевого порядка относительно компонентов  $\bar{\mathcal{E}}^e$  (в (6)  $\Gamma = |\gamma_{ij}|$ , а  $\Gamma_{rs}$ —алгебраическое дополнение элемента  $\gamma_{rs}$  в  $\Gamma$ ). Вместе с тем запись  $\bar{\sigma}$  в виде (2') имеет определенный физический смысл—в ней, по-видимому, выделяется главный член в связи  $\bar{\sigma}$  и  $\bar{\mathcal{E}}^e$ . Это подтверждают эксперименты на сложное нагружение с частичными разгрузками, проводившиеся нами в НИИ механики МГУ на машине СН.

## ЛИТЕРАТУРА

1. Ильюшин А. А. Об основах общей математической теории пластичности. Сб. „Вопросы теории пластичности“. Изд-во АН СССР, 1961.
2. Ильюшин А. А. О связи между напряжениями и малыми деформациями в механике сплошных сред. ПММ, т. 18, 6, 1954.
3. Ильюшин А. А. Пластичность. Изд-во АН СССР, 1963.

Институт математики и  
механики

Поступило 7. V 1965

Р. А. Васин, А. Б. Ибраимов

Анизотропия деформации матрицы формасы һагында  
ХУЛАСЭ

Мәғаләдә мүрәккәб йүкләнмә нәтиҗәсindә чисимдә әмәлә қәлән анизотроплуғу характеристика едән деформация матрицы формасы үмуми шәклиндә данышылыры.

Бу матрис там симметрикдир, јәни үмуми беш өлчүлү фәзада—15, дәрд өлчүлү фәзада—10, үч өлчүлү фәзада—6, икк өлчүлү фәзада—3 асылы олмајан еластики әмсаллардан тәшкил олунмуштур.

Іәмин әмсалларын тә'јин едилмәси үчүн йүксүзләшdirмә нәгтәсindән хәтти асылы олмајан физики векторларын сағы гәдәр (бу векторлар фәзаны һарадыр) йүксүзләшdirмә апармаг лазымдыр. Беләлликә демәк олар ки, чисмин мүрәккәб еластик-пластик деформация анизотропия аныктырылган.

## ТЕХНИЧЕСКАЯ ФИЗИКА

Ч. М. ДЖУВАРЛЫ, Е. В. ДМИТРИЕВ

## ЧИСЛЕННЫЕ МЕТОДЫ РЕШЕНИЯ ЗАДАЧ ПО ПЕРЕХОДНЫМ ЭЛЕКТРОМАГНИТНЫМ ПРОЦЕССАМ В СЛОЖНОЙ СЕТИ

Цифровые вычислительные машины находят все больше применение при решении разнообразных задач, связанных с коммутационными перенапряжениями в электрических сетях, характер развития которых определяет уровень изоляции энергосистем высоких и сверхвысоких напряжений.

Переходные процессы, связанные с коммутациями в сложной сети при наличии короны на ее ЛЭП, влияние земли, дуги в различных устройствах описываются системой нелинейных уравнений, состоящей из уравнений с частными производными, обыкновенных дифференциальных уравнений и алгебраических уравнений. Использование ЭЦВМ для решения этих уравнений как в Союзе, так и за рубежом началось несколько лет тому назад [1-3 и др.]. Однако методы и алгоритмы расчета, предложенные в этих работах, были разработаны при существенных упрощениях этих уравнений (например, в [1] рассматриваются линии без потерь не содержащие нелинейные элементы, в [2] рассматриваются неискажающие линии), которые неизбежны при расчетах с помощью аналоговых машин, расчетных столов, физических моделей и аналитических методов ввиду ограниченных возможностей этих средств. Применение ЭЦВМ дает возможность решать эти уравнения без упрощений и с учетом различных факторов, существенно влияющих на картину развития переходного процесса.

Настоящая работа посвящена методам численного решения уравнений, описывающих переходный электромагнитный процесс в сложной сети и без их упрощения.

Уравнение  $m$ -проводной ЛЭП применительно к решению их методом Рунге-Кутта. Эти уравнения записываются в виде [5].

$$[L']_{mm} \frac{d}{dt} [i]_m = [u_{n-1}]_m - [u_n]_m - [r']_{mm} [i_n]_m, \quad (1)$$

$$[c']_{mm} \frac{d}{dt} [u]_m = [i_{n-1}]_m - [i_n]_m - [g^1]_{mm} [u_n]_m,$$

$$n=0,1,2\dots k$$

Значение  $[u_n(t)]_m$ ,  $[i_n(t)]_m$  для момента  $t+\Delta t$  ( $\Delta t$ —шаг расчета) может быть найдено двумя методами, если они известны для момента  $t$ . Применение этих методов целесообразно в случае нелинейности уравнений (1).

По первому методу значения  $[i_{n,t+\Delta t}]_m$ ,  $[u_{n,t+\Delta t}]_m$  при использовании метода Рунге-Кутта 1-го порядка находятся следующим образом:

$$\begin{aligned} [i_{n,t+\Delta t}]_m &= [i_{n,t}]_m + \Delta t [L']_{mm}^{-1} ([u_{n-1,t}]_m - [u_{n,t}]_m - [r']_{mm} [i_{n,t}]_m), \\ [u_{n,t+\Delta t}]_m &= [u_{n,t}]_m + \Delta t [c']_{mm}^{-1} ([i_{n-1,t}]_m - [i_{n,t}]_m - [g^1]_{mm} [u_{n,t}]_m). \end{aligned} \quad (2)$$

При применении второго метода имеем:

$$\begin{aligned} i_{k,n,t+\Delta t} &= i_{k,n,t} + \Delta t \frac{\Delta' k_1}{\Delta_1}, \quad k=1,2,\dots,m \\ u_{k,n,t+\Delta t} &= u_{k,n,t} + \Delta t \frac{\Delta' k_2}{\Delta_2}, \end{aligned} \quad (3)$$

где

$$\Delta_1 = | L' |$$

$$\Delta_2 = | c' |$$

Определители  $\Delta_{k_1}$  и  $\Delta_{k_2}$  получаются из  $\Delta_1$  и  $\Delta_2$  путем замены  $k$ -го столбца на столбец

$$[u_{n-1,t}]_m - [u_{n,t}]_m - [r']_{mm} [i_{n,t}]_m \text{ — для токов;}$$

$$[i_{n-1,t}]_m - [i_{n,t}]_m - [g^1]_{mm} [u_{n,t}]_m \text{ — для напряжения.}$$

Решение уравнений (1) методом (2) или (3) даст значения токов на всех участках линии и напряжения в ее внутренних точках. Значения  $u(0,t)$  и  $u(l,t)$  для начала и конца линии, как узловых точек сети могут быть найдены из граничных условий.

Рассмотрим узел, который изображен на рисунке. Для определения напряжения в узле необходимо составить следующие уравнения.

Уравнения трансформатора [4].

Уравнения, описывающие переходный процесс в защитном устройстве [2]. (4)

Уравнения ЛЭП, сходящихся в данном узле, а также следующее уравнение

$$[c]_{mm} \frac{d}{dt} [u]_m = [i_c]_m - [g]_{mm} [u]_m$$

Здесь  $[c]_{mm}$  — эквивалентная емкость,  $[g]_{mm}$  — проводимость утечки  $n/cm$ .

Ток  $[i_c]_m$  рассматриваемого узла равен.

$$[i_c]_m = [i_1]_m + [i_2]_m + \dots + [i_n]_m + [i_3]_m + [i_T]_m,$$

здесь  $[i_1]_m$ ,  $[i_2]_m, \dots, [i_n]_m$  — токи участков ЛЭП 1, 2, ...,  $n$ , непосредственно примыкаемых к рассматриваемому узлу.  $[i_3]_m$ ,  $[i_T]_m$  — ток трансформатора и защитного устройства.

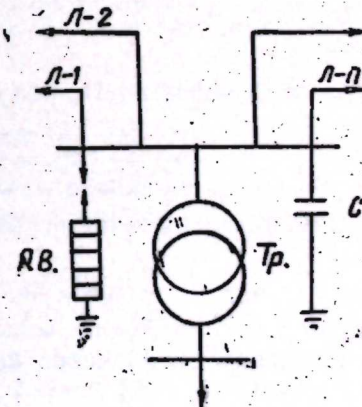


Рис. 1

Решение уравнения  $m$ -проводной ЛЭП методом прогонки. Для этого случая уравнение ЛЭП записывается в виде

$$-\frac{\partial^2}{\partial x^2} [u]_m = -[L]_{mm} [c]_{mm} \frac{\partial^2}{\partial t^2} [u]_m - \\ - [r]_{mm} [c]_{mm} + [g]_{mm} [L]_{mm} \frac{\partial}{\partial t} [u]_m - [r]_{mm} [g]_{mm} [u]_m \quad (5)$$

Заметим это уравнение системой (6), аппроксимирующей ее с точностью до  $h^2$ .

$$-\frac{\partial^2}{\partial x^2} [u]_m = -[L]_{mm} [c]_{mm} \cdot \frac{1}{\Delta t^2} \{ [u]_{t+\Delta t} - 2[u]_t + \\ + [u]_{t-\Delta t} \} - \{ [L]_{mm} [g]_{mm} + [r]_{mm} [c]_{mm} \} \frac{1}{2\Delta t} \{ [u]_{t+\Delta t} - \\ - [u]_{t-\Delta t} \} - [r]_{mm} [g]_{mm} [u]_t. \quad (6)$$

Введем обозначения

$$[A]_{mm} = [L]_{mm} [c]_{mm} \cdot \frac{1}{\Delta t^2} + \{ [L]_{mm} [g]_{mm} + \\ + [r]_{mm} [c]_{mm} \} \frac{1}{2\Delta t}$$

$$[B]_m = -[L]_{mm} [c]_{mm} \cdot \frac{1}{\Delta t^2} \{ [u]_{t-\Delta t} - 2[u]_t \} \\ + \{ [L]_{mm} [g]_{mm} + [r]_{mm} [c]_{mm} \} \frac{1}{2\Delta t} [u]_{t-\Delta t} + \\ + [r]_{mm} [g]_{mm} [u]_t,$$

опустив индексы  $t+\Delta t$ , получим

$$-\frac{d}{dx^2} [u]_m = -[A]_{mm} [u]_m + [B]_m \quad (7)$$

Заменив левую часть уравнения (7)

$$\frac{d^2}{dx^2} [u]_m \approx \frac{[u]_{x+h} - 2[u]_x + [u]_{x-h}}{h^2}$$

и обозначив  $u(n,h)$  через  $u_n$ ,

$$[A'_n]_{mm} = h^2 [A]_{mm},$$

$$[B'_n]_m = h^2 [B]_m$$

получим следующую систему приближенно заменяющую уравнение (7)

$$[u]_m = [M_{n,n+1}]_m - [N_{n,n+1}]_{mm} [u]_{n+1} \quad (8)$$

$$n=1,2 \dots k-1$$

Здесь

$$[N_{n,n+1}]_{mm} = \{ 2[1]_{mm} + [A'_n]_{mm} + [N_{n-1,n}]_{mm} \}^{-1},$$

$$[M_{n,n+1}]_{mm} = [N_{n,n+1}]_{mm} \{ [B'_n]_m + [M_{n-1,n}]_m \},$$

причем

$$[N_{0,1}]_{mm} = [0]_{mm},$$

$$[m_{0,1}]_m = [u_0]_m.$$

При известном напряжении  $[u_0]_m$  для начала линии в момент времени  $t+\Delta t$ , осуществив прямую прогонку, можно найти значение коэффициентов  $[N_{n,n+1}]_{mm}$  и  $[M_{n,n+1}]_m$  для этого же момента времени. Используя известное напряжение  $[u_b]_m$  для конца линии в момент  $t+\Delta t$ , осуществив обратную прогонку, можно найти напряжение во внутренних точках линии.

Величины  $[u_{t+\Delta t}]_m$  и  $[u_{t-\Delta t}]_m$  так же, как и в первом случае находятся решением уравнений (4). Токи ЛЭП, сходящихся в рассматриваемом узле, необходимые для отыскания вышеназванных величин, находятся решением уравнения.

$$[L']_{mm} \frac{d}{dt} [i]_m = -[u_{n+1}]_{mm} + [u_n]_m - [r']_{mm} [i_n]_m \quad (9)$$

$$n=0, \text{ или } n=k$$

Сравнительная оценка рассмотренных методов решения электромагнитных переходных процессов в сложной сети с распределенными параметрами будет дана в наших следующих сообщениях.

#### ЛИТЕРАТУРА

1 Долгинов А. И., Шатин В. С., Мотуско Ф. Я. Волновой метод расчета переходных процессов в электрических системах на цифровых вычислительных машинах. „Электричество”, № 4, 1964. 2. Кадомская К. П., Штеренберг Г. П. Исследование внутренних перенапряжений в электрических системах с применением ЭЦВМ. „Изв. АН СССР”, „Энергетика и транспорт”, 1963, № 6. 3. Varghely C. Cart. e.g. Digital travelingwaves solutions PAS, 1961, pp. 812–818. 4. Джуварлы Ч. М., Дмитриев Е. В. Исследование переходных электромагнитных процессов в сложной сети с использованием ЭЦВМ. „Изв. АН Азерб. ССР, серия физ.-матем. и техн. наук”, 1966, № 4.

Институт энергетики

Поступило 13. VII 1965

Ч. М. Чуварлы, І. В. Дмитриев

Мүрәккәб електрик шәбәкәсіндә электромагнит кечид просесләриндәki мәсәләләрин несабланма методу илә һәлли

#### ХУЛАСӘ

Мәгаләдә пајланмыш параметрли мүрәккәб електрик шәбәкәләрinden әлектромагнит кечид просесләринин һәллинде мұхтәлиф методлардан истифадә өдилмәсіндән бәсқа олунур. Физики фәрзийләрә әсасен бу методларла истифадә өдилән шәбәкәдә гојулан аваданлығларын кечид просесләрини әкс етдиရән сәрһед тәнликләри тәшкил олунур.

Ал. М. КУЛИЕВ, А. М. ТАБАТАБАИ, Г. З. АЛЕКПЕРОВ,  
М. М. ИБРАГИМОВ

## ОТБЕНЗИНИВАНИЕ ПРИРОДНОГО ГАЗА ПОД ДАВЛЕНИЕМ

(Представлено академиком АН Азербайджанской ССР М. Ф. Нагиевым)

Контрольными цифрами развития народного хозяйства СССР на 1959—1965 гг. предусматриваются высокие темпы развития газовой промышленности.

В 1965 г. предусматривается довести добычу газа с 30 млрд.  $m^3$  до 150 млрд.  $m^3$ , т. е. увеличить в 5 раз по сравнению с 1958.

В последующие годы в соответствии с перспективным планом развития народного хозяйства, намеченным XXII съездом КПСС, добыча газа будет непрерывно возрастать и составит в 1970 г. 310—325 млрд.  $m^3$ , а в 1980 г. 680—720 млрд.  $m^3$  год [1].

За последнее время большинство вводимых в эксплуатацию газовых месторождений являются газоконденсатными, содержащими наряду с большим количеством метана-этан, пропан, бутан и высшие углеводороды, которые являются ценным сырьем для химической промышленности. Содержание жидких углеводородов в газах различных газоконденсатных месторождений колеблется от 5—8  $g/m^3$  до 700—900  $g/m^3$ .

Увеличение добычи природного газа принципиально изменит топливный баланс страны, обеспечит химическую промышленность дешевым и доступным сырьем и улучшит экономические показатели развития народного хозяйства.

Кроме того, особое значение приобретают вопросы отбензинивания газа, т. е. его подготовка для транспортировки по магистральным газопроводам на дальние расстояния.

Рост добычи газа, особенно на газоконденсатных месторождениях, в первую очередь требует разработки новых высокоэффективных технологических процессов, отбензинивания газов.

В промышленности для отбензинивания газа широко применяется маслоабсорбционный метод и низкотемпературная сепарация.

Необходимо отметить, что эти процессы нельзя применять для отбензинивания всех газов. Указанные процессы, во-первых, рассчитаны для отбензинивания только жирных газов, т. е. газов с высоким содержанием бензина, а во-вторых, протекают при высоких давлениях. Как

известно процесс низкотемпературной сепарации применяется, на газоконденсатных месторождениях, где пластовое давление выше 100 атм.

Главным недостатком этих методов отбензинивания газоконденсатных месторождений является то, что за период строительства обычно падает пластовое давление, тем самым снижаются ресурсы ценных углеводородов и эффективность методов резко снижается.

Что же касается отбензинивания природного газа, в составе которого количество бензина незначительно, то применение маслоабсорбционных процессов, а также низкотемпературной сепарации неэкономично.

Для отбензинивания природного газа большую перспективу имеют адсорбционные методы, которые в отличие от абсорбционных позволяют проводить отбензинивание газа, содержащего незначительное количество бензина. Главным преимуществом этих процессов является то, что они протекают при низких давлениях, что процесс идет более эффективно.

За последние годы нами разработан новый адсорбционный процесс отбензинивания природного газа в кипящем слое адсорбента.

В настоящей статье излагаются результаты исследований по отбензиниванию природного газа, проведенных на непрерывно действующей установке под давлением 5 атм.

Опытная установка [1] состоит из адсорбционной и десорбционной секций, холодильника и системы нагрева. Газ—сырец, предназначенный для отбензинивания подается в низ адсорбера, где встречается со спускающимся углем и создает в нем кипящих слой.

В адсорбере в противоточном контакте угле с газом происходит адсорбция тяжелых углеводородов от  $C_2$  до  $C_5$ . Неадсорбированный газ, состоящий в основном из метана, поднимается в безударный сепаратор и выводится из системы. Насыщенный углеводородами уголь поступает в десорбер, где при температуре порядка 250—320°C происходит десорбция продуктов. Десорбированные углеводороды отводятся из середины десорбера. Уголь из десорбера попадает в холодильник, где охлаждается до  $t=40^\circ$ , а затем транспортируется в безударный сепаратор и далее циркулирует в системе.

Таблица 1

Состав газа, объемных %				
$C_1$	$C_2$	$C_3$	$C_4$	$C_{5+}$
91.7	3.9	2.4	1.7	0.3

На установку для отбензинивания подавался природный газ Карадагского газоконденсатного месторождения, состав которого приводится в табл. 1.

Отбензинивание проводили при следующем режиме работы установки: количество газа—25  $m^3/ч$ ; давление в системе—5 атм; количество циркулирующего угля—100  $kg/ч$ .

Количество газа, отводимого из середины десорбера—1,5—2,5  $m^3/ч$ . Температура низа десорбера—250—320°C.

На установке в качестве адсорбента применялся активированный уголь марки СКТМК зернением 0,5—1,5  $mm$ , скорость движения газа в адсорбере—0,1  $m/сек$ .

Некоторые результаты проведенных опытов по отбензиниванию природного газа приводятся в табл. 2.

Таблица 2

(Сырье—25 кг/м<sup>3</sup>/ч)

№ пп	Состав отходящего газа, объемных %					Извлечение, %	
	C <sub>1</sub>	C <sub>2</sub>	C <sub>3</sub>	C <sub>4</sub>	C <sub>5</sub>	C <sub>4</sub>	C <sub>5</sub>
1	95,5	3,2	0,8	0,5	—	79	100
2	96,4	2,6	0,4	0,6	—	66	100
3	97,0	2,3	0,5	0,2	—	89	100
4	97,4	1,4	0,7	0,5	—	79	100
5	97,6	1,7	0,4	0,3	—	83	100

Из данных таблицы следует, что отбензинивание природного газа происходит и при незначительном количестве угля, т. е. при отношении угля к газу равном 4,0 кг/м<sup>3</sup>.

Во всех опытах в составе отходящего газа отсутствует C<sub>5+</sub>, следовательно происходит 100%-ное извлечение бензина. Что же касается извлечения бутана, то как видно из опытов, в составе отходящего газа содержание его составляет от 0,2 до 0,6%, т. е. извлекается на 90% от потенциала.

Как следует из данных табл. 2 в указанных условиях полное извлечение бутана невозможно. Поэтому для полного извлечения бутана из сырья дальнейшие опыты по отбензиниванию газа проводились при увеличенном отношении угля к газу—6 кг/м<sup>3</sup>.

Некоторые результаты опытов по извлечению бутана и бензина из газа приводятся в табл. 3.

Таблица 3

Количество сырья—25 кг/м<sup>3</sup>/ч, отношение угля к газу—6 кг/м<sup>3</sup>.

№ пп	Состав отходящего газа, объемных %					Извлечение, %	
	C <sub>1</sub>	C <sub>2</sub>	C <sub>3</sub>	C <sub>4</sub>	C <sub>5</sub>	C <sub>4</sub>	C <sub>5</sub>
1	96,8	2,9	0,3	—	—	100	100
2	96,8	3,0	0,2	—	—	100	100
3	97,1	2,6	0,3	—	—	100	100
4	97,3	2,4	0,3	—	—	100	100
5	97,5	2,3	0,2	—	—	100	100
6	98,5	1,3	0,2	—	—	100	100

Как видно из результатов проведенных опытов при этих условиях становится возможным 100%-ное извлечение как бензина, так и бутана. В целях изучения процесса отбензинивания природного газа с большим содержанием бензина, чем в сырье, которое в данном случае поступало на установку, газ искусственно обогащался газовым бензином Карадагского месторождения с началом кипения 38°C и концом кипения 180°C.

Полученные данные приведены в табл. 4.

Как видно из данных табл. 4, в этих опытах количество бензина в газе увеличено до 45 г/м<sup>3</sup> против 11,5 г/м<sup>3</sup> в исходном сырье. Несмотря на увеличение количества бензина в газе в указанных условиях полностью адсорбируется бутан и бензин.

Таблица 4

Отбензинивание природного газа, искусственно обогащенного газовым бензином

№ пп	Отвод из десорбера, кг/м <sup>3</sup> /ч	Кол-во бензина, г/м <sup>3</sup>	Состав отходящего газа, объемных %					Извлечение, %	
			C <sub>1</sub>	C <sub>2</sub>	C <sub>3</sub>	C <sub>4</sub>	C <sub>5</sub>	C <sub>4</sub>	бензин
1	2,5	30	97,5	2,1	0,4	—	—	100	100
2	2,0	30	96,9	2,6	0,5	—	—	100	100
3	1,5	32	98,7	0,9	0,4	—	—	100	100
4	2,0	32	97,2	2,6	0,2	—	—	100	100
5	2,5	35	98,3	1,5	0,2	—	—	100	100
6	1,0	35	94,0	1,5	0,5	—	—	100	100
7	2,0	45	98,2	1,4	0,4	—	—	100	100

### Выводы

- На опытной установке проведено исследование процесса отбензинивания природного газа методом непрерывной адсорбции в „кипящем слое“ адсорбента под давлением 5 атм.
- Проведено полное отбензинивание природного газа, содержащего бензин до 25 г/м<sup>3</sup>.
- Определено минимальное отношение угля к газу—6 кг/м<sup>3</sup>, при котором полностью извлекаются бензин и бутан.

### ЛИТЕРАТУРА

1. Кулиев Ал. М., Табатабай А. М., Саркисова Л. Г. „Азерб. хим. ж.“, № 4, 1963.

ИНХП им. Ю. Г. Мамедалиева

Поступило 2. III 1964

Эл. М. Гулиев, А. М. Тэбатэбаи, Г. З. Элэкберов, М. М. Ибраимов

Тэбии газдан тээзүг алтында бензинин чыхарылмасы

### ХУЛАСЭ

Фасиләсиз ишләјэн тэчрүбә тургусунда адсорбентин „гајнар“ ла-  
жында беш атмосфер тээзүг алтында тэбии газдан бензин фраксијасы  
чыхарылышдыр.

Хаммал кими тәркиби C<sub>1</sub>=91,7; C<sub>2</sub>=3,9; C<sub>3</sub>=2,4; C<sub>4</sub>=1,7; C<sub>5</sub>=0,3  
олан Гарадаг тэбии газы көтүрүлмүшдүр. Адсорбердә температур 30  
—40°, десорбердә исә 250—320°C олмушдур. Адсорбент кими „СКТМК“  
маркалы активләшмиш көмүр көтүрүлмүшдүр.

Апарылан тәчрүбәләр көстәрмешидир ки, көмүрүн газа ашағы нис-  
бәтләрнинде белә, тэбии газдан бензинин фраксијасыны мүвәффәгийәт-  
лә, чыхармаг олур.

Белә ки, бүтүн тәчрүбәләрдә көмүрүн газа нисбәти 4 кг/км<sup>3</sup> олган-  
да бензин 100% тэбии газдан чыхарылышдыр. Бу шәрандә бензинлә-  
бирликдә бутанын да 100% чыхарылмасы учун көмүрүн газа олган  
нисбәтини 4 кг/км<sup>3</sup>-дән 6 кг/км<sup>3</sup>-ә гәдәр галдырмаг лазым кәлмишдир.  
Бу заман бензин вә бутанла бирликдә пропанын да хејли һиссәсини  
тэбии газдан аյырмаг олур.

ГЕОХИМИЯ

З. Э. БАБАЕВА

О МАЛЫХ И РЕДКИХ ЭЛЕМЕНТАХ В ГАЛЕНИТАХ И  
СФАЛЕРИТАХ ПОЛИМЕТАЛЛИЧЕСКИХ МЕСТОРОЖДЕНИЙ  
АЗЕРБАЙДЖАНА

(Представлено академиком АН Азербайджанской ССР М. А. Кашиевым)

Изучение малых и редких элементов полуколичественным спектральным методом позволяет охарактеризовать как полный состав минералов, так и установить их геохимическое поведение, т. е. выявление носителей редких элементов. При этом удается также выделить геохимические провинции.

Эти вопросы в отношении ряда свинцово-цинковых и полиметаллических месторождений СССР приведены в работах Т. В. Иваницкого и Н. Д. Гварамадзе, В. П. Дмитриева, Р. Л. Дунин-Барковского, Г. М. Мейтува, Г. Х. Эфендиева и др. [1-5].

Полуколичественными спектральными анализами нами изучались пробы чисто отобранных галенита и сфалерита из ряда месторождений и проявлений свинцово-цинковых и отчасти полиметаллических руд Азербайджана. Однородность проб проверялась под лупой.

Анализы произведены в следующих условиях: пробы в количестве около 20 мг набивались в кратере нижнего угольного электрода и сжигались в дуге переменного тока в течение 5 мин при силе тока 16А, на спектрофографе ИСП-28, фотопластиинки спектральные тип I, чувствительность 1 ед. ГОСТ.

В галенитах Мехманинского и Гюмушлугского месторождений обнаружены (в %) Sb и As—0,01–0,03; Ag—0,001–0,01 и Bi—0,001–0,003 (рис. 1),

Исключение составляет лишь повышенное содержание—до 0,1–0,3% сурьмы в некоторых образцах галенита Гюмушлугского месторождения, оно, вероятно, связано, с буланжеритом, присутствующим в руде. В этом месторождении различаются галениты крупно- и мелкозернистые по содержанию серебра—в первых 0,01–0,1%, а в мелкозернистых—0,1–0,3%. Стронций в количестве 0,01–0,3% частично связан с баритом, но главная его масса, вероятно, изоморфно подменяна к галениту.

В отличие от указанных в галенитах Ковурмадаринского рудопроявления обнаруживаются Bi и Cd 0,001–0,01%. Наряду с этими содержатся характерные для галенита примеси Ag, Sb и Sr.

Более широкий список элементов-примесей характерен для галенитов Агдаринского месторождения (в %): Sb, Ag, As, Mo—0,01–0,03; Ga, Au—0,001–0,003 и Sr—0,1–0,3.

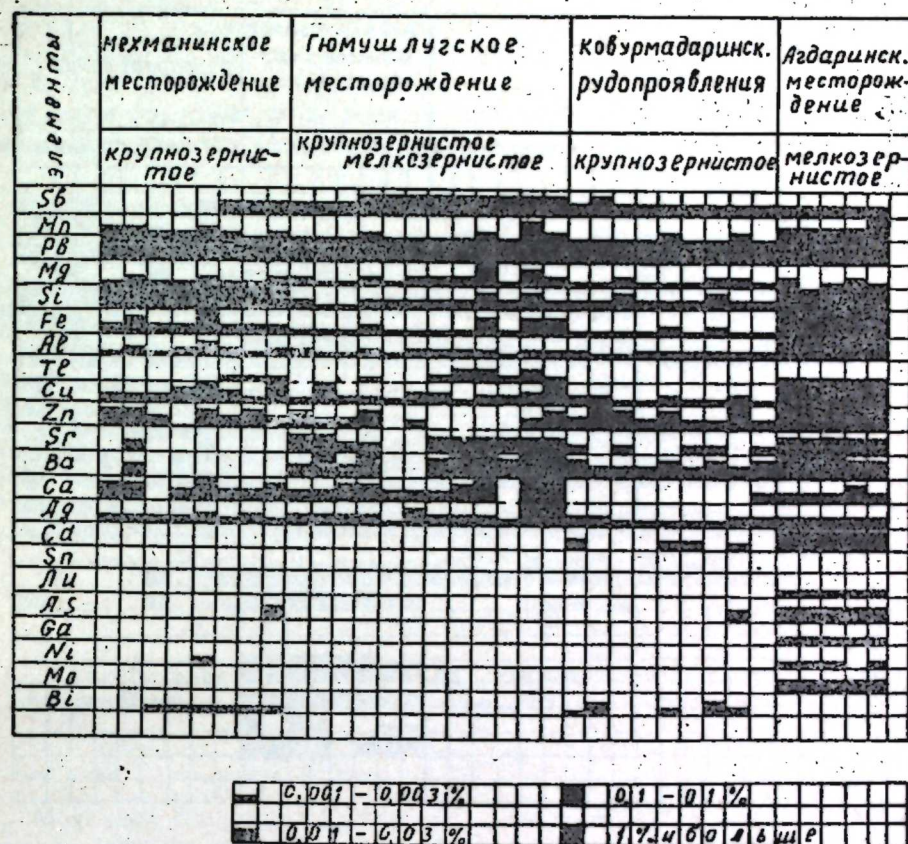


Рис. 1. Малые и редкие элементы в галенитах полиметаллических месторождений Азербайджана

Однако в мелкозернистых и плотных рудах галенита получение чистых мономинеральных фракций оказалось затрудненным. Поэтому часть указанных элементов связана с примесями других минералов в галените. Как, например, As—с блеклой рудой, Au—с самородным золотом.

Сфалериты более богаты элементами-примесями, состав и концентрация которых в зависимости от разновидностей их и типа месторождений колеблется в определенных пределах. В этой связи уместно указать, что сфалериты больше других минералов своим составом отражают особенности геохимических провинций и условия минералообразования. Сказанное иллюстрируется данными об элементах-примесях сфалеритов трех месторождений, формировавшихся в различных геохимических условиях (рис. 2).

Для сфалеритов Мехманинского жильного месторождения среди эффузивных пород характерны: Cd, In, Bi, Ag, Co, Sb, As. Из них Bi в количестве 0,001–0,003% обнаруживается только в серых и темно-серых разностях, а индия 0,001–0,01% и кобальта—0,001–0,01%; в серых сфалеритах кроме этих отмечаются Cr—0,001–0,003%; Ti—0,003% и Ni—0,001–0,003%.

Концентрация кадмия колеблется в пределах от 0,1–0,3%, причем

максимальное содержание его подобно светлоокрашенным разностям характерно и для темных сфалеритов.

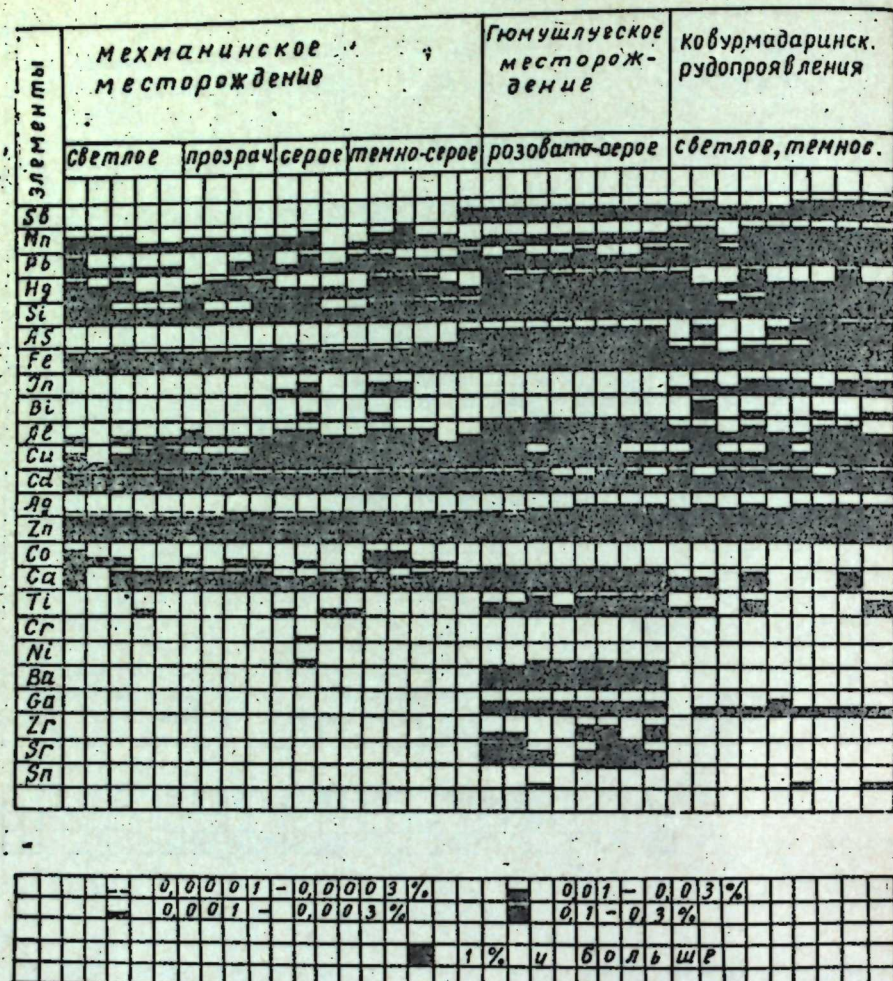


Рис. 2. Малые и редкие элементы в сфалеритах полиметаллических месторождений Азербайджана

Сфалериты Гюмушлугского месторождения, которые по геологическому расположению относятся к иной геохимической провинции, залегают среди карбонатных пород, несколько отличаются элементами-примесями—Sb и As 0,001–0,03%; Ag—0,001–0,01%; Sn—0,003%; Ni—0,001–0,003%; Cd—0,03–0,1% и Ga—0,01–0,03%.

Как видно, в отличие от Мехманинского месторождения, сфалериты рассматриваемого месторождения Ga больше, а кадмия меньше. В единичных образцах обнаружилось олово.

Такие же элементы-примеси и в тех же концентрациях определяются в сфалеритах Ковурмадаринского рудопроявления.

### Выводы

1. В галенитах Мехманинского и Гюмушлугского месторождений обнаружены Sb, As, Bi, Ag. Кроме них в галенитах Гюмушлугского месторождения установлена сурьма, указывающая на присутствие бу-

лажерита. В галените Ковурмадаринского рудопроявления установлены Bi, Cd, Ag, Sb. Мышиак в галените Агдаринского месторождения связан с блеклой рудой, а золото находится в самородном виде.

2. В Мехманинском месторождении повышенное содержание кадмия связано со светлыми и темными сфалеритами, тогда как повышенное количество индия находится лишь в темных сфалеритах.

В отличие от Мехманинского, сфалериты Гюмушлукского месторождения содержат повышенные количества Ga, а кадмия значительно меньше.

### ЛИТЕРАТУРА

1. Дмитриев В. П. Новые данные о полиметаллическом оруденении горного Алтая. "Разведка и охрана недр", № 9, 1958.
2. Дуини-Барковский Р. Л. Главные сульфидные минералы полиметаллического месторождения Лашкерек и распределение в них малых элементов. Бюлл. научно-исследов. работ Среди аз. НИ ин-та геол. и мин. сырья, вып. 1, 1958.
3. Иванецкий Т. В., Гварамадзе Н. Д. К вопросу содержания и распределения некоторых рассеянных элементов в главнейших сульфидах свинцово-цинковых и полиметаллических месторождений Грузии. "Геохимия", № 2, 1960.
4. Мейтуб Г. М. К геохимии редких элементов свинцово-цинковых месторождений Кличинского района (Восточное Забайкалье). "Геохимия", № 7, 1962.
5. Эфендиев Г. Х. Гидротермальный рудный комплекс северо-восточной части Малого Кавказа. Изд. АН Азерб. ССР, Баку, 1957.

Институт Неорганической и физической химии

Поступило 7. IV 1964

З. И. Бабаева

Азэрбајҹанын полиметаллик јатагларынын сфалерит вә галенитләrinин тәркибләri һагында

### ХУЛАСӘ

Мәгаләдә Меһмана, Күмүшлүк, Говурмадәрә вә Ағдәрә полиметаллик јатагларындан көтүрүлмүш мономинерал нүмүнәләрдә 44 ким-јәви элементтин мигдары мүәjjән едилмишdir.

Надир элементләрдән Sb, As, Ag өјрәнилмиш јатагларын һамысынын галенит вә сфалеритләри учун характеристикләр. Анчаг Күмүшлүк јатағынын галенитләrinдә стибиумун јүксәк мигдары (0,1–0,3%) буланжерит минералы илә әлагәдардыр.

Говурмадәрә полиметаллик тәзәһүр галенитләrinдә, әvvәлки јатаглардан фәргли олараг, кадмиум 0,001–0,01% элементи ашкар едилмишdir.

Меһмана јатағынын ачыг вә түнд рәнкли сфалеритләrinдә кадмиум, түнд сфалеритләrinдә исә индиум элементләри тапылышыр.

ГЕОХИМИЯ

З. М. МАМЕДОВ

**ГЕОХИМИЯ РЕНИЯ В МИНЕРАЛАХ МЕДНО-МОЛИБДЕНОВОГО  
МЕСТОРОЖДЕНИЯ ПАРАГАЧАЯ**

(Представлено академиком АН Азербайджанской ССР А. Д. Султановым)

Рений относится к числу тех редких элементов, которые не образуют собственных месторождений, он в промышленном масштабе концентрируется в месторождениях медно-молибденовых руд и медистых песчаников. При этом особенно важное значение имеют медно-молибденовые месторождения. Главная масса рения в них эндокриптически входит в молибдениты и частично в другие сульфидные минералы. Этому способствует близость ряда геохимических и кристаллохимических свойствования к молибдену (ярко выраженная халькофильность, близость ионных радиусов, по Аренсу  $Re^{+4}=0,72\text{\AA}$ ,  $Mo^{+4}=0,70\text{\AA}$  и однотипность кристаллической решетки дисульфидов).

По имеющимся в литературе [3, 10] сведениям, основанным на единичных определениях, молибдениты Парагачайского месторождения содержат рений в повышенных количествах, равных (по Н. А. Хрущеву и др.) в среднем 0,044% [10].

В геологическом строении месторождения принимают участие интрузивные, жильные и kontaktово-метасоматические образования. Генетически медно-молибденовое оруденение связано с более молодой граносиенитовой фазой Мегри-Ордубадского полифазного интрузива [1, 2]. Промышленное оруденение приурочено к кварцевым жилам.

Основными рудными минералами месторождения являются халькопирит, молибденит, пирит. Кроме того, в качестве второстепенных составных частей, а также примесей в рудах присутствуют многие минералы [5, 7].

Нашиими данными на месторождении устанавливается шесть последовательных стадий минерализации — кварц-магнетитовая, кварциротовая, кварц-молибденитовая, кварц-молибденит-халькопиритовая, халькопиритовая и карбонатная.

В первую — кварц-магнетитовую стадию выделялись кварц с незначительным количеством серицита, магнетита, рутила, ильменита, титаномагнетита и редко пирита.

В кварц-пиритовую стадию из рудных минералов формировались пирит с незначительным количеством магнетита, ильменита, рутила, пирротина и арсенопирита. В составе его руд наблюдаются также очень мелкие выделения молибденита и халькопирита.

В кварц-молибденитовую стадию выделялись молибдениты (в основном чешуйчатые), в меньшей степени халькопириты, пириты и редкие примеси других второстепенных минералов.

Кварц-молибденит-халькопиритовая стадия отличается большим разнообразием минералогического состава руд и она совместно с третьей, кварц-молибденитовой стадией, определяет основную промышленную ценность месторождения. В процессе ее формирования, как показывают исследования, отлагались главные массивы молибденита и халькопирита. Кроме последних, в эту стадию выделялись пирит, сфалерит, галенит, блеклая руда и основная часть минералов — примесей.

Халькопиритовая стадия отвечает образованию на месторождении прожилковых и вкрапленных халькопиритовых руд, которая особенно хорошо наблюдается в северо-западных флангах кварцево-рудных жил. Детальное минералогическое исследование показало, что кроме халькопирита, в составе его руд имеются примеси пирита, сфалерита, галенита, борнита и молибденита.

Процесс формирования месторождения завершается образованием многочисленных карбонатных прожилков, пересекающих рудные жилы в различных направлениях.

Рений в молибденитах и сопутствующих ему минералах был определен родонидным методом, основанным на экстракционном выделении его Н-бутиловым спиртом из солянокислых растворов и реэкстрагировании в водную фазу четыреххлористым углеродом. Данной методикой можно определить количество рения с высокой точностью ( $\pm 5\%$ ) при содержании его в порядке  $3-5,10^{-6}\%$  [6].

Изучение поведения рения по отдельным стадиям минерализации позволяет наметить некоторые геохимические закономерности в его распределении.

В таблице приводится среднее содержание рения по отдельным стадиям минерализаций, а также в отдельных рудных минералах в порядке последовательности их выделения.

Стадия минерализации	Минералы	Содержание рения, г/т			
		от	до	среднее	Среднее по стадиям
Кварц-пиритовая	Пирит	0,2	4,2	2,2	2,2
	Пирит	0,7	—	—	—
Кварц-молибденит-халькопиритовая	Молибденит	365	882	586	564
	Пирит	6,6	1,6	3,1	—
Халькопиритовая	Молибденит	187	577	423	362
	Халькопирит	0,5	1,5	1,0	—
	Халькопирит	0,5	6,0	3,3	—
	Сфалерит	Не обн.	—	—	3,3
	Галенит	—	—	—	—

Как видно из таблицы, рений в пиритах кварц-пиритовой стадии присутствует в незначительном количестве, где его содержание колеблется от 0,2 до 4,2 г/т и в среднем составляет 2,2 г/т. Однако как подтверждают результаты химических анализов, рений, содержащийся в пиритах, главным образом связан с примесью в них молибдена, т. к. с увеличением содержания примеси молибдена содержание рения в последних увеличивается.

В кварц-молибденитовой стадии содержание рения в пиритах составляет 0,7 г/т. Тогда как молибдениты характеризуются довольно высоким содержанием рения, составляя в среднем 586 г/т, что равно-

максимуму для руд месторождения. При этом интервал колебаний составляет от 365 до 882 г/т.

В кварц-молибденит-халькопиритовой стадии минерализации по сравнению с кварц-молибденитовой, содержание рения в молибденитах немного уменьшается, а в пиритах, наоборот, на порядок увеличивается, что объясняется нечистым отбором мономинеральных проб. Как видно из таблицы, молибдениты данной стадии в среднем содержат 423 г/т рения при колебании от 187 г/т до 577 г/т. Незначительное количество рения (0,5—1,52 г/т) было установлено также в халькопиритах.

В халькопиритовой стадии рений установлен только в халькопирите в количестве от 0,5 до 6 г/т. Наличие рения в сфалерите и в галените в пределе чувствительности метода анализа не установлено.

Таким образом, низкое содержание рения среди исследованных стадий обнаруживается в начальной и последней стадиях минерализации, а самое высокое — в средних — кварц-молибденитовой и кварц-молибденит-халькопиритовой стадиях минерализации.

Изучение распределения рения по глубине месторождения показало, что в целом в месторождении содержание рения в молибденитах с глубиной увеличивается. При этом самое низкое содержание рения было установлено в молибденитах из самых верхних горизонтов месторождения.

Анализ полученных данных позволяет наметить также закономерность в распределении рения в молибденитах по простирации рудных жил. Последнее особенно хорошо наблюдается по жиле Главная, где по простиранию с северо-запада на юго-восток содержание рения в молибденитах значительно возрастает. Видимо, наблюданная закономерность в жилах обусловлена характером распространения рудных минералов по простирации. Ибо в северо-западных флангах последним рудным минералом является халькопирит, который по направлению к ЮВ уступает место молибдениту.

## Выводы

1. Руды исследованного месторождения характеризуются повышенным содержанием рения, основным носителем которого являются молибдениты. В последних содержание рения колеблется в очень широком интервале — от 187 до 882 г/т. Остальные исследованные минералы не представляют значительного интереса в отношении высокого содержания рения.

2. Установлено, что основная масса рения была концентрирована в средних, т. е. в кварц-молибденитовой и кварц-молибденит-халькопиритовой стадиях.

3. В целом в месторождении содержание рения с глубиной и по простирации отдельных рудных жил увеличивается.

## ЛИТЕРАТУРА

1. Абдуллаев Р. Н. и др. Металлогенез Азербайджана. Баку, 1962.
2. Азизбеков Ш. А. Геология Нахичеванской АССР. М., 1961.
3. Баситова С. М. Распределение рения в молибденитах. Сб. Рений. М., 1961.
4. Магакьян И. Г., Пиджян Г. О., Фарамазян А. С. Рений в медно-молибденовых месторождениях Армянской ССР. ДАН Арм. ССР, 1963, т. XXXVII, № 2.
5. Мамедов З. М., Эфендиев Г. Х. О новых минералах Парагачайского месторождения. ДАН Азерб. ССР, 1963, № 10.
6. Мубайджиан М. А., Наджарян С. Н., Саркисян Н. М. Новый метод роданидного определения рения после его экстракционно-реэкстракционного выделения и-бутанолом. Сб. научных трудов. НИГМИ, вып. 11, Ереван, 1961.
7. Твалчелидзе Г. А. Парагачайское медно-молибденовое место-

рождение. „Сов. геол.“, № 29, 1948.

8. Фарамазян А. С. Закономерности распределения рения в рудах Каджаранского месторождения. „Изв. АН Арм. ССР“, т. XIV, № 1, 1961.

9. Фарамазян А. С., Акопян А. Т. Рений в некоторых молибденовых рудопроявлениях Айоцзорского рудного района. „Изв. АН Арм. ССР“, т. XVI, № 3, 1963.

10. Хушев Н. А. и др. Распределение рения, селена и теллура в молибденовых месторождениях Советского Союза. „Минеральное сырье“, вып. 1, 1960.

Институт геологии

Поступило 29. VIII 1964

З. М. Мэммэдов

## Парафачай мис-молибден жатағы минералларында рениумун кеокимјасы

### ХУЛАСЭ

Рениум надир бир элемент кими өз сәрбаст жатагларыны эмэлэ кэтирмәјэрәк, сәнаје мигјасында мис-молибден вә мисли гумдашылары филизләриндә топланыр. Бу чәһәтдән мис-молибден филизи жатағы даһа чох әһәмијәтә маликдир.

Жатагда ашағыдақы алты ардычыл минерал эмәләкәтирмә мәрһәләләри айрылып:

1. Кварс—магнетит—рутит;
2. Кварс—пирит;
3. Кварс—молибденит;
4. Кварс—молибденит—халкопирит;
5. Халкопирит;
6. Карбонат.

Мүэjjән олунмуштур ки, жатагда рениумун әсас дашијычысы молибденитdir (187—882 г/т). Галан сульфид минералларында (пирит, халкопирит) онун мигдары чох аздыр, сфалерит вә галенитдә исә та-мамилә иштирак етмир. Елә бу сәбәбдән дә жатагда рениумун әсас күтләси кварс молибденит вә кварс-молибденит-халкопирит минераллашма мәрһәләләрindә топланышыр.

Жатағын молибденитләrinдә айры-айры филиз дамарларынын дәринлик вә узанма истигамәтләри үзәр рениумун мигдарынын ганунаујун олараг артмасы мүшаһидә едилir.

РАЗРАБОТКА НЕФТЕНАХ  
И ГАЗОВЫХ МЕСТОРОЖДЕНИЙ

К. Н. ДЖАЛИЛОВ

О СТЯГИВАНИИ КОНТУРА НЕФТЕНОСНОСТИ  
И ОБВОДНЕНИИ СКВАЖИН КРУГОВЫХ БАТАРЕЙ

(Представлено академиком АН Азербайджанской ССР С. М. Кулевым)

Вопросы перемещения контура нефтеносности и обводнения скважин прямолинейных батарей исследовались в зависимости от формы начального контура нефтеносности, расположения эксплуатационных и нагнетательных скважин и их взаимодействия, неоднородности пласта, разнодебитности скважин, непроницаемой границы и т. д. [1 и др.]. Эти же вопросы для  $n$ -прямолинейных батарей в приближенной весьма приемлемой постановке рассмотрены в [1].

Все эти исследования проводились для одножидкостной системы, в результате были получены сравнительно простые расчетные формулы. Отметим, что даже в случае работы одной круговой батареи эксплуатационных скважин динамика обводнения их устанавливается путем численного интегрирования полученного выражения [2, 3, 4]. Поэтому большой интерес представляет получение выражений для процессов стягивания контура нефтеносности и обводнения скважин круговых батарей. Для этой цели при помощи следующих преобразований круговая область (см. рис. 1) конформно отображается на полосу шириной  $2\pi$  плоскости  $\zeta = \xi + i\eta$  (см. рис. 2):

$$\xi = \ln \frac{r}{R_1}, \quad \eta = 0; \quad (1)$$

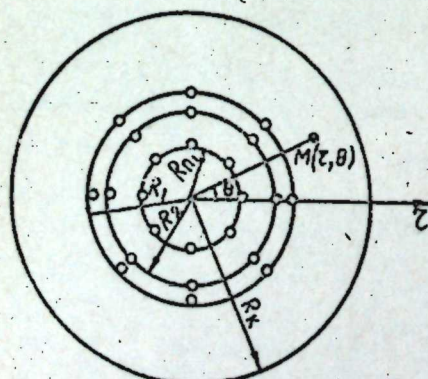


Рис. 1

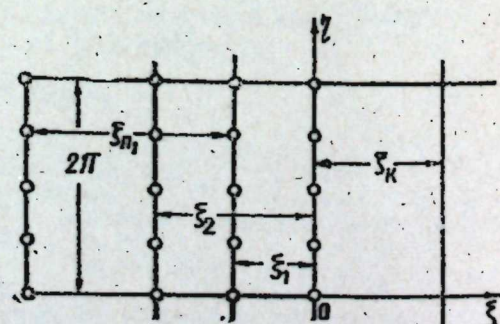


Рис. 2

$r, 0$  — текущие координаты точки в круговой области. Начало системы координат помещено в центре круга.

При помощи преобразования (1) центр круга переходит на отрезок  $\xi = -\infty$  и  $\eta = 0 \div 2\pi$ , а контур питания на  $\xi_k$  и  $\eta = 0 \div 2\pi$ . (1) является частным случаем использованного преобразования в работе [5].

Преобразование (1) позволяет большинство полученных результатов для прямолинейных батарей легко перенести на круговые случаи. Рассмотрим следующий случай.

Предположим, что при наличии контура питания в пласте работает  $n_1$  круговых батарей скважин (см. рис. 1). Используя (1) для полуполосы напишем характеристическую функцию [5]:

$$F = \frac{q}{2\pi} \left[ \ln \frac{\operatorname{sh} \frac{n}{2} \zeta}{\operatorname{sh} \frac{n}{2} (\zeta - 2\xi_k)} + \sum_{j=1}^{n_1-1} \ln \frac{\operatorname{sh} \frac{n}{2} (\zeta + \xi_j)}{\operatorname{sh} \frac{n}{2} (\zeta - 2\xi_k + \xi_j)} \right] + C_1, \quad (2)$$

где  $n$  — количество скважин в батареях,

$$\xi_k = \ln \frac{R_k}{R_1}, \quad \xi_j = \ln \frac{R_{j+1}}{R_1}$$

$R_j$  — радиус  $j$ -ой круговой батареи,  $R_k$  — радиус контура питания. Скважины расположены в точках по рядам

$$\xi = \ln \frac{R_j}{R_1} + i \frac{2\pi}{n} N \quad (1 \leq N \leq n)$$

Согласно [1], с учетом соблюдения условия  $2\xi_0 \gg \xi_j$  (2) приводим к виду:

$$F(\zeta) = -\frac{q}{2\pi} \left[ \operatorname{Insh} \frac{h}{2} \zeta + v_0 \zeta \right] + C_1, \quad (3)$$

где

$$v_0 = n_1 n + \frac{n}{2}$$

Из (3) потенциальная функция и уравнения линий тока примут вид:

$$\varphi(\xi, \eta) = -\frac{q}{4\pi} [\operatorname{In}(\operatorname{ch} \xi - \cos \eta) + A \xi] + \varphi_0, \quad (4)$$

$$\operatorname{arctg} \left( \operatorname{cth} \frac{n\xi}{2} \operatorname{tg} \frac{n\eta}{2} \right) + \frac{An}{2} \eta = C, \quad (5)$$

где  $A = \frac{2v_0}{n}$ ,  $C = \alpha$  ( $\alpha$  — угол обводнения).

Вводим обозначения

$$\operatorname{tg} \theta_1 = \operatorname{cth} \frac{n\xi}{2} \operatorname{tg} \frac{n\eta}{2}, \quad \theta_2 = \frac{n\eta}{2} \quad (6)$$

Тогда из (5):

$$\theta_1 + A\theta_2 = C \quad (7)$$

ГЕОФИЗИКА

Т. А. ИСМАИЛ-ЗАДЕ

МАГНИТНЫЕ СВОЙСТВА ПОРОД ПРОДУКТИВНОЙ ТОЛЩИ  
БАБАЗАНАНА И ИХ ПАЛЕОМAGНИТНАЯ КОРРЕЛЯЦИЯ

(Представлено академиком АН Азербайджанской ССР А. Д. Султановым)

Вопросы расчленения и стратиграфической корреляции продуктивной толщи Нижне-Куринской депрессии, в частности Бабазанана, и сопоставление с продуктивной толщей Апшерона имеют особую практическую значимость.

Однако решение этой важной задачи при расчленении немой продуктивной толщи крайне затруднено из-за отсутствия коррелятивных, позволяющих сопоставлять отдаленные разрезы продуктивной толщи. Поэтому нами была предпринята попытка произвести корреляцию немой продуктивной толщи палеомагнитным методом, основанным на определении величины и направления вектора остаточной намагниченности осадочных пород.

Для этого были отобраны ориентированные образцы и распилены кубики с ребром в 24 мм из разрезов продуктивной толщи и аччагыла Бабазанана (мощность 692 м). Всего было исследовано 162 ориентированных кубика (породы).

Измерения величины и направления вектора естественной остаточной намагниченности  $J_n$  и магнитной восприимчивости  $\chi$  производились на магнитометре Долгинова и рок-генераторе конструкции В. И. Дианова-Клокова [1] и представлены на рис. 1.

Обработка результатов палеомагнитных исследований позволила в разрезе Бабазанана выделить четыре палеомагнитные зоны, из которых одна палеомагнитная зона обратной намагниченности находится на аччагыле и три палеомагнитные зоны — на продуктивную толщу.

Палеомагнитная зона обратной намагниченности, соответствующая аччагылу, охватывает разрез в 74,7 м и представлена глинями серого и серо-бурового цвета с голубовато-зеленоватым оттенком. По значениям магнитной восприимчивости и естественной остаточной намагниченности эта толща резко отличается от продуктивной толщи. В этой зоне магнитная восприимчивость пород  $\chi$  изменяется от  $13,9 \cdot 10^{-6}$  CGSM до  $21 \cdot 10^{-6}$  CGSM при среднем значении  $\chi$ , равном  $17,6 \cdot 10^{-6}$  CGSM. Естественная остаточная намагниченность  $J_n$  пород этой зоны изменяется от  $0,3 \cdot 10^{-6}$  CGSM до  $2,3 \cdot 10^{-6}$  CGSM при среднем значении  $1,2 \cdot 10^{-6}$  CGSM.

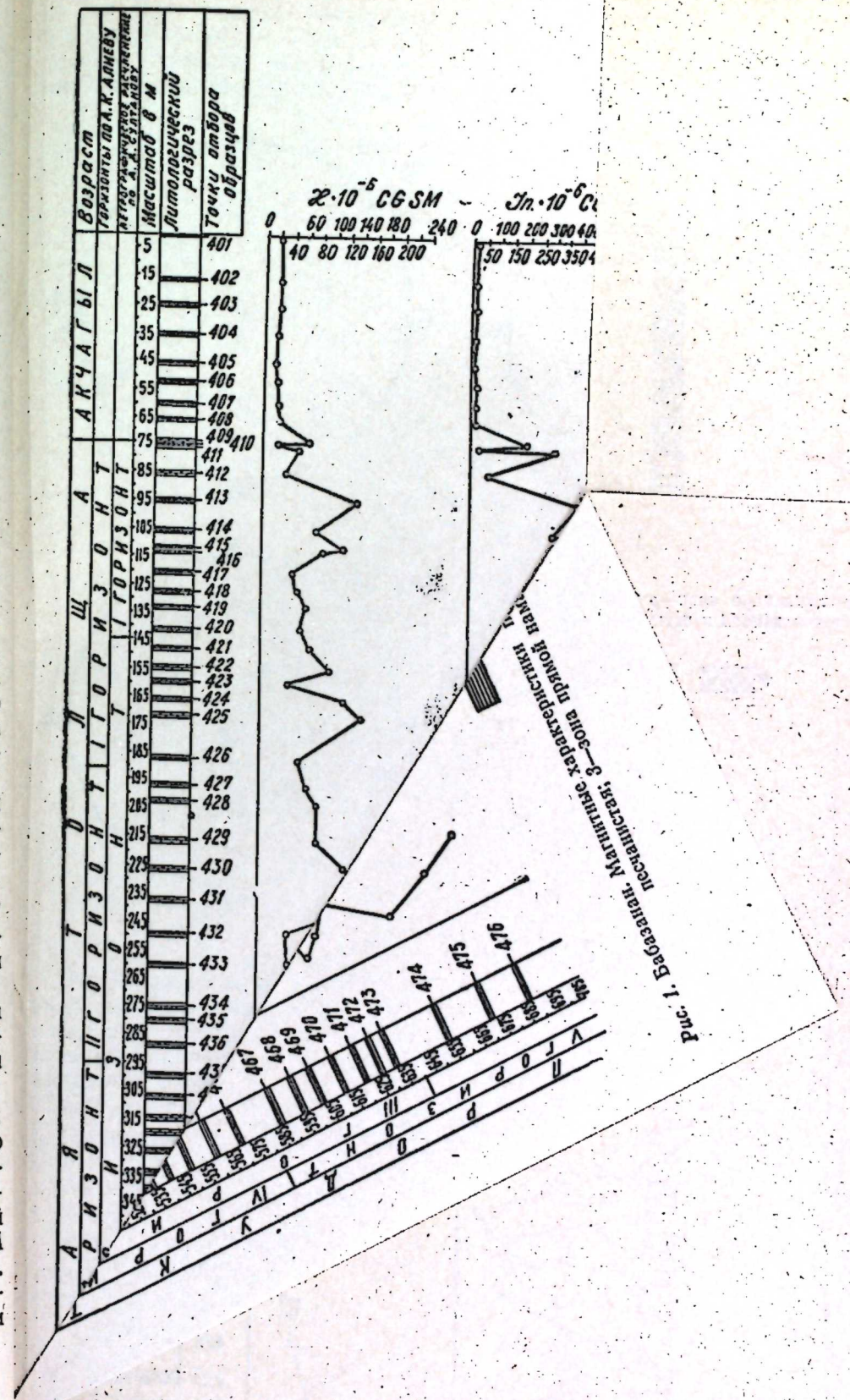


Рис. 1. Бабазанай. Магнитные, палеомагнитные

Распределение направлений вектора  $\vec{J}_n$  в акчагыле представлено на рис. 2 а. Разброс направлений вектора  $\vec{J}_n$  на стереограмме связан, по-видимому, с погрешностью измерения на рок-генераторе, поскольку, измеря образцы при максимальной чувствительности, мы получаем малые отбросы на шкале прибора.

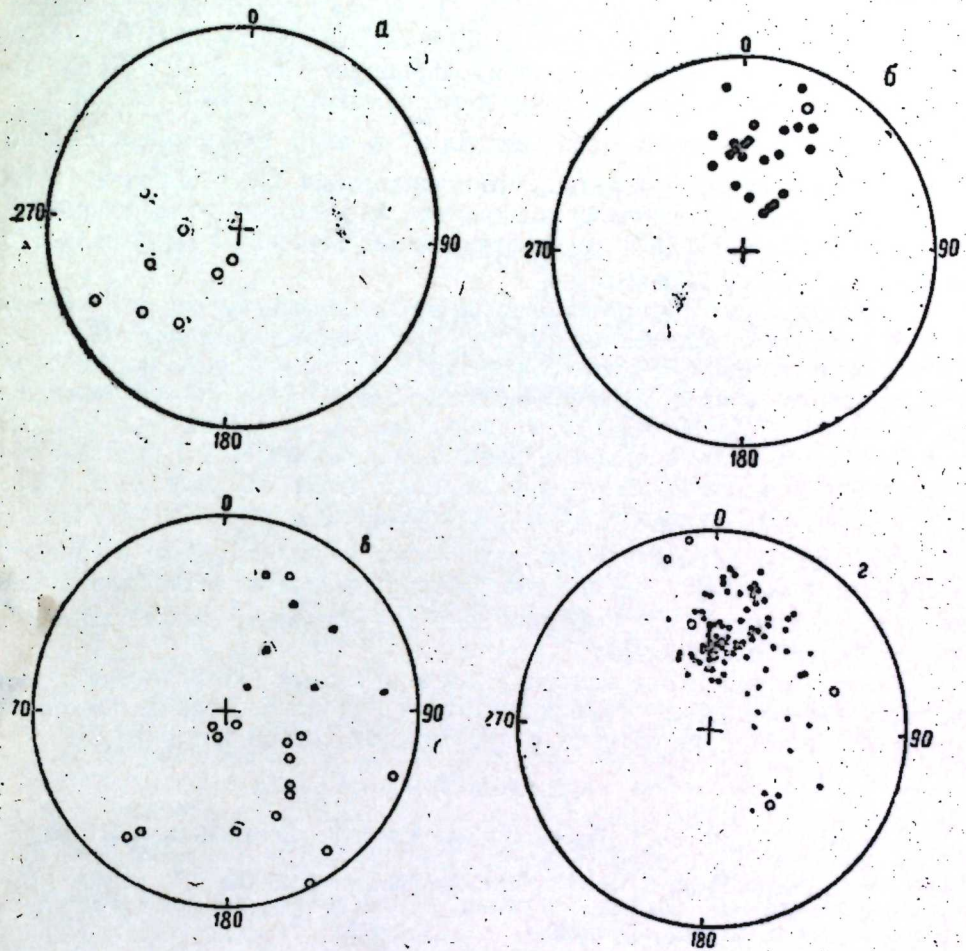


Рис. 2

На контакте акчагыла с продуктивной толщёй происходит резкая инверсия магнитного поля Земли. Первая зона прямой намагниченности продуктивной толщи охватывает разрез в 68 м и представлена глинами коричневато-серого и шоколадного цветов. Магнитная восприимчивость образцов этой зоны варьирует от  $19,4 \cdot 10^{-6}$  до  $133,7 \cdot 10^{-6}$  CGSM при среднем значении  $\chi = 65,4 \cdot 10^{-6}$  CGSM, а значения вектора  $\vec{J}_n$  изменяются от  $3,3 \cdot 10^{-6}$  до  $286,3 \cdot 10^{-6}$  CGSM со средним значением  $70,2 \cdot 10^{-6}$  CGSM.

Резкое возрастание  $\chi$  и  $J_n$  по сравнению с акчагылом связано с увеличением концентрации ферромагнетиков в составе пород.

Эта зона прямой намагниченности представлена на рис. 2 б, из которого видно, что значения  $\vec{J}_n$  кучно ложатся в верхней части полусфера.

Палеомагнитные данные первой зоны прямой намагниченности Бабазанана хорошо увязываются с аналогичной зоной Аташки [2].

Значения разрушающего поля  $H_c$  и фактора  $Q$  для пород этой зоны указывают на их относительную стабильность.

Первая зона прямой намагниченности совпадает с первым горизонтом, полученным по петрографическим данным А. Д. Султанова (3).

Далее по разрезу следует вторая палеомагнитная зона обратной намагниченности мощностью в 97 м, представленная глинами коричневато-серого и шоколадного цветов. Значения магнитной восприимчивости  $\chi$  для этой зоны изменяются от  $38,4 \cdot 10^{-6}$  CGSM до  $182 \cdot 10^{-6}$  CGSM при среднем  $-102 \cdot 10^{-6}$  CGSM, а  $J_n$  варьирует от  $3,9 \cdot 10^{-6}$  CGSM до  $142,6 \cdot 10^{-6}$  CGSM со средним значением, равным  $45,4 \cdot 10^{-6}$  CGSM.

Распределение направлений вектора  $J_n$  в этой зоне представлено на рис. 2 в, из которого видно, что направления  $J_n$  разбросаны по второму и частично третьему квадрантам, что связано с метастабильностью образцов. На это указывают малые значения разрушающего поля  $H_c$  (6–15 э) и фактора  $Q$ .

Следующая зона прямой намагниченности охватывает разрез в 452 м и представлена чередованием глин и песчаников коричневато-бурых и коричневато-серых цветов. Магнитная восприимчивость пород этой зоны изменяется от  $37,7 \cdot 10^{-6}$  CGSM до  $243 \cdot 10^{-6}$  CGSM со средним значением  $\chi - 76,2 \cdot 10^{-6}$  CGSM, а значения  $J_n$  от  $1,3 \cdot 10^{-6}$  CGSM до  $238 \cdot 10^{-6}$  CGSM при среднем значении  $J_n$ , равном  $85,5 \cdot 10^{-6}$  CGSM.

III зона прямой намагниченности охватывает полностью III горизонт и часть II горизонта (по А. Д. Султанову).

Направления вектора  $J_n$  для этой зоны кучно ложатся в первом квадранте (рис. 2 г). Небольшой разброс связан с нестабильностью образцов,  $H_c$  которых составляет 3–5 э. Основная масса образцов метастабильна и стабильна.

Таким образом, в результате палеомагнитных исследований нам удалось впервые расчленить продуктивную толщу Бабазана на палеомагнитные зоны и увязать их с сурханской свитой Аташка (2).

#### ЛИТЕРАТУРА

1. Дианов-Клоков. Измеритель малой остаточной намагниченности горных пород. Изв. АН СССР, серия геофизич., 1960, № 1.
2. Исмайлзаде Т. А. Магнитная характеристика палеомагнитных зон продуктивной толщи Аташка. ДАН Азерб. ССР, 1965.
3. Султанов А. Д. Литология продуктивной толщи Азербайджана. Изд. АН Азерб. ССР, 1949.

Институт геологии

Поступило 15. IV 1964.

Т. Э. Исмайлзаде

#### Базазанан мәңсүлдәр гатынын магнитлик хассеси вә онун палеомагнит коррелјасијасы

#### ХУЛАСӘ

Ашагы Күр депрессијасынын вә хүсусән Базазананын мәңсүлдәр гатыны стратиграфик коррелјасијасы вә буин Абшерон мәңсүлдәр гаты илә мұғајисәси мәсәләси бөյүк тәчрүби әһәмијәтә маликдир. Һалбуки мәңсүлдәр гатын мұғајисәсіндә коррелјативләрин олмамасы бир-биринден аралы олан кәсилишләрин тутушдурулмасында чәтиңлик төрәдир.

Буна көрә дә биз коррелјасија иши апармаг мәгсәдилә палеомагнит үсуулдан истифадә едәрәк, Базазанан кәсилишинде 4 палеомагнит зона айырдыг. Бу палеомагнит зоналардан бири әкс истигамәтдә магнитләшәрәк акчагыла, 3 палеомагнит зона исә мәңсүлдәр гатаид едилир (1-чи шәкил).

Базазанан мәңсүлдәр гатынын палеомагнит зонасы Атәшканын Сурханы лај дәстәсінә уйғун кәлир (2-чи шәкил).

Э. И. ЗЕЙНАЛОВА

#### ГЕОЛОГИЧЕСКИЕ ПРЕДПОСЫЛКИ ПОИСКОВ ГАЗОВЫХ ЗАЛЕЖЕЙ В ОЛИГОЦЕН-МИОЦЕНОВЫХ ОТЛОЖЕНИЯХ ЗАПАДНОГО БОРТА ДЖЕЙРАНКЕЧМЕССКОЙ ДЕПРЕССИИ

(Представлено академиком АН Азербайджанской ССР М. В. Абрамовичем)

Олигоцен-миоценовые отложения имеют широкое площадное распространение в Кызылстане. В разрез комплекса входит ряд сингенетично-нефтегазоносных свит: майкопская свита, чокракский горизонт и сарматский ярус, которые заслуживают внимания для поисков новых нефтегазовых залежей в пределах западного борта Джейранкечмесской депрессии.

На территории этой депрессии отложениями плиоценового комплекса сложен ряд брахиантклинальных поднятий различного простирания от меридионального до широтного, удаленных друг от друга широкими и пологими синклинальными прогибами.

Есть основания считать, что в Джейранкечмесской депрессии все стратиграфические единицы (за исключением меотиса) олигоцен-миоценового комплекса выражены в песчано-глинистой литофауне [3, 4, 7].

Анализ всех материалов по литолого-фаунистической характеристике олигоцен-миоценовых отложений и палеогеографические построения (рис. 1) показывают, что с севера на юг и с запада на восток постепенно увеличивается общая мощность отдельных стратиграфических единиц—главным образом за счет увеличения количества и мощности прослоев песчаных и алевритовых пород-коллекторов.

О распространении песчано-глинистой литосфации в пределах Джейранкечмесской депрессии свидетельствует наличие среди сопочной брекции грязевых вулканов Малый Кянизадаг, Большой Кянизадаг, Тоурачай, Чухуроглыбозы, Отманбоздаг и других, пропитанных нефтью кварцевых песков и песчаников олигоцен-миоценового возраста [6, 7]. Основным породообразующим минералом в легкой фракции этих песков и песчаников является кварц (от 45% до 94,0, в среднем 74,9%).

Минерало-петрографические и микрофаунистические исследования вышеуказанных песчаных пород позволяют считать, что корки этих грязевых вулканов в основном связаны с мощными нефтегазоносными толщами олигоцен-миоценового комплекса. Исследователи ЮВ Кавказа указали на несомненную связь грязевых вулканов с тектоникой

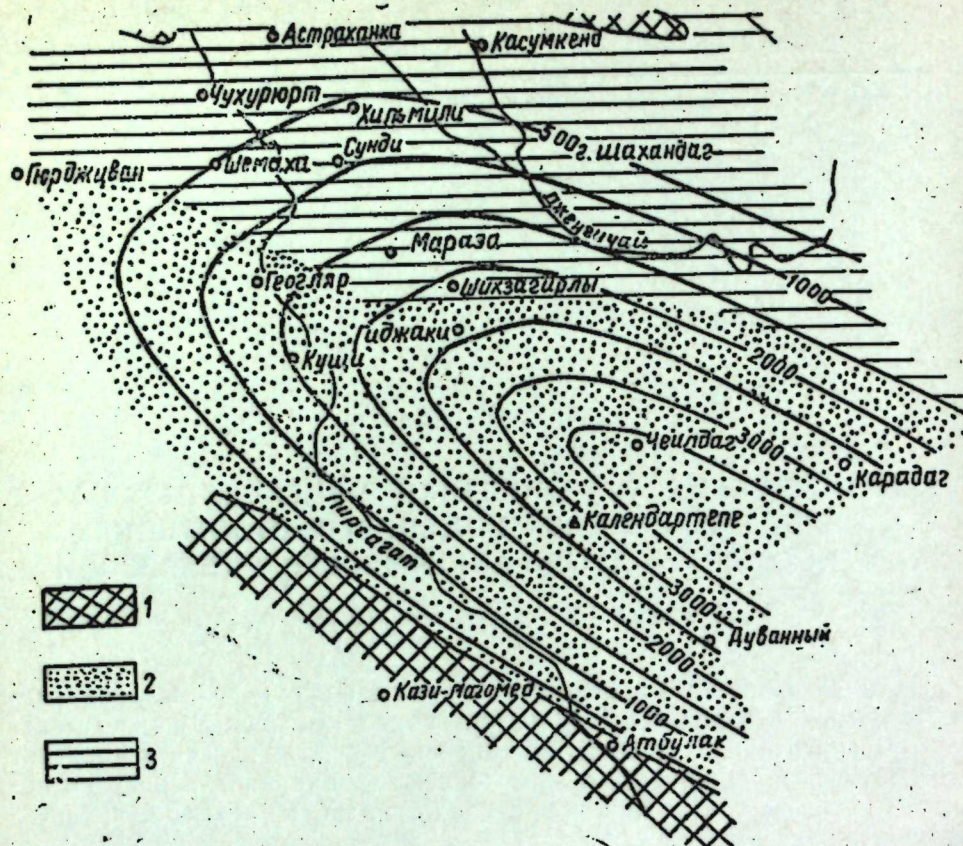


Рис. 1. Карта литофаций и мощности олигоцен-миоценового комплекса кобыстанской области:

1—области размыва; 2—песчаная литофафия; 3—глинистая литофафия.

области, на закономерное расположение вулканов по простиранию определенных дислокационных линий.

Следует подчеркнуть, что грязевые вулканы Южного Кобыстана тесно связаны с нефтегазоносностью олигоцен-миоценовых отложений и с тектоническими особенностями области.

Наши суждения о нефтегазоносности олигоцен-миоценовых отложений западного борта Джейранкечмесской депрессии основываются на обобщении данных геолого-съемочных, геофизических, поисково-разведочных работ, проведенных в соседней зоне—юго-западном Кобыстане.

Как известно, в юго-западном Кобыстане отчетливо выделяются три широтные олигоцен-миоценовые антиклинальные зоны: Гиджаки-Сулейманская, Сунди-Чеилдагская, Гирда-Гюнгермес-Умбакинская и Арзани-Клычская. Восточные окончания этих зон, непосредственно примыкающие к западной бортовой части Джейранкечмесской депрессии, характеризуются максимальным развитием мощных олигоцен-миоценовых отложений, собранных в довольно крупные брахиантектические складки.

Для выяснения характера и интенсивности погружения олигоцен-миоценовых антиклинальных зон в сторону Джейранкечмесской депрессии нами совместно с С. Г. Салаевым была составлена структурная карта по кровле майкопской свиты для отдельных антиклинальных зон

юго-западного Кобыстана. Как видно из этой карты, для олигоцен-миоценовых антиклинальных зон юго-западного Кобыстана намечается их погружение в сторону Джейранкечмесской депрессии.

Вдоль присводовой части Гиджаки-Сулейманской антиклинальной зоны (Гиджаки-Ахтарминская, Нардаран-Ахтарминская и Сулейман-майкопской свиты) длиной 25—30 км намечается погружение [8] кровли майкопской свиты примерно на 2 км (рис. 2). Погружение олигоцен-миоценовых отложений в сторону этой депрессии намечается во всех упомянутых антиклинальных зонах. В результате подобного погружения, в пределах западного борта Джейранкечмесской депрессии, кровля майкопской свиты опускается на глубину 3800—4000 м.

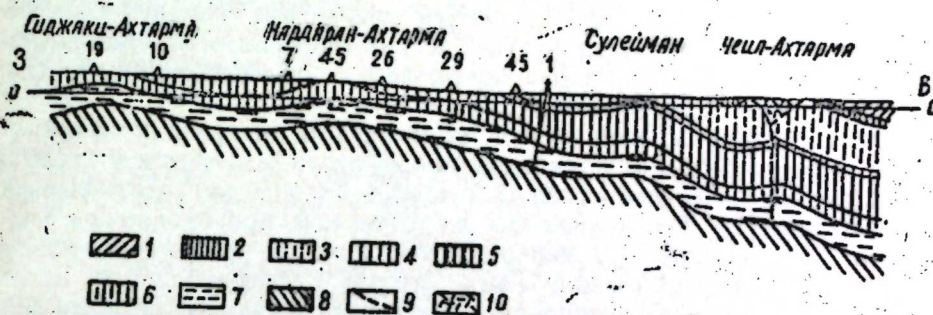


Рис. 2. Гиджаки-Ахтарма-Чешлактарма. Региональный геологический профиль.  
1—апшеронский ярус; 2—акчагыльский ярус; 3—продуктивная толща; 4—понтический ярус; 5—диатомовая свита; 6—чокракский горизонт; 7—майкопская свита; 8—коинская свита; 9—линии нарушений; 10—сопочная брекчия.

В геологической литературе имеется указание, на то, что „чем разреженное складчатость, чем шире синклинальные прогибы между антиклиналями, тем более мощные газовые залежи возможны в антиклиналях“ [5].

Учитывая это обстоятельство, с целью суждения о благоприятности в структурно-тектоническом отношении отдельных областей Юго-восточного Кавказа, для скопления нефти и газа С. Г. Салаевым впервые были подсчитаны плотность и частота складок [7]. За меру плотности берется площадь, которая приходится на одно поднятие в пределах каждой области. Эта величина выводится путем деления общей площади на количество антиклинальных поднятий независимо от размеров и формы складок. Под частотой складчатости понимается количество поднятий, которые насчитываются на профиле, проведенным вкрест общего простирания складчатых структур области.

С. Г. Салаевым установлено, что по плотности и характеристике частоты складчатости (олигоцен-миоценового комплекса Южного Кобыстана) выгодно отличается от складчатости Центрального. Так, в Центральном Кобыстане на одну антиклиналь приходится примерно 35—40 км<sup>2</sup> площади, поднятия возникают через каждые 4—5 км. А в Южном Кобыстане одна антиклиналь в среднем приходится на 60—70 км<sup>2</sup>, поднятия располагаются через каждые 6—7 км.

Таким образом, на основании численной характеристики складчатости делается вывод о том, что олигоцен-миоценовые складки Южного Кобыстана отличаются меньшей напряженностью, что является более благоприятным фактором газоносности указанных отложений.

В пределах Кобыстанской области в целом отмечается уменьшение степени размыва и дислокации олигоцен-миоценовых отложений с севера на юг и с запада на восток.

Принимая во внимание это обстоятельство надо полагать, что олигоценовые структуры Джейранкемесской депрессии, в том числе западного ее борта, окажутся сравнительно меньше дислоцированными, что является благоприятным фактором газоносности сингенетично-нефтегазоносной олигоцен-миоценовой формации.

Одним из факторов газоносности, выдвинутым Д. В. Жабревым [5], является то, что „богатство газом нефтяного месторождения в целом зависит от мощности и газопроницаемости свит, перекрывающих это месторождение“. В этой связи следует отметить, что отдельные нефтегазоносные свиты олигоцен-миоценового комплекса Кобыстана покрываются довольно мощными и плохо проницаемыми глинистыми породами, которые являются почти непроницаемыми для газа. Наиболее благоприятные условия мы вправе ожидать в пределах Джейранкемесского прогиба, где сингенетично-нефтегазоносная олигоцен-миоценовая формация покрывается довольно мощными глинистыми толщами плиоценовых отложений.

С другой стороны, имеющийся фактический материал показывает, что по мере погружения олигоцен-миоценового комплекса в сторону Джейранкемесской депрессии отмечается увеличение газонасыщенности разреза [1]. Так, например, в результате проведенного структурного и поискового бурения было установлено, что с сарматскими отложениями олигоцен-миоценовых структур юго-западного Кобыстана связаны газопроявления различной интенсивности. Промышленный приток газа был получен в самой погруженной части Арзани-Клычской зоны — на площади Клыч. На этой площади в поисковой скв. № 2 при глубине 1936 м ударил газовый фонтан. В поисковой скв. № 6 при опробовании объекта глубиной 1372—1380 м наряду с нефтью и водой был получен газ. При прохождении песчаного объекта в интервале 1263—1315 м в скв. № 15 наблюдалось интенсивное выделение газа.

Закономерное увеличение газоносности олигоцен-миоценовых отложений наблюдается в пределах Гирда-Гюнгермес-Умбакинской антиклинальной зоны, в восточном направлении в сторону погружения. Так, на самой восточной палеоген-миоценовой структуре этой зоны — Умбакинской, в скв. № 23 из III горизонта (по местной номенклатуре) майкопской свиты был получен мощный газовый фонтан с суточным дебитом около 1,2 млн. м<sup>3</sup>. На плиоценовой Утальгинской складке, которая попадается на продолжении Гирда-Гюнгермес-Умбакинской олигоцен-миоценовой антиклинальной зоны в верхней части миоцена были вскрыты нефтегазоносные пласты с сильным выделением газа.

В этой связи можно полагать, что наиболее погруженные структуры западного борта Джейранкемесской депрессии окажутся сравнительно сильно насыщенными газом и газоконденсатом.

Одним из основных затруднений для проведения в доказанной депрессии поисково-разведочных работ является несоответствие в структурах плиоценового и олигоцен-миоценового комплексов [2, 3]. К началу продуктивного века в Кобыстане олигоцен-миоценовые структуры были не только сформированы, но даже подверглись размыву. Поэтому в Джейранкемесской депрессии, особенно в ее бортах частях, плиоценовые отложения трансгрессивно налегают на размытые в различной степени погребенные олигоцен-миоценовые структуры. Это подтверждается сейморазведкой и поисково-разведочным бурением.

Для выяснения характера смешения плиоценовых и олигоцен-миоценовых структур нами совместно с С. Г. Салаевым для Кафтаран-

ской площади были построены структурные карты по кровле нижней подсвиты майкопа и по подошве средней пачки продуктивной толщи.

При этом установлено смещение майкопского свода по отношению к плиоценовому (вкрест простирации пластов) к северу примерно на 500 м.

Подобное же смещение намечается также в пределах Карадагской складки.

Учитывая смещение вдоль погребенных складок, необходимо закладывать скважины отходя от свода плиоценовых слоев в том же направлении.

На основании вышеизложенного можно сделать вывод о том, что наряду с другими участками Джейранкемесской депрессии, западный ее борт (Чеилахтарма, Чеилдаг, Рагим, Клыч) заслуживает внимания при поисках новых нефтегазовых залежей в олигоцен-миоценовом комплексе.

## ЛИТЕРАТУРА

1. Ализаде А. А. „Изв. АН Азерб. ССР, серия геол.-географ. наук, 1961, № 6.
2. Ахмедов Г. А. Геология и нефтеносность Кобыстана. Азнефтеиздат, 1957.
3. Ахмедов Г. А., Салаев С. Г. АНХ, № 3, 1959.
4. Вебер В. Б. Проблема нефтеносности палеогеновых и миоценовых слоев Кобыстана. Труды НГРИ, серия А, вып. 110, 1939.
5. Жабрев Д. В. АНХ, № 3, 1947.
6. Пукарадзе А. Л., Дацашев Ф. Г. Геология нефти и газа, № 3, 1960.
7. Салаев С. Г. Олигоцен-миоценовые отложения Юго-восточного Кавказа и их нефтегазоносность. Изд-во АН Азерб. ССР, 1961.
8. Салаев С. Г., Зейналова Э. И. „ДАН Азерб. ССР, 1961, № 1. Институт геологии

Поступило 5. V 1964

Е. И. Зейналова.

Чејранкемәз депрессијасының гәрб јамачында Олигосен-Миоцен чөкүнтуләринин газлы олмасының қеоложи шәртләри

## ХУЛАСӘ

Мә’лумдур ки, Чәнуб-гәрби Гобустанда Олигосен-Миоцен чөкүнтуләри гумлу-килли лиофасијада ифадә олунур. Шималдан чәнуба, гәрбдән шәргә кетдиңкә бу чөкүнтуләрин айры-айры стратиграфик вәнидләринин галыныры гум вә алеврит лајларының несабына артыр.

Майкоп дәстәсинин таванына көрә тәртиб едилемиш структур хәритә көстәрир ки, чәнуб-шәрг истигамәтиндә Чејранкемәз депрессијасына дөгру үмуми батымла әлагәдар олараг, тектоник кәркинлик зәйфләйир. Бунун нәтичәсіндә Чејранкемәз депрессијасының гәрб јамачында антиклиналь структурлары парчалајан позулмаларын саға азалып. Дикәр тәрәфдән, Чејранкемәз депрессијасы саһәсіндә сингенетик нефтли-газлы Олигосен-Миоцен чөкүнтуләри Плиосенин, хусусилә Понт мәртәбәсінин килли чөкүнтуләри илә өргүлүр. Газыма нәтичәсіндә алынан мә’луматлар Олигосен-Миоцен чөкүнтуләринин Чејранкемәз депрессијасына дөгру көмүлмәси илә әлагәдар олараг, чөкүнтуләрин газлылығының артдығының көстәрир.

Бүтүн бунлара әсасән мүәллиф белә нәтичә чыхарыр ки, Чејранкемәз депрессијасының башга саһәләри илә јанаши, онун гәрб јамачы да (Чеилахтарма, Чеилдаг, Рәһим вә Глыч) йени нефт-газ Јаттагарының ахтарышы учун әлверишилдирир.

ГЕОЛОГИЯ НЕФТИ

А. К. БАДАЛЯН

**О НЕКОТОРЫХ ВОПРОСАХ ДЕГАЗАЦИИ ГЛИНИСТОГО РАСТВОРА ПРИ ГАЗОВОМ КАРОТАЖЕ**

(Представлено академиком АН Азербайджанской ССР М. В. Абрамовичем)

В настоящее время на многих газокаротажных станциях газ из бурового раствора извлекается при помощи поплавкового дегазатора ПГ-1, у которого степень дегазации является слабой [1].

Однако в ряде случаев неблагоприятных для газового каротажа, например, при прохождении тяжелой нефти с незначительным газовым фактором, а также при больших удельных весах и очень вязких глинистых растворах, непрерывная неглубокая дегазация глинистого раствора поплавковым дегазатором ПГ-1 не позволяет выявить нефтегазовые залежи [2]. Такие случаи часто встречаются в районе Апшеронского полуострова.

Поэтому для надежного разделения продуктивных пластов исследуемого разреза необходимо выбрать рациональный метод дегазации и установить оптимальные условия процесса дегазации. Так как шнековый дегазатор не обеспечивает дегазацию растворов с удельным весом более  $1,5 \text{ г}/\text{см}^3$  и вязкостью более 120 сек, в каротажной лаборатории ЦНИЛа треста "Азнефтегеофизика" в качестве метода дегазации была применена механическая разбивка раствора с помощью вибрирующего разбивателя. Для определения оптимальных условий дегазации было разработано специальное устройство, имитирующее вибрационный дегазатор (рис. 1).

Основными узлами сконструированного устройства являются: основание (1), вибрирующая система (2), корпус дегазатора (3), разбиватель (4).

Вибрирующая система представляет собой кривошипно-шатунный механизм, который состоит из шатуна, штока и смешенного эксцентричного кулачка, посаженного на вспомогательный вал.

Применяя различные кулачки, связанные ременной передачей с электродвигателем, можно изменять амплитуду вибрации в диапазоне 1–5 мм, обеспечивая тем самым размах колебаний в пределах 2–10 мм. Для регулировки частоты вибрации используются шкивы различных диаметров, что позволяет иметь частоту от 10 до 50 гц.

Лабораторные испытания проводились в чане емкостью в 250 л, заполненном глинистым раствором. С целью введения в глинистый

раствор летучих углеводородных компонентов в него было добавлено 0,5 л бензина.

Испытания проводились с растворами различных удельных весов и различных вязкостей. Ниже приводится описание лабораторных испытаний по выбору оптимальных параметров вибрационного дегазатора:

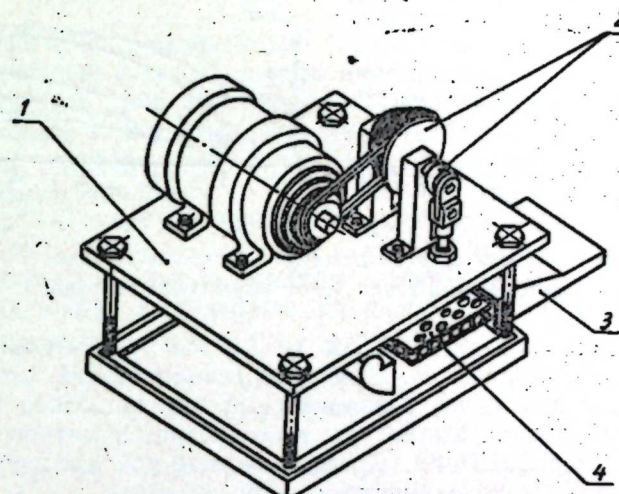


Рис. 1

1. Для выбора оптимальной частоты вибрации (на степень дегазации) проводились измерения газопоказаний при частотах вибрации 10 гц, 20, 30, 40, 50 гц.

Замеры проводились термохимическим газоанализатором на станции ГКС-3 одновременно с поплавковым, шнековым и вибрационным дегазаторами в утяжеленных (удельный вес  $2,25 \text{ г}/\text{см}^3$ ) и вязких (с вязкостью 180–200 сек по СПВ-5) растворах.

Шнековый дегазатор в данных условиях не обеспечивает нужной степени дегазации, так как он рассчитан для растворов с малым удельным весом и малой вязкостью. Поэтому лабораторные измерения проводились поплавковым дегазатором ПГ-1 и вибрационным дегазатором. После обработки результатов лабораторных исследований были построены кривые зависимости  $\frac{J_{\text{вib}}}{J_{\text{поп}}} = F(f)$  (при  $A = \text{пост}=1, 2, 3, 4$ ,

5 мм), где  $J_{\text{вib}}$ —величина газопоказаний вибрационного дегазатора в мкА;  $J_{\text{поп}}$ —поплавкового;  $A$ —амплитуда вибрации,  $f$ —частота вибрации разбивателя). Кривые газопоказаний представлены на рис. 2 а.

Из кривых видно, что с увеличением частоты вибратора степень дегазации увеличивается. Газопоказания при частоте вибрации 10 гц слабые, наибольшие газопоказания наблюдаются при частоте вибрации 40 гц. Дальнейшее увеличение вибраций практически не приводит к увеличению газопоказаний. Поэтому за оптимальную частоту вибрации следует принять частоты 40–50 гц.

2. Для исследования влияния амплитуды вибрации на степень дегазации были проведены замеры с амплитудами вибрации 1,2, 3, 4 и 5 мм.

После обработки результатов замера были построены кривые зависимости  $\frac{J_{\text{вib}}}{J_{\text{поп}}} = F(A)$ ; при  $f=10, 20, 30, 40, 50 \text{ гц}$  (рис. 2 б).

Из этих кривых видно, что с увеличением амплитуды вибраций степень дегазации увеличивается, причем при амплитудах 1 и 2 мм газопоказания вибрационного дегазатора в 2 раза выше газопоказаний поплавкового дегазатора ПГ-1.

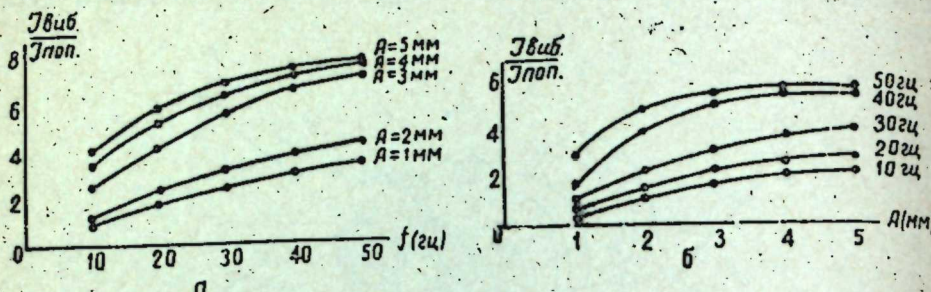


Рис. 2. Кривые зависимости величины газопоказания  
а) от частоты вибрации; б) от амплитуды вибрации.

При изменении амплитуды с 2-х до 3-х мм относительные газопоказания резко увеличиваются. При этом газопоказания вибрационного дегазатора в 6 раз выше газопоказаний поплавкового дегазатора. Дальнейшее увеличение амплитуды не вызывает заметного изменения относительных газопоказаний. Кривые, снятые при амплитудах вибрации 4 мм и 5 мм, мало отличаются друг от друга.

Учитывая эти данные, можно принять за оптимальную амплитуду вибрации  $A=3$  мм.

Большое влияние на газопоказания оказывает глубина погружения корпуса дегазатора в глинистый раствор, т. е. расстояние от крышки корпуса дегазатора до уровня глинистого раствора.

Как показали исследования для обеспечения наибольшей дегазации глубину погружения корпуса дегазатора для всех случаев целесообразно поддерживать в пределах 10–12 мм. Для получения наиболее выгодной конструкции был опробован целый ряд разбивателей. При этом в одном случае испытываемые разбиватели были различной конфигурации, но имели одну и ту же площадь разбивания; в другом—при одинаковой конфигурации они имели разную площадь разбивания.

Как показали испытания, на величину газопоказаний в значительной степени влияет площадь разбивания разбивателя.

Наилучшие показания получены при разбивателе решеткообразной формы с площадью разбивания  $255 \text{ см}^2$ .

На основании вышеописанных лабораторных исследований за оптимальные параметры вибрационного дегазатора, обеспечивающие наибольшую эффективность его работы, следует принять следующее:

1. Амплитуда вибрации 3–4 мм.
2. Частота вибрации—40–50 cps.
3. Уровень погружения корпуса в глинистый раствор—10–12 мм.
4. Разбиватель должен быть решеткообразной формы и состоять из 2-х пластин, так, чтобы отверстия были расположены в шахматном порядке друг относительно друга.

#### ЛИТЕРАТУРА

1. Соколов В. А., Юровский Ю. М. Теория и практика газового каротажа. Гостоптехиздат, 1961. 2. Геохимические методы поисков нефтяных и газовых месторождений. Изд. АН СССР, 1959.

Институт геологии

42

Поступило 17. IX 1964

А. К. Бадалjan

#### Газ каротажында килли мәһлүлүн дегазасијасына даир бәзи мәсэләләр

##### ХУЛАСЭ

Мәгаләдә ағырлашдырылыш йүксек өзүллү килли мәһлүлүн вибрасија васитәсилә дегазасија үсулунун һазырда газ каротажында тәтбиғ олан үсуллардан даға әлверишили олмасындан бәһс едилүр.

Бу мәгсәдлә мүәллиф вибрасијалы дегазаторун бүтүн хүсусијәтләрини әкс етдиရен гурғу дүзәлдүб „ПГ-1“ маркалы дегазаторла жашы тәдгиг етмишdir.

Тәдгигат нәтичәләрни вибрасија үсулунун ән сәмәрәли олдугуны көстәрир.

Лабораторијада килли мәһлүлүн эффектив дегазасијасыны тә'мин едән вибрасијалы дегазаторун иш режими вә оптималь параметрләри тә'јин олунмушшур.

ГЕОЛОГИЯ НЕФТИ

Р. Р. РАХМАНОВ

К ВОПРОСУ ПОИСКОВ КРУПНЫХ ГАЗОВЫХ СКОПЛЕНИЙ  
В ОБЛАСТИ РАЗВИТИЯ ГРЯЗЕВОГО ВУЛКАНИЗМА В ПРЕДЕЛАХ  
ПРИКУРИНСКОЙ НИЗМЕННОСТИ

(Представлено академиком АН Азербайджанской ССР А. А. Ализаде)

Грязевые вулканы в подавляющем большинстве случаев связаны с предгорными и межгорными областями альпийских складчатых сооружений (рис. 1), где сосредоточено около 50% мировых запасов газа [6], что косвенно подтверждается и выделением огромных количеств газа как во время извержения, так и в грифонной стадии проявлений.

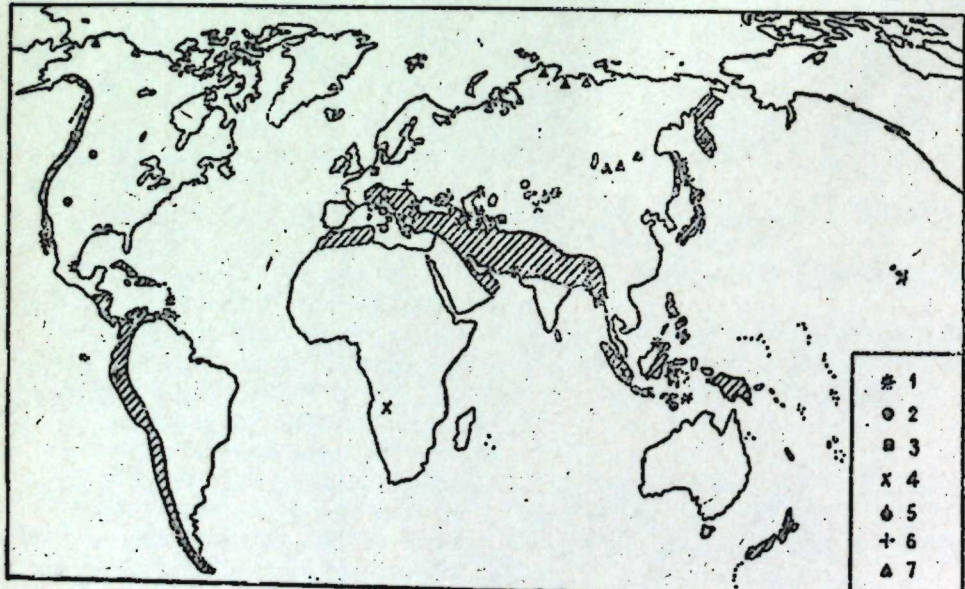


Рис. 1. Географическое распространение различных генетических типов грязевых вулканов:

1—грязевые вулканы; псевдовулканоиды (по классификации М. И. Суббота); 2—термовулканоиды; 3—биовулканоиды; 4—сейсмовулканоиды; 5—гидровулканоиды; 6—техновулканоиды; 7—кривовулканоиды.  
Заштрихована зона альпийской складчатости.

Исследования Ф. Г. Дадашева [4] по газам нефтяных и газовых месторождений Прикуринской низменности показали, что процентное содержание тяжелых углеводородов по направлению с СЗ на ЮВ уменьшается. Это послужило основанием для высказывания мнения об увеличении газонасыщенности верхов продуктивной толщи в пределах Прикуринской низменности в том же направлении.

Анализ термодинамических исследований [2] показал, что вероятная зона газоносности в низах продуктивной толщи приурочена к юго-восточной части Апшеронского полуострова в пределах акватории и далекому погружению юго-западных крыльевых частей Кюровдаг-Нефтечалинской антиклинальной зоны.

Потенциальные возможности обнаружения газовых залежей в Азербайджане вышеуказанными отложениями не исчерпываются [2]. Безусловно, глубокие горизонты содержат также крупные залежи газа, на что указывает периодическое извержение грязевых вулканов с выносом древних пород (палеоген, мезозой) и общая закономерность увеличения газонасыщенности с глубиной.

Сравнение составов газов грязевых вулканов Прикуринской низменности с газами нефтяных и газовых месторождений той же области [4] показывает, что в составе первых тяжелые углеводороды отсутствуют или составляют незначительную часть; в их изменении никакой закономерности не наблюдается.

Это, на наш взгляд, говорит о том, что газы грязевых вулканов связаны с газовыми залежами, или же, принимая во внимание потерю тяжелых углеводородов при подъеме по жерлу с больших глубин, можно связывать их с газовыми "шапками" нефтяных или газоконденсатных залежей глубокозалегающих слоев.

Если в деле выявления газовых скоплений по верхам продуктивной толщи определенный интерес представляют структуры Хыдырылы, Бакинского архипелага (Обливной, Кумани и др.) [4], а по низам продуктивной толщи—юго-восточная часть Апшеронского полуострова и далекие юго-западные крыльевые части Кюровдаг-Нефтечалинской антиклинальной зоны [2], то по глубокозалегающим слоям заслуживают внимания все структуры, осложненные крупными грязевыми вулканами.

В геологической литературе не раз говорилось о возможности промышленного использования газов грязевых вулканов путем бурения скважин непосредственно на газовые очаги грязевых вулканов [1, 2, 3, 5]. При этом М. В. Абрамович [1] во избежании осложнений предлагает разбуривать скважины по соседству с грязевыми вулканами по направлению вкrest разрывных нарушений.

Большой интерес представляет вопрос о месте заложения скважин на структурах, осложненных несколькими грязевыми вулканами.

В этом случае необходимо выяснить степень соответствия ниже- и вышележащих комплексов. Предполагаем, что морфологическая особенность групп грязевых вулканов, возраст твердых выбросов, а также состав вод и газов, выделяющихся из них [7], указывают на прямую связь сводовых частей глубокозалегающих слоев с жерлами морфологически выраженных вулканов (рис. 2). Поэтому целесообразно заложить глубокие скважины на таких структурах в местах расположения крупных вулканов.

Кроме того, учитывая, что в пределах Прикуринской области третичные отложения наименьшую мощность имеют в бортовых частях депрессии или же на структурах с размытыми сводами, можно реко-

ПАЛЕОНТОЛОГИЯ

Р. А. АЛИЕВ

НОВЫЕ РИНХОЛИТЫ ИЗ НИЖНЕГО МЕЛА ЮГО-ВОСТОЧНОГО КАВКАЗА

(Представлено академиком АН Азербайджанской ССР М. М. Алиевым)

Во флишевых отложениях нижнего мела юго-восточного Кавказа довольно часто встречаются ринхолиты. Описания отдельных форм из валанина, готерива и баррема можно встретить в работах К. И. Богдановича [2], В. Н. Шиманского [4], А. Г. Халилова [3], Р. А. Алиева [1]. С каждым годом расширяются наши познания этих проблематических ископаемых, делаются новые находки. В последние годы автору этих строк удалось встретить данные ископаемые и в альбских отложениях юго-восточного Кавказа.

Описываемые ниже 2 ринхолита принадлежат к новым, неизвестным в литературе видам. Один из них—*Hadrocheilus transcaucasicus* R. Aliev, sp. nov. найден в барремских глинах р. Тудар, другой—*Hadrocheilus tschikiltschaensis* R. Aliev, sp. nov. по р. Чикильчай в глинах альбского возраста.

Группа RHINCHOLITES Faugé-Biguet, 1819

Род HADROCHEILUS Tili, 1907

*Hadrocheilus transcaucasicus* R. Aliev, sp. nov.

Голотип—Ин-т геологии АН Азерб. ССР, № 80; Юго-восточный Кавказ, левый берег р. Тудар; баррем<sup>1</sup>.

Описание (рис. 1). Ринхолит высокий толстый. Капюшон стреловидный с прямыми боковыми краями и гладкой верхней поверхностью. Он имеет вырезанный задний край и вершинный угол 60°. Длина капюшона несколько превышает его ширину. Рукоятка сравнительно большая, хорошо развитая, по длине уступающая длине капюшона, широкая. К заднему краю она постепенно расширяется и имеет ширину, почти равную ширине капюшона. Силлон широкий, слабо округленный, ограниченный острыми кантами. Нижняя сторона ринхолита волнистая. Вдоль срединной линии нижней стороны проходит узкий, резко выраженный продольный валик, образующий в задней

части капюшона выпуклость. На нижней поверхности рукоятки между боковыми краями и продольным валиком проходят широкие углубления, заканчивающиеся сзади продольными ямками.

Сравнение. Описанный вид близок к *H. asterianus* Orb. (Шиманский, стр. 245, табл. VI, фиг. 3) по форме капюшона и рукоятки, однако, отличается более толстым капюшоном и более передним расположением выпуклости на нижней поверхности ринхолита.

Геологическое и географическое распространение. Баррем; Ю.-В. Кавказ, Аштеронский район, р. Тудар.

Материал. Голотип.

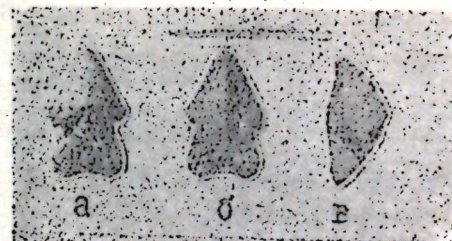


Рис. 1. *Hadrocheilus transcaucasicus* R. Aliev, sp. nov.; голотип № 80 (Х1): а—вид сверху; б—вид снизу; в—вид сбоку; р. Тудар; баррем

*Hadrocheilus tschikiltschaensis* R. Aliev, sp. nov.

Голотип—Ин-т геологии АН Азерб. ССР, № 81; Юго-восточный Кавказ, левый берег р. Чикильчай; альб<sup>2</sup>.

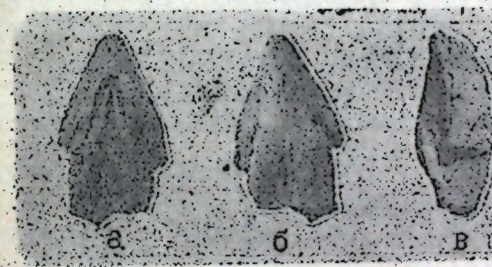


Рис. 2. *Hadrocheilus tschikiltschaensis* R. Aliev, sp. nov.; голотип № 81 (Х1): а—вид сверху; б—вид снизу; в—вид сбоку; р. Чикильчай; альб

Описание (рис. 2). Ринхолит крупный высокий. Капюшон стреловидный низкий с длинной, превышающей ширину и гладкой верхней поверхностью. Боковые стороны его прямые, а задний край—сильно вырезанный. Вершинный угол равен 55°. Рукоятка крупная широкая, хорошо развитая, с параллельными боковыми сторонами. Ширина ее несколько уступает ширине капюшона. Верхняя сторона рукоятки вогнутая, округлая, без силлона. Нижняя сторона ринхолита волнистая. Вдоль срединной линии нижней стороны проходит узкий, резко выраженный продольный валик, образующий под рукояткой сильную выпуклость. На нижней поверхности рукоятки по обе стороны от продольного валика имеется по одному продольному и широкому мозолевидному утолщению.

Сравнение. Описанный вид наиболее близок к *H. quinquecarinatus* Pict. et Campiche (Pictet et Campiche, стр. 163, табл. 59, фиг. 9) по форме капюшона и рукоятки отличается отсутствием валиков на нижней поверхности капюшона и силлона на рукоятке, а также более длинной рукояткой и расположением выпуклости на нижней поверхности ринхолита.

Геологическое и географическое распространение. Средний альб; Ю.-В. Кавказ, Аштеронский район, р. Чикильчай.

Материал. Голотип.

<sup>1</sup> Видовое название по Закавказью.

## ЛИТЕРАТУРА

1. Алиев Р. А. Найдены ринхолиты из нижнего мела юго-восточного Кавказа. „Палеонт. жур.”, № 4, 1961, стр. 160—162. 2. Богданович К. И. Система Дибрара в юго-восточном Кавказе. Труды Геол. ком., нов. серия, вып. 26, 1906, стр. 124, 3. Халилов А. Г. О находке ринхолитов в нижнемеловых отложениях юго-восточного Кавказа. „ДАН Азерб. ССР”, 1961, т. XVII, № 1, стр. 53—56.. 4. Шиманский В. Н. Наутилиды. Атлас нижнемеловой фауны Северного Кавказа и Крыма. Труды ВНИИГаз, 1960, стр. 245—246. 5. Pictet F. J. et Campiche G. Description des fossiles du Terrain crétacé des environs de Sainte-Croix. Matér. pour la Paléont Suisse, 3 sér., pt. 1, 1859. S. 161—163.

Институт геологии

Поступило 9. IV 1964

Р. Э. Элиев

### ЧЭНУБ-ШЭРГИ ГАФГАЗЫН АЛТ ТЭБАШИР ЧӨКҮНТҮЛЭРИНДЭН ЖЕНИ РИНХОЛИТЛЭР

#### ХУЛАСЭ

Ринхолитлэрэ Чэнуб-шэрги Гафгазын алт тэбашир флиш чөкүнтулэри ичэрисиндэ тез-тез тэсадүф едиццэ. Бунларын валанжин, нотэгдив вэ баррем чөкүнтулэриндэки бэ'зи формаларыны тэсвири К. И. Богдановичин (1906), В. Н. Шиманскиин (1960), А. Н. Хэлиловун (1961), Р. Э. Элиевин (1961) ишлэриндэ вардыр.

Сон иллэрдэ мүэллиф ринхолитлэрэ Чэнуб-шэрги Гафгазын алб чөкүнтулэри ичэрисиндэ дэ раст кэлмишдир.

Мэгалэдэ ики жени ринхолит тэсвир олунур. Бунлардан *Hadrocheilus transcaucasicus* R. Aliev sp. nov. Тудар чаынын баррем яшлы киллэриндэ, *Hadrocheilus tschikitschaensis* R. Aliev, sp. nov. Чикилчаын орта алб яшлы киллэриндэ тапылмышлар.

## АЗЭРБАЙЧАН ССР ЕЛМЛЭР АКАДЕМИЯСЫНЫН МЭРҮЗЭЛЭРИ

### ДОКЛАДЫ АКАДЕМИИ НАУК АЗЕРБАЙДЖАНСКОЙ ССР

ТОМ XXI

№ 9

1965

#### СТРАТИГРАФИЯ

О. Б. АЛИЕВ

### МАТЕРИАЛЫ К УСТАНОВЛЕНИЮ КОНЬЯКСКИХ ОТЛОЖЕНИЙ НА МАЛОМ КАВКАЗЕ (АЗЕРБАЙДЖАН)

(Представлено академиком АН Азербайджанской ССР К. А. Ализаде)

Большинство геологов, изучавших стратиграфию верхнемеловых отложений в пределах азербайджанской части Малого Кавказа, считали, что сеноманские отложения по сравнению с коньякскими в этой области имеют большое и повсеместное распространение. Этот неверный вывод первым долгом проистекал из того, что почти все предыдущие палеонтологи-стратиграфы ошибочно приписывали к сеноманскоому возрасту многочисленные ископаемые организмы, обнаруженные в коньякских отложениях, имеющих широкое распространение в северо-восточной части Малого Кавказа и представленных различными фациально-литологическими типами пород. Об этом подробно изложено в работах О. Б. Алиева [1а], Р. Н. Мамедзаде [4], Х. Али-юлла [2], посвященных стратиграфии палеонтологии меловых отложений северо-восточной части Малого Кавказа. В них дается новая стратиграфическая схема подразделения меловых отложений северо-восточной части Малого Кавказа.

В настоящей статье впервые приводятся данные о новых пунктах обнаружения коньякских отложений в Лачинском, Кельбаджарском и Кедабекском районах.

Среди сборов О. Д. Гамзаева и Т. Аб. Гасанова (1962) из верховья р. Мамаличай (Лачинский р-н) из песчано-глинистой пачки нами был определен комплекс фауны коньякского яруса: *Cardium transcaucasicum* Bobk., *C. ex gr. productum* Thom. et Reg., *Haustator kurdistanensis* Psel., *Trochactaeon mamaliitschensis* O. Aliev, sp. n. (in coll.), *Tr. ex gr. subobtusus* Psel., *Tr. cf. gulistanensis* Psel., *Plesiptygmatis cf. plana* Psel., *Actaeonella caucasica* Zek., *Exogyra* sp. и др.

В составе приведенного списка мы не видим иноцерамов. Зато появляются в изобилии гастроподы, характеризующие коньякский ярус Закавказья. Присутствие вместе с ними *Cardium transcaucasicum* Bobk., *Actaeonella caucasica* Zek., *Haustator kurdistanensis* Psel. также подтверждает коньякский ярус.

Далее доказано присутствие коньякских отложений в Кедабекском районе в окрестности сел. Дортлар. Отсюда среди известковистых

песчаников из сборов Т. Аб. Гасанова нами определены: *Pecten virgatus* Nilss., *Ostrea* sp. ind., *Trigonia* sp. ind., *Neithe quinquecostata* (Sow.), *Isocardia ex gr. karabakhensis* Bobk., *Plicatula* sp., *Cardium ex gr. transcaasicum* Bobk., *Cucullaea* sp. ind. *Ampullospira cf. caucasica* O. Aliev, *Hastator ex gr. karabakhensis* Pcel., *Rhynchonella* sp.

Приведенный выше комплекс фауны указывает коньякский возраст вмещающих их отложений.

Вышеуказанные отложения предыдущими исследователями ошибочно относились к нижнему байосу.

Выход меловых отложений изучался Т. Аб. Гасановым в 0,6 км северо-западной части г. Медия и верховья р. Ардыджур (южнее сел. Башкенд Арм. ССР). Среди туфопесчаников, указанного пункта из сборов Т. Аб. Гасанова нами определена неплохой сохранности фауна, в основном состоящей из пелеципод: *Pecten virgatus* Nilss., *Inoceramus inconstans* Woods, *Isocardia cf. karabakhensis* Bobk., *Ostrea* sp. ind., *Cardium cf. transcaasicum* Bobk., *Exogyra* sp. ex gr. *conica* Sow., *Neithe quinquecostata* (Sow.), *Rhynchonella* sp.

Приведенный комплекс фауны достаточно хорошо характеризует коньякский возраст вмещающих их отложений.

Коньякские отложения Т. Аб. Гасановым впервые установлены в результате наших палеонтологических определений их в 1,5 км от Западной части села Мутудара. Среди туфопесчаников указанного пункта из сборов Т. Аб. Гасанова нами определены: *Pecten cf. virgatus* Nilss., *Neithe quinquecostata* (Sow.), *Ostrea* sp. ind., *Rhynchonella* sp. ind., *Gervillia* sp. ind.

В приведенном списке фауны *Pecten cf. virgatus* Nilss. на Малом Кавказе известен только из коньякских отложений.

Далее присутствие коньякских отложений констатировано в районе сел. Сарлар, откуда среди туфопесчаников Т. Аб. Гасановых собраны и нами определены: *Pecten virgatus* Nilss., *Alectryonia* sp., *Ostrea* sp. ind., *Liostrea* sp. ind., *Neithe quinquecostata* (Sow.), *Rhynchonella* sp. и морские ежи плохой сохранности.

Указанные отложения ранее исследователями без фаунистического обоснования относились к вулканогенной толще байоса.

Коньякские отложения обнажаются на западной окраине сел. Сардарашен, где на юрских отложениях базальными конгломератами в основании залегают серые известковистые песчаники и глины, мощностью более 110 м.

Из сборов М. М. Алиева, О. Б. Алиева и Р. Н. Мамедзаде [1], собранных среди глин, впервые Г. А. Алиевым были определены *Drepanochilus complexus* Pcel., *Rostellinda fusoidea* Pcel., *Perissopterus cf. curta* Pcel., и др. Все вышеприведенные формы являются эндемичными и впервые В. Ф. Пчелинцевым [5] описаны из нижнетуронских отложений Приараксинской геосинклинальной зоны Малого Кавказа. По нашему мнению, вышеприведенные формы в действительности являются коньякскими, так как впервые определенный отсюда Х. Алиюлла комплекс микрофауны и нами макрофауны в достаточной степени указывает на коньякский возраст.

Среди конгломератов и серых слоистых глин нами собраны и определены: *Isocardia cf. karabakhensis* Bobk., *Trigonoarca quadran* Reppng., *Pectunculus* sp. ind., *Neithe quinquecostata* (Sow.), *Drepanochilus subcostae* Pcel., *Dr. complexus* Pcel., *Helicaulax* sp.

*subcostatum* Pcel., *Rostellinda fusoidea* Pcel., *R. subdalli* Pcel., *Hastator ex gr. kurdistanensis* Pcel.

Приведенный комплекс фауны достаточно хорошо характеризует коньякский возраст содержащих их отложений и часто встречается в нижеконьякских отложениях северо-восточной части Малого Кавказа.

Выходы коньякских отложений наблюдаются в окрестностях сел. Инджирлы на правобережье р. Кошкарчай. Здесь на юрских плагиоклазовых порфиритах трансгрессивно залегает мощная толща осадочных пород, в основном представленных из известковистых песчаников и сравнительно реже мергелей. В основании разреза среди светлобурых песчаников с гальками встречаются желвачки копала. Из этого пункта нами собрана обильная фауна: *Cardium transcaasicum* Bobk., *C. agdschakendense* Bobk., *Isocardia karabakhensis* Bobk., *Hastator karabakhensis* Pcel., *Actaeonella caucasica* Zek., *Cardium productum* Thom. et Per., *Protocardia hillana* Sow., *Trigonoarca cf. quadrans* Reppng., *Inoceramus cf. glatziae* And., *Actaeonella cf. gracilis* Pcel., *Modiola flagellifera* Forb. и др.

Приведенная выше ассоциация фауны имеет много общего с таковыми разреза окр. сел. Кызылджа и достаточно хорошо характеризует нижеконьякский возраст вмещающих их отложений.

Указанный разрез был снят Лачиняном, собранные им фауны были определены Н. И. Бобковой, В. П. Ренгартеном [6] и Р. Ф. Пчелинцевым [5] как сеноманские.

Следует отметить, что выявление новых пунктов распространения коньякских отложений, основанное на достоверных палеонтологических материалах, даст возможность правильно понять историю геологического развития Малого Кавказа в верхнем мелу в коньякское время и изменение в палеогеографических построениях этого времени в свете новых данных.

#### ЛИТЕРАТУРА

1. Алиев М. М., Алиев О. Б., Мамедзаде Р. Н. Меловые отложения юго-восточной части Малого Кавказа. Тр. ин-та геологии АН Азерб. ССР, т. XIX, 1958, 1а. Алиев О. Б. Стратиграфия и фауна меловых отложений северо-восточной части Малого Кавказа (междуречье Кошкарчай-Тертер). Автореферат канд. дисс., Баку, 1961. 2. Алиюлла Х. Микрофауна (фораминиферы) и стратиграфия верхнемеловых отложений восточных предгорий М. Кавказа Агджакендинский, Мардакертский и Мартуниинский прогибы. Автореферат канд. дисс.. Баку, 1961. 3. Бобкова Н. И. Представители сем. *Cardidae* Lamarc. из сеноманских, туронских и коньякских отложений Малого Кавказа. Ежегод. Всес. палеонт. о-ва, т. 15, 1956. 4. Мамедзаде Р. Н. Fauna и стратиграфия верхнемеловых отложений северо-восточной части М. Кавказа. Автореферат канд. дисс., Баку, 1961. 5. Пчелинцев В. Ф. Fauna брюхоногих верхнемеловых отложений Закавказья и Средней Азии. Изд. АН СССР, 1953. (Геол. музей им. А. П. Карпинского АН СССР, серия моногр., №1). 6. Ренгартен В. П. Стратиграфия меловых отложений Малого Кавказа. Регион. страт. СССР, т. 6, изд. АН СССР, 1959.

Институт геологии

О. Б. Элиев

Поступило 2. I 1965

Кичик Гафгазда Конјак чекүнтуләринин тапылмасына  
даир материаллар (Азәрбајҹан)

ХУЛАСЭ

Мәгаләдә илк дәфә олараг Лачын, Кәлбәчәр, Кәдәбәј рајонларының яни мәнтәгәләриндә Конјак чекүнтуләри ашкар едилемәсниндән бәйс едилир.

Мүэллиф О. Д. Һәмзәевин вә Т. Аб. Һәсәновун 1962-чи илдә Мәмәличајда, Дортлар кәнди, Медиалдағы, Мұтидәрә, Сардарашен кәндләри әтрафындағы чөкүитүләриндән топладыглары фаунаның галыгларыны тә'жін едәрәк, онларың Конјак мәртәбесинә мәнсуб олдуғларыны көстәрмишdir.

Гејд етмәк лазымдыр ки, йұхарыда көстәрилән раionларын бир сыра жени саһәләриндә палеонтологи чәһәтдән յаҳшы әсасландырылмыш Конјак чөкүитүләринин ашқар едилмәси Кичик Гафгазын қеоложи инкишәф тарихини вә палеочографиясыны жени мә'лumatлara әсасән дәгиг бәрла етмәје имкан верир.

СТРАТИГРАФИЯ

Х. М. ШЕЙДАЕВА-КУЛИЕВА, Т. ГАДИЕВА

**ЛИТОЛОГИЯ И МИКРОФАУНА АПШЕРОНСКОГО ЯРУСА  
РАЗРЕЗА БИБИЭЙБАТ**

(Представлено академиком АН Азербайджанской ССР К. А. Ализаде)

Изучению разреза Бибиэйбат посвящены многие работы Д. В. Голубятникова, С. А. Ковалевского и других. Разрез этот протягивается от Чемберкендского оврага, расположенного в центральной части Апшеронского полуострова на склонах Чемберкендской возвышенности, примыкая непосредственно к окраине нефтепромыслового района им. 26-ти бакинских комиссаров.

При исследовании апшеронских отложений участка Бибиэйбат как микрофаунистически, так и литологически удалось выделить 3 подъяруса, включающие в себя 4 горизонта.

Основными породами, слагающими разрез, являются глины, известняки и несколько подчиненное значение имеют мергели, песчаники и др. Мощность и типы пород сведены в таблице.

Подъярусы	Мощность, м	Типы пород, %					
		песчаные	алевритовые	глинистые	известняки	мергели	вулканические
Верхний	90	26,8	5,0	16,0	47,2	5,0	—
Средний	230	40,7	26,1	16,6	16,6	—	—
Нижний	30	—	—	9,0	—	—	2,0

**Песчано-алевритовые породы**

Песчаные и алевритовые разности в общем комплексе пород апшеронских отложений разреза Бибиэйбат пользуются неравномерным развитием. Мощность этих образований колеблется от тончайших пропластков до пачек 5—6 м и выше. Наиболее мощные пакеты приурочены к среднему апшерону. Среди песчаных и алевритовых пород встречаются преимущественно рыхлые и очень редко сцементированные разности. Описываемые породы представлены серыми, темносерыми, светло-серыми, желтовато-рыжими разностями. Отдельные прослои песка содержат окатанные обломки глин (средний апшерон), точечное включение ярозита, гипса, комки вулканического пепла.

Текстурные особенности песчаных и алевритовых образований проявляются в наличии слоистости, созданной изменением гранулометрического состава и цвета пород. По петрографическому составу песчаные и алевритовые породы полимиктовые, а по размерности слагающего их материала крупно-средне- и мелкозернистые. Под микроскопом структура пород псаммитовая, псаммоалевритовая, текстура массивная, беспорядочная. Слагающий материал неравномерно зернистый, часто плохо отсортированный, состоит из кварца, полевых шпатов и обломков различных типов пород; из акцессорных минералов встречаются циркон, гранат, рутил, турмалин, роговая обманка, пироксены и другие. Цемент кремнистый, глинистый, железисто-известковистый. Распределение его в порядке неравномерное, тип цементации смешанный, базальный.

Глинистые породы. Глины ашеронского яруса разреза Бибиэбат серые, темно-серые, светло-серые, буровато-черные, черные (нижний ашерон), буровато-желтые (средний ашерон); различие цветов глини среднего и нижнего ашерона является одним из критериев при проведении контакта между средним и нижним ашероном. Мощность глинистых пластов варьирует от 5–6 см до 10–12 м. Наиболее мощные пакеты приурочены к среднему и нижнему ашерону.

Текстура этих образований массивная, тонкослоистая; по гранулометрическому составу выделяются алевритовые, алевритистые (средний ашерон), песчано-алевритовые (средний—верхний ашерон) и отмеченные разности (нижний ашерон).

По преобладающему комплексу глинистых минералов здесь выделены следующие разности—гидрослюдистые глины (средний и верхний ашерон), монтмориллонитово-гидрослюдистые глины (верхний ашерон) и монтмориллонитовые глины (средний и нижний ашерон).

Карбонатные породы. Среди карбонатных пород в составе изученных отложений отмечаются известняки и мергели.

Известняки. Наибольшее количество известняков отмечается в верхнем и среднем ашероне. Мощность колеблется от 80 см, до 3–4 м, они серые, белесовато-серые, желтовато-красные.

Встречаются известняки косослоистые, косоволнисто-слоистые, трещиноватые, с включением галек, плотные, слабосцементированные, кавернозные и др.

Отмечаемая косая слоистость известняка явно связана с поступательным движением водной среды, указывающей на обстановку сравнительного мелководья и относительную близость суши. Отмеченные включения галек в составе известняков, по-видимому, являются результатом размытия мезозойского и палеогенового комплекса пород юго-восточного Кавказа, о чем свидетельствует тождество их петрографического состава.

По структурным особенностям среди известняков выделяются следующие типы: оолитовые, песчано-обломочно-оолитовые, песчанисто-органогенные, ракушняковые и др.

Мергели встречаются в виде тонких прослоев в верхнем ашероне. Они белесовато-серые, плотные. Слагаются в основном из тонко-дисперсной глинистой массы, сильно обогащенной карбонатом.

Анализ фаций и фауны дает основание рассматривать историю развития бассейна в течение нижне-ашеронского времени в два этапа.

Смена акчагыльского бассейна ашеронским происходила в тектоническом отношении в спокойной обстановке, на что указывает согласный контакт отложений акчагыла и ашерона.

В нижнеашеронский этап Ашеронское море испытывало постоянное погружение, которое наиболее резко отмечалось в центральной и южной частях полуострова. Опреснение бассейна, начавшееся как в акчагыльское время, продолжалось усиливаться в нижнем ашероне. Нижний подъярус представлен в основном глинистой толщей с редкими прослойками песков, песчаников и вулканического пепла. В этих глинах нами обнаружены следующие остракоды: *Limnocythere-luculenta* Liv., *Candonia abichi* Liv., *Trachyleberis azerbaijanica* (Liv.), *Leptocythere multituberculata* Liv. В низах этого подъяруса выделяются черные невскипающие в соляной кислоте, жирные наощущ глины, незначительной мощности.

Литологически верхний горизонт нижнего ашерона отличается несколько повышенным количеством прослоев песчаника, с налетом ярозита, образование которых, по-видимому, связано с осолонением бассейна<sup>1</sup>. В это же время начинается поднятие дна бассейна, контуры которого не теряют своей конфигурации, что доказывается наличием постоянных областей размыва, с которых все время поступал материал однотипного литологического состава.

В начале среднеашеронского времени, заложенное еще в нижнем ашероне поднятие в западной и юго-западной частях прогрессирует, распространяясь по всей территории полуострова.

Отложения соответствующие этому времени на территории<sup>2</sup> всего полуострова образовались в мелководном бассейне. Эти отложения представлены известняками, песками, песчаниками и глинами.

Частые смены палеогеографической и тектонической обстановки в течение среднего ашерона обусловливают изменение распространения литофаций.

Микрофаунистический состав нижнего ашерона постепенно меняется, происходит замещение старых форм нижнего ашерона новыми среднего ашерона. Часть видов остракод как: *Caspiocyparis candida* (Liv.), *Loxoconcha eichwaldi* Liv., *Cytherissa naphtatscholana* (Liv.) переходит в среднеашеронский бассейн<sup>3</sup>, как из акчагыла, так и из нижнего ашерона.

Наряду с переходящими остракодами в среднеашеронском подъярусе появляются новые: *Leptocythere camelii* Liv., *L. caspia* Liv., *L. arevina* Liv., *L. baciana* Liv., *L. pirsagatica* Liv., и др. Появление новых форм в среднеашеронское время совпадает по времени с частыми поднятиями и опусканиями, на что указывает широкое распространение мелководных прибрежных отложений не только в краевых зонах, но отчасти и в центральных частях Ашеронского моря. Частое изменение условий осадконакопления и гидрогеологического режима способствовало изменению характера осадков, с которыми тесно связаны определенные комплексы остракод. В связи с этим меняется и микрофаунистический состав.

При переходе от среднего к верхнему ашерону отмечаются коренные изменения как в процессе осадконакопления, так и в составе органического мира. Наблюдаются изменения некоторых видов и сокращение площади распространения их. Такие виды как *Leptocythere remissa* Liv., *L. ofortha* Liv., имеющие большое развитие в среднем подъярусе редко попадаются в отложениях верхнего ашерона.

<sup>1</sup> Верхний горизонт нижнего ашерона на Бибиэбатском разрезе нами не изучены, т. к. выходы его заняты нефтепромысловыми участками. Литология, данная в статье, приводится на основании сопоставления с близлежащими разрезами.

Наряду со среднеапшеронскими формами появляются характерные для верхнего подъяруса *Graviocyparis elongata* (Schw.), *Caspiocyparis filosa* (Schw.) *Crotulata* (Liv.), *Caspiochia lumentina* (Evil.), *Leptocythere rostrata* (Liv.), *Cytherissa bogatschovi* Liv., *Trachyleberis pseudocovexa* (Liv.).

Судя по перечисленным остракодам общий характер ашеронской фауны остракод говорит о том, что она обитала в мелководном периодическом опресненном бассейне, который, по-видимому, испытывал небольшие колебания то в сторону опреснения, то в сторону осолонения. По всей вероятности, эти колебания носили временный и местный характер и не нарушили общего сильно опресненного характера всего бассейна.

#### ЛИТЕРАТУРА

1. Ализаде К. А. Материалы к подразделению ашеронского яруса. - Изв. АКИИ, 1936. 2. Ализаде К. А. Отдельные вопросы биономии Ашеронского бассейна, 1945. 3. Султанов А. Д., Алиев А. Г., Акаева В. П., Гадиева Т. М. Литология ашеронских отложений Азербайджана. Изд. АН Азерб. ССР, 1963. 4. Шейдаева - Кулиева Х. М. и Гадиева Т. М. Ашеронские отложения Гезекского плато. «ДАН Азерб. ССР» 1960, № 12, т. XVI.

Институт геологии

Поступило 1. II 1964

Х. М. Шејдаева-Гулијева, Т. Гадијева

Библиография к эссешиндэки Ашерон дај дәстәсинин литологиси вә микрофаунасы

#### ХУЛАСӘ

Мәгаләдә литологи вә микрофауна үсулу илә тәдгиг олунан Бибиңејбәт кәсилишиндәки Ашерон мәртәбәсінин үч (алт, орта, уст) ииссәјә бөлүндүйндән, онлары сәчијжаләндирән сүхурлардан (1-чи чәдвәл) вә микрофауна комплексиндән бәһс олумагла бәрабәр, онларын һансы палеочография, тектоник шәрәйтдә мејдана кәлмәси мәсәләсі дә айдынлашдырылып.

#### ПОЧВЕННАЯ МИКРОБИОЛОГИЯ

С. А. АЛИЕВ, М. А. ГАДЖИЕВА

#### О ЭНЕРГЕТИЧЕСКИХ ПОКАЗАТЕЛЯХ БИОМАССЫ МИКРООРГАНИЗМОВ ПОЧВ

(Представлено академиком АН Азербайджанской ССР Г. А. Алиевым)

Одним из важных вопросов биоэнергетики является вскрытие закономерностей изменения соотношения энергии между различными компонентами биоценоза.

До последнего времени остается неизученной масса микроорганизмов в основных типах почв Азербайджана и ее биоэнергетическое значение в процессах синтеза гумусовых соединений. В области биоэнергетики освещены немногие ее элементы [4, 5, 9, 11].

При исследовании массы микроорганизмов микробиологи сталкивались с методическими трудностями как в определении общего числа всех микроорганизмов в почве, так и среднего веса микробных клеток.

Определение общего числа бактерий в почве проводили по методу прямого счета С. Н. Виноградского в упрощенной модификации О. Г. Шульгиной [8]. Исследования выполнены в свежих образцах (взяты 30 июня 1964 г.) основных типов почв Азербайджана, что позволило учесть общую микрофлору, т. е. как потенциальную в состоянии зародышей, так и активную. Для получения достоверных результатов прослеживались под микроскопом 100—150 полей зрения.

В горных черноземах и коричневых послелесных черноземовидных почвах степной и лесостепной зон насчитывается огромное количество (до 6940—7797 млн.) бактерий в одном грамме почвы, несколько уменьшается (до 5414 млн.) в каштановых почвах, сухих степей. В сероземных и луговых саванных почвах полупустынной зоны общее количество бактерий вновь возрастает до 6676—7241 млн. (табл. 1).

При определении биомассы микроорганизмов в почвах различные авторы установили довольно близкие величины средних размеров и веса микробов.

В своей ранее опубликованной работе Н. А. Красильников [6] принял живой вес массы 1 млрд. бактерий в 1 мг (при среднем размере кокков 1,2 μ). Отсюда сухой вес 1 млрд. бактерий составил 0,2 мг (принимая во внимание, что в живых клетках содержится 80% воды). Однако позднее Н. А. Красильников [7] опубликовал работу, в которой приводит несколько меньшие величины размера и

Таблица 1  
Микробная масса в основных типах почв Азербайджана  
(в 0—25 см слое абсолютно-сухой почвы)

Почва	Объем- ный вес почвы	Кол-во бак- терий по ме- тоду прямого подсчета, млн. 1 г почвы	Микробная масса (сухое ве- щество), г/м <sup>2</sup>			Микробная масса, % к гумусу
			бактерий	актиноми- цетов и грибов	всего	
Горная черно- земная	1,21	7797	235	15	250	0,9
Коричневая по- слесная	1,26	6940	219	14	233	1,1
Каштановая	1,27	5414	172	13	185	1,4
Сероземная	1,25	6676	208	21	229	3,5
Луговая сазовая	1,07	7241	194	18	212	1,3

веса микробных клеток. В этой работе показано, что представленные в преобладающем количестве кокковидные клетки имеют в среднем диаметр 0,6—0,7  $\mu$ , а живой вес 1 млрд. этих клеток составляет 0,6—0,7 мг.

И. В. Тюрин [12] находит целесообразным средний вес 1 млрд. бактериальных клеток в живом состоянии считать равным 0,2—0,3 мг. Эти данные являются, по нашему мнению, несколько заниженными, поскольку И. В. Тюрин учитывал микробную массу в почве, освобожденной от растительных (и животных) остатков.

С этими остатками, несомненно, удалялась довольно значительная часть микроорганизмов, имея в виду наиболее обильное их развитие в прикорневой зоне (ризосфере) и на полуразложившихся органических остатках.

Е. Н. Мишустин [9], учитывая дополнительные источники питания для микроорганизмов в виде продуктов распада гумуса, наличие автотрофных микробов, обогащающих почву легкодоступными органическими веществами, считает, что масса бактерий в почве примерно в два раза больше, чем это принято И. В. Тюриным.

Опираясь на исследования Е. Н. Мишустина [9], которые согласуются с данными А. Н. Красильникова [7] и подтверждаются сведениями о бактериальной массе, приведенными другими советскими [3, 13, 2] и зарубежными [14, 15] учеными, следует согласиться с тем, что средний живой вес 1 млрд. бактерий равен 0,5 мг (сухой вес составляет 0,1 мг).

Принимая во внимание средние веса микробов и учитывая количество бактерий в почве, мы подсчитали массу бактерий в верхнем слое исследуемых почв (табл. 1).

Наряду с бактериями в почве присутствуют другие группы организмов (грибы, актиномицеты и др.), массу которых Н. А. Красильников [6] расценивает в 5—10% от веса бактерий. Биомасса этих организмов определена нами с учетом изменения группового состава микрофлоры. Данные по биомассе микрофлоры мы рассматривали как приближенные, тем не менее они представляют определенный интерес.

Биомасса микроорганизмов достигает значительных величин (233—250 г на м<sup>2</sup>) в горных черноземных и коричневых послесенных черноземовидных почвах и по отношению к содержанию гумуса составляет 0,9—1,1%. В каштановых и сероземных почвах биомасса микроорганизмов несколько снижается (до 185—229 г/м<sup>2</sup>), но ее процент-

ное содержание в составе гумуса возрастает до 1,4—3,5%. Наличие в гумусе каштановых и особенно сероземных почв большого количества микробной плаэмы существенно влияет на энергетическую природу гумусовых соединений, что автором освещено в ранее опубликованной работе [1].

Учитывая количество микробной массы в почвах и показатели их удельных теплот сгорания, можем определить количество энергии, связанной в микробной массе исследуемых почв. В. О. Таусон [11] приводит следующие показатели удельной теплоты сгорания массы различных групп микроорганизмов (полученные путем их сжигания в калориметрической бомбе): для грибов—4900—5100 кал/г, актиномицетов—5700—5800 кал/г и бактерий—6200 кал/г.

В почвах Азербайджана в микробной массе аккумулировано большое количество энергии (табл. 2), достигающей наиболее значительных величин (до 1422—1536 ккал/м<sup>2</sup>) в горных черноземных и коричневых послесенных черноземовидных почвах, которые отличаются одновременно высокой продуктивностью растительного покрова и повышенной интенсивностью микробиологической деятельности. Значительное количество энергии аккумулировано в микробной массе сероземных почв. Относительно небольшое количество энергии связано в микробной массе каштановых и луговых сазовых почв.

Таблица 2  
Количество энергии (ккал/м<sup>2</sup>), связанной в микробной  
массе основных типов почв Азербайджана

Почва	Энергия, связанная в микробной массе		
	бактерий	актиноми- цетов	Всего
Горная черноземная	1457	79	1536
Коричневая послес- ная	1358	74	1432
Каштановая	1136	69	1205
Сероземная	1290	112	1402
Луговая сазовая	1203	93	1296

Эти данные о суммарном количестве энергии связанной в микробной массе, представляют большой научный интерес, несмотря на некоторую приближенность.

В дальнейшем наше внимание будет направлено на изучение закономерностей обмена энергии в микробиологических процессах.

#### ЛИТЕРАТУРА

- Алиев С. А. О энергетике процессов гумусообразования. ДАН Азерб. ССР. 1964; № 8. 2. Березова Е. Ф. Взаимоотношения растений с микрофлорой почвы. "Агробиология", 1953, № 5. 3. Буткевич В. С. О бактериальном населении Каспийского и Азовского морей. "Микробиология", 1938, т. 7. 4. Волобуев В. Р. Некоторые вопросы энергетики почвообразования. "Почвоведение", 1953, № 7. 5. Волобуев В. Р. Использование энергетических показателей в изучении динамики почвообразования. ДАН Азерб. ССР. 1959, № 2. 6. Красильников Н. А. Бактериальная масса почв. "Микробиология", 1944, т. 13. 7. Красильников Н. А. Микроорганизмы почвы и высшие растения. Изд. АН СССР, 1958. 8. Костычев С. П. Избранные труды по физиологии и биохимии микроорганизмов. Изд. АН СССР, 1956. 9. Мишустин Е. Н., Перцовская М. И. Микроорганизмы и самоочищение почвы. Изд. АН СССР, 1954. 10. Рыбалкина А. В. Взгляды и методы С. Н. Виноградского в области почвенной микробиологии и их дальнейшее развитие.

«Почвоведение», 1964, № 4. 11. Таусон В. О. Основные положения растительной биоэнергетики. Изд. АН СССР. М.—Л., 1950. 12. Тюрик И. В. О количественном участии живого вещества в составе органической части почвы. «Почвоведение», 1946, № 1. 13. Худяков Я. П. Современное состояние и задачи микробиологии почвы. «Микробиология», 1953, т. 23. 14. Kendall A. Bacteriology, General, Pathological and Intestinal. 15. Strugger S. Fluorescence microscope examination of bacteria in soil. «Canad. J. Res. sec. C.», 1948, v. 26.

Институт почвоведения и агрохимии

Поступило 15. VII 1964

С. Э. Элиев, М. А. Һачыјева

Торпагда микроорганизм күтләсінин енергетик  
көстәричиләри һағында

ХУЛАСЭ

Азәрбајчаның әсас торпаг типләрендә микроорганизм күтләси вә биоенергисинин һумус бирләшмәләринин синтезидә онун әһәмијәти илк дәфә оларға өјрәнилді.

Көтүрүлмүш тәзә торпаг нүмүнәләрнә микроорганизмләрин С. Н. Виноградов методу илә тәдгиг олунмасы бизә имкан берир ки, онларын үмуми саяны дахил олан потенциал (фәалийәтдә олмајан) вә актив (фәалийәтдә олан) микроорганизмләри тә'жин едәк.

Тәдгигат үчүн көтүрүлмүш торпаглардың микроорганизмләрин үмуми күтләси 1 млрд бактеријаның гуру чәкисинин орта несабла 0,1 млрд олмасына әсасен һесабланыштыр.

Дағ гарасында торпагында вә мешә алтындан чыхмыш гарантыйл гәһівәй тәдгигаттарда микроорганизм күтләсінин мигдары хејли артыг олуб (233—250 г кв.м), һумусун мигдарының 0,9—1,1%-ни тәшкил едир. Шабалыды, боз вә чәмән торпагларда микроорганизмләрин биокүтләсінин нисбәтән азалмасына баҳмајараг (185—229 г кв.м), һумусун тәркибинде онун мигдары 1,3—3,5% артыр.

Апарылан тәдгигаттар нәтичесинде мүәjjән едилмишdir ки, Азәрбајчан торпагларының микроорганизм күтләсіндә чохлу мигдарда енержи топланыр (1205-дән 1536 ккал/м<sup>2</sup>-ә گәдәр).

Тәдгигат нәтичесинде айдын олур ки, микроб күтләсіндә олан енержинин өјрәнилмәси әсас ве мараглы мәсәләләрдәндир.

АЗӘРБАЙЧАН ССР ЕЛМЛӘР АКАДЕМИЈАСЫНЫҢ МӘРҮЗӘЛӘРИ

ДОКЛАДЫ АКАДЕМИИ НАУК АЗЕРБАЙДЖАНСКОЙ ССР

ТОМ XXI

№ 9

1965

ПОЧВОВЕДЕНИЕ

М. Р. АБДУЕВ

ПЕРЕДВИЖЕНИЕ ПОДВЕШЕННОЙ ВЛАГИ ПРИ ИСПАРЕНИИ ИЗ СЕРО-БУРОЙ ПОЧВЫ ПОДГОРНОЙ РАВНИНЫ АЗЕРБАЙДЖАНА

(Представлено академиком АН Азербайджанской ССР В. Р. Болобуевым)

Процессы почвообразования в подгорных равнинах Азербайджана протекают в условиях отсутствия влияния капиллярной каймы грунтовых вод. В этих условиях основным источником почвенной влаги являются атмосферные осадки и образованные ими поверхностные воды или же делювиальные потоки. Здесь воды атмосферных осадков и делювиальных потоков, поступившие в почву, далеко не смыкаются с грунтовой водой, а находятся как бы в подвешенном состоянии. Поэтому для почв подгорных равнин Азербайджана характерно постоянное наличие, под верхним промоченным слоем, сухого слоя, мощность которого в зависимости от сезона года в значительной степени претерпевает изменение. В связи с тем, что в условиях подгорных равнин Азербайджана одним из главных факторов засоления почв являются воды делювиальных потоков, способствующие образованию в почвенноом профиле подвешенной влаги, следует иметь необходимое представление о передвижении этой формы влаги при испарении ее в атмосферу.

В отношении передвижения и испарения капиллярно-подвешенной воды в почве существуют две противоположные точки зрения. Широкие исследования по передвижению воды в почве провел А. Ф. Лебедев [11]. Лебедев и сторонники его точки зрения [10, 13, 17, 18] утверждают, что в условиях сухого климата почва, высыхая иссушается настолько, что в ней прекращается капиллярное поднятие воды к поверхности и тем самым исключается возможность испарения влаги из нее. По указанию некоторых зарубежных исследователей [20, 21] в условиях глубокого залегания грунтовых вод, последние не в состоянии подняться до поверхности почвы капиллярным путем, поэтому в этих условиях не может быть потерь влаги из почвы на испарение.

Одним из факторов, приводящих А. Ф. Лебедева [11] к категорическому отрицанию передвижения капиллярно-подвешенной воды, кроме физических законов явлений, было явление природное, заключающееся в отсутствии поверхностного засоления при достаточной засоленности глубоких горизонтов каштановых и черноземных почв, на которых после весеннего промачивания наступает период усиленного испарения.

Выяснению вопроса о передвижении капиллярно-подвешенной воды в почве посвящен ряд работ [4, 5, 6, 8, 9, 10, 12, 13, 14, 15, 16, 19], в которых на основании лабораторных и полевых экспериментальных исследований установлена возможность передвижения и испарения капиллярно-подвешенной воды и некоторые закономерности, управляющие этими явлениями.

Экспериментальными работами М. М. Абрамовой, А. Ф. Большаякова, Н. С. Орешкиной и А. А. Роде [6] установлено, что подвшенная влага в почве передвигается в основном в двух формах: в однородных (неслоистых) песчаных почвах и грунтах эта влага удерживается капиллярными силами в форме разобщенных стыковых скоплений свободной влаги и не передвигается при испарении в жидкой форме, а лишь постепенно испаряясь сверху, передвигается в высыхающем слое только в форме пара; в остальных случаях, т. е. в слоистых суглинистых и глинистых почвах и грунтах она способна к передвижению к поверхности испарения в жидкой форме. В зависимости от структурности и механического состава почво-грунтов описываются три случая передвижения подвешенной влаги в жидкой форме, которыми, как нам кажется, дается необходимое разъяснение возникшим по этому вопросу дискуссиям.

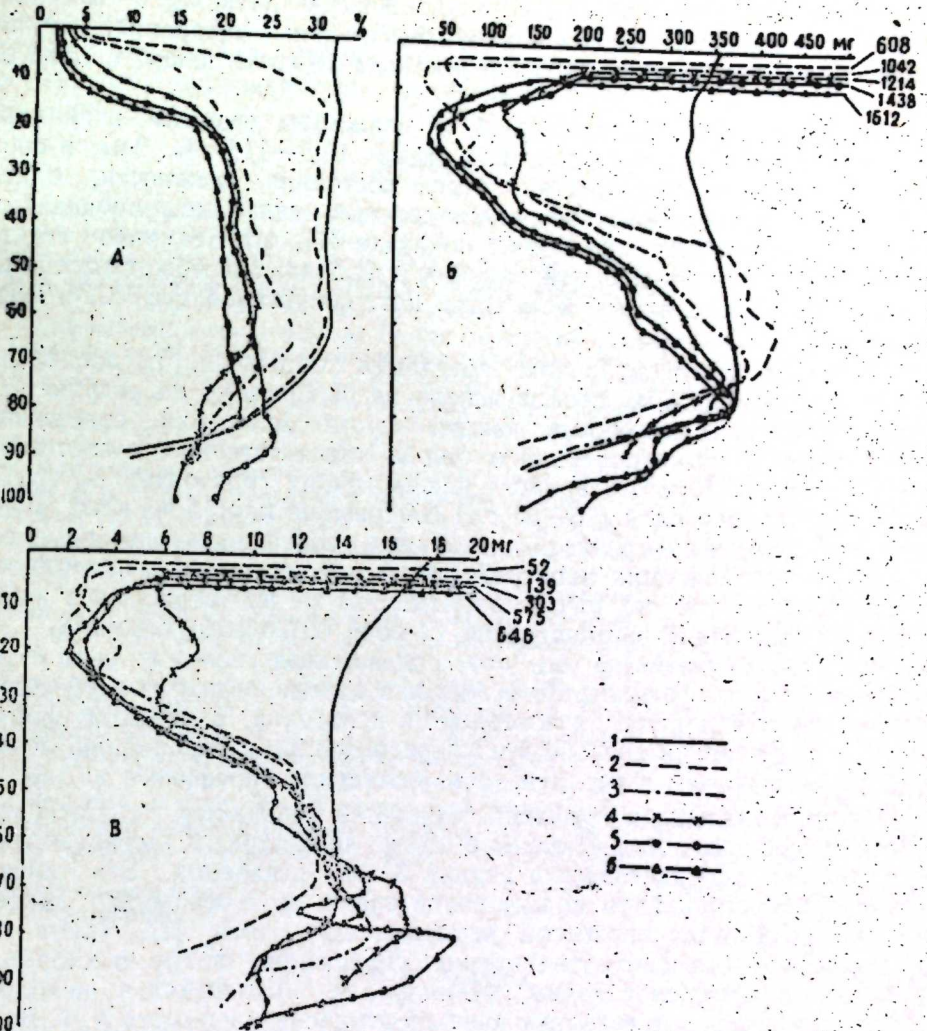
Переходя к обсуждению результатов наших экспериментов по изучению передвижения при испарении подвешенной влаги отметим, что основная задача этих опытов состояла в том, чтобы выявить зону испарения подвешенной влаги из почвы и роли ее в накоплении легкорастворимых солей в почвенном профиле. Опыты по изучению испарения подвешенной влаги проводились в лабораторных условиях\* по методике, описанной М. М. Абрамовой [4, 5]. Для опытов использовался верхний горизонт серо-буровой почвы с площадки 231 Кюровдагского массива, полная характеристика которого освещена в наших ранее опубликованных работах [1, 2].

При обсуждении результатов наших опытов по передвижению и испарению подвешенной влаги мы учитывали величину исходного запаса ее, установленного в цилиндре после полного стечения гравитационной влаги, что было достигнуто оставлением цилиндров после промачивания почвы на определенное время (18 суток). Установившаяся при этом влажность характеризуемой почвы по профилю почвенной колонки цилиндров колебалась в пределах 32,5—31,5 %, что в среднем составляет 32 %.

Таким образом, как видно из представленных графиков (A), передвижение и испарение влаги из смоченной толщи почвы в цилиндрах отмечается с момента начала иссушения. При этом в течение первых трех дней испарения содержание влаги в цилиндрах заметно уменьшилось. Резкое снижение влагосодержания отмечено в верхнем 15 см слое почвы, где почти 80—90 % запаса влаги передвинулось к испаряющейся поверхности цилиндра. В нижележащих горизонтах сравнительно меньшее количество влаги передвинулось к испаряющейся поверхности.

Следующий промежуток времени испарения (15 дней от начала опыта) показал существенное уменьшение запаса влаги в почвенной колонке цилиндра. Здесь колоссальное передвижение и испарение влаги наблюдалось по всей глубине цилиндра. Испарение в течение последующих 30, 45 и 60 дней вызвало дальнейшее уменьшение влажности также по всему увлажненному слою. Однако в течение этого

времени потеря влаги на испарение оказалось значительно меньше, причем в каждый промежуток времени потери влаги на испарение были почти одинаковыми.



Лабораторный опыт с испарением подвешенной влаги из серо-буровой почвы Кюровдагского массива. А — содержание влаги, % на 100 г сухой почвы; Б — содержание хлор-иона, мг на 100 г почвы; В — концентрации хлор-иона, мг. на 1 г влаги: 1 — без испарения; 2 — испарение 3 дня; 3 — 15 дней; 4 — 30 дней; 5 — 45 дней; 6 — 60 дней.

Обнаруженное развитие процесса иссушения сходно с тем, что наблюдалось для почвы аналогичного механического состава в исследованиях М. М. Абрамовой, А. Ф. Большаякова, Н. С. Орешкина, А. А. Роде [6]. Отличие было в том, что в опытах этих авторов значительная масса воды из всей смоченной толщи передвигалась кверху и испарялась в первый же промежуток времени (1 день) испарения, а в наших опытах — во второй промежуток времени (15 дней). В наших опытах мы не смогли достичь влажности, отвечающей состоянию разрыва капилляров, что, по-видимому, связано с относительно меньшей продолжительностью наших опытов (60 дней), хотя это состояние

\* Почвенно-мелиоративная лаборатория Института почвоведения и агрохимии АН Азерб. ССР, руководимая В. Р. Волобуевым.

влажности не было достигнуто также и в опыте вышеуказанных исследователей с тяжелым суглиником в большой промежуток времени (100 дней). В последнем случае обнаружена потеря глины из всей почвенной толщи с несколько убывающей скоростью. К тому же вплоть до 100 дней от начала опыта продолжалось нарастание мощности верхнего иссушенного слоя и углубление зоны испарения, глубина которой по прошествии 100 дней достигла 18 см (в наших опытах она составила 20 см).

В опытах М. М. Абрамовой [4, 5] влажность разрыва капилляров для легкого пылеватого суглиника равна 10,5—11,0 %. Мы в своих опытах, хотя не могли достичь этого состояния влажности, однако результаты исследования по водно-солевой динамике, проведенные нами на характеризуемой почве, показали [1], что величина эта для серо-буровой почвы подгорной равнины Азербайджана может колебаться примерно в пределах той величины, которая установлена М. М. Абрамовой.

Переходя к рассмотрению поведения хлор-иона, распределение которого после разных сроков испарения изображено на рисунке (Б), можно отметить, что после каждого срока испарения, содержание его в верхней части почвенного столба соответственно существенно увеличивалось. В то же время в нижележащих горизонтах до глубины промоченного слоя (75—80 см) содержание хлор-иона явно уменьшилось. При этом резкое уменьшение солесодержания отмечено в горизонтах, лежащих непосредственно под иссушенным поверхностным слоем вплоть до 40 см глубины. Это же подтверждается и данными по изменению концентрации Cl-иона (Б) опытных почвах.

Все это указывает на то, что подвешенная влага в серо-буровой почве подгорной равнины Азербайджана передвигается из всей содержащей ее толщи почвы к поверхности испарения в жидкой форме, что в свою очередь способствует передвижению и накоплению легкорастворимых солей в верхней части почвенного профиля.

Из представленных графиков становится очевидным, что основная масса хлор-иона, содержащаяся в почве цилиндра, к испаряющейся поверхности передвигалась в первые 3 дня испарения. Это связано не только с испарением подвешенной влаги, но в основном с конвекционно-диффузным процессом испытываемого иона [2]. Таким же путем можно объяснить увеличение содержания влаги и хлор-иона в нижнем сухом слое почвы цилиндра, не имеющих в исходном состоянии почвы. Аналогичные явления отмечены и в опытах А. Ф. Большакова [8], А. А. Роде [15], М. М. Абрамовой [4] и Д. И. Бурова [9].

Итак, из всего вышеприведенного становится вполне очевидным, что подвешенная влага, образующаяся за счет атмосферных осадков и делювиальных потоков, характерная для почв подгорных равнин Азербайджана, под влиянием поверхностного иссушения в состоянии подвергаться испарению и передвижению в жидкой форме, что в свою очередь способствует миграции легкорастворимых солей, накапливаемых в ранних стадиях почвообразования из глубинных горизонтов в верхнюю толщу почвенного профиля.

В этих условиях наличие относительно выщелоченных от солей верхних горизонтов почв подгорных равнин Азербайджана может быть объяснено тем же, чем объясняется аналогичное явление в черноземной почве Е. А. Афанасьевой [7]. В холодные периоды года, когда господствует низкое испарение влаги из почвы, в последней преобладает исходящий ток воды атмосферных осадков и делювиальных потоков, растворяющих и уносящих соли вглубь почвенного профиля.

В жаркие же периоды года начинается интенсивное испарение влаги с поверхности почвы, когда вместе с влагой к испаряющей поверхности по капиллярам устремляется ток легкорастворимых солей, течение которого прерывается в момент достижения влажности разрыва капилляров. Последнее при достаточной развитости корневой системы растений, которая характерна для наших почв [3], наступает значительно раньше, что ограничивает пределы поступления солей в верхний горизонт почвы.

## ЛИТЕРАТУРА

1. Абдуев М. Р. Азэрбајҹаның дүзәнлилік һиссәсінин делүвиал формада шорлашмыш торпаглары. Бакы, 1960.
2. Абдуев М. Р. Значение диффузии в миграции солей. Изв. АН Азерб. ССР, серия биол. и мед. наук. 1962, № 6. 3. Абдуев М. Р. Запасы растительной массы в Прикаспийской низменности Азербайджана. ДАН Азерб. ССР, 1963, т. 19, № 5. 4. Абрамова М. М. Опыты по изучению передвижения капиллярно-подвешенной влаги при испарении. «Почвоведение», 1948, № 1.
5. Абрамова М. М. Передвижение воды в почве при испарении. Труды Почв. ин-та АН СССР, т. 41, 1953.
6. Абрамова М. М., Большаков А. Ф., Орешкина Н. С., Роде А. А. Испарение из почвы подвешенной влаги. «Почвоведение», 1956, № 2. 7. Афанасьева Е. А. К вопросу о происхождении и эволюции черноземных почв. «Почвоведение», 1946, № 6. 8. Большаков А. Ф. О формах движения влаги в почвах степного типа. «Почвоведение», 1946, № 7. 9. Буров Д. И. Испарение воды парящей почвой и почвой под растительным покровом в условиях Заволжья. «Почвоведение», 1952, № 1. 10. Костиненко Г. И. О капиллярно-подвешенной воде в почвах и грунтах. «Почвоведение», 1951, № 9. 11. Лебедев А. Ф. Почвенные и грунтовые воды. М.—Л., 1936. 12. Летунов П. А., Музычук И. Ф., Лапшина А. Н. Передвижение солей с капиллярно-подвешенной водой. Сб. памяти Вильямса, М., 1952. 13. Лыков А. В. К теории миграции влаги внутри почвы. «Почвоведение», 1951, № 9. 14. Малинов А. П. Передвижение капиллярно-подвешенной воды в почве. Уч. зап. Сарат. гос. ун-та, т. XV, вып. 1, 1940.
15. Роде А. А. Водный режим почв богарной зоны Узбек. ССР. Сообщ. 1. Тр. Почв. ин-та им. Докучаева, т. XXV, 1947.
16. Роде А. А. Испарение из почвы подвешенной влаги. «Почвоведение», 1956, № 2. 17. Ротмистров В. Г. Сущность засухи по данным Одесского опытного поля. Одесса, 1913.
18. Соколов Н. С. Общее земледелие. Сельхозгиз, 1938.
19. Урусолов А. Н. Характер подсыхания почвенного профиля. «Почвоведение», 1936, № 1.
20. Veltmeyer F. J. Some factors affecting the irrigation requirements of deciduous orchards. Hilgardia, vol. 2, № 6, 1927.
21. Shaw Charles F. The normal moisture capacity of soils. Soil Sci. vol. XXIII № 4, 1927.

Институт почвоведения  
и агрохимии

Поступило 18. II 1964

М. Р. Абдуев

Азэрбајҹаның дағаттәжи дүзәнлигинин боз-гонур торпагларында асылы нәмлийн бухарланмада һәрәкәти

## ХҮЛАСӘ

Тәсвир олунаң саһәдә атмосфер яғынтылары торпага һопаркән дәриндә јерләшән грунт сularына чата билмәдиңдән, торпагда асылы вәзијәттә галыр. Белә нәмлийн торпагда һәрәкәти нағында бир-биринә зидд ики нәзәријә вардыр. Бә'зи тәдгигатчылары [10, 11, 13, 17, 18, 20, 21] фикринчә, гуру иглим шәрәитиндә торпагларын сәттүн чох гурдуғундан асылы нәмлийн капиллярлар васитәсилә јухары галхмасы мүмкүн олмур. Дикәр груп тәдгигатчылар [4, 5, 6, 8, 9, 12, 14, 15, 16, 19] исә тәчрүбәләр әсасында бунун эксини мүәјјен етмишләр.

Бизим апардығымыз тәчрүбәләр, шәкилдән көрүндүjү кими, иккичи фикрин асылы олдуғуны сүбүт едир.

АГРОХИМИЯ

Р. Г. ҮСЕЈНОВ, Э. Б. ГОЧАМАНОВ

МУҒАН-САЛЈАН ЗОНАСЫНЫН ӘСАС ТИП ТОРПАГЛАРЫНДА  
КАЛИУМУН МИГДАРЫ ВӘ ФОРМАЛАРЫ

(Азәрбајҹан ССР ЕА академики И. К. Абдуллајев тәэддим етмишdir)

Памбыг торпагда калиумун мигдарыны азалдан биткиләрдәндир. Д. Н. Прјанишников [4] чохиллик тәчрүбәләрин нәтичәләринә әсасла-нараг көстәрмишdir ки, памбыг торпагдакы калиуму фосфора вә бә'зен дә азота нисбәтән чох мәнимсәјир. Калиумун битки һәјатындакы әһәмийјәтли ролуну нәзәрә алараг, Муған-Салјан массивиндә вә еләчә дә республиканың дикәр әкинчилик зоналарында онун торпагдакы формаларынын вә мигдарынын өјрәнилмәси мәсәләси калиум күбрәләриин тәтбиғи илә әлагәдар олараг, бә'зи нәзәри вә тәчрүби ишләрин һәллинә имкан јарада биләр.

Мәңсүлдарлығын артырылмасы вә кејфијәтинин јахшылашдырылмасы мәгсәдилә памбыг биткисинә йүксәк дозалы азот вә фосфор күбрәләрилә бирликдә калиум күбрәләриин тәтбиғи едилмәси верилмиш күбрәләрин еффектлилијини даһа да артырмыш олур [2, 3, 4, 5].

Јахын кәләчәкдә республикамызда күлли мигдарда калиум күбрәси истеңсалына башланачагдыр ки, бу да онун кениш мигјасда тәтбиғинә имкан јарадачагдыш.

Билдијимиз кими, калиумун әсас мәнбәји торпагдыр. Д. Н. Прјанишников [4] калиумун торпагдакы формаларыны ашағыдакы кими көстәрмишdir: 1) торпаг мәңлүлүнүн калиуму; 2) торпаг удучу комплексин калиуму; 3) торпаг скелетинин калиуму; 4) торпагдакы үзви галыгларын калиуму.

Биткиләрин торпагдан мәнимсәјә биләчәји калиум бирләшмәләри дөрд группа айрылыр: суда һәлл оланлар, мүбадиләви удулан ионлар, мүбадилә олунмајан—фиксасија олунмуш ионлар вә асан пәрчаланан минераллар.

Калиумун торпагдакы мигдарынын башга гида элементләринә нисбәтән үстүнлүк тәшкіл етмәсini А. В. Петербурски [4] һәмин елемтин литосферада чох, јә'ни чәкисинә көрә 2,4, һәчминә көрә исә 2,14 % олмасы илә изаһ едир.

Торпагдакы суда һәлл олан калиум биткиләрин гидаланмасында иштирак едир, лакин бу, торпағын мәңсүлдарлығыны характеризә едә билмир. Бу вәзиғе торпагда әсасен мүбадиләви удулан калиумун үзәринә дүшүр. Бир чох муәллифләр көстәрирләр ки, калиумун бу фор-

масы торпағын онунда тә'мин олунмасы көстәричиси олуб, биткиләрин гидаланмасында бөյүк рол ојнајыр. Онун мигдары торпағын бә'зи хүсусијәтләриндә асылы олараг, торпагдакы үмуми калиумун 0—10 %-и арасында дәжишир.

Мүбадилә олунмајан калиум торпагда мүбадилә олунан калиумун мигдарынын низамланмасында бөйүк рол ојнајыр. Бу да, ез нөвбәсииндә, биткиләрин асан ѡолла калиум гидасы илә тә'мин олунмасына шәрант јарадыр.

Биткиләр јухарыда көстәрилән формалара нисбәтән торпағын минерал скелетинин тәркибинә дахил олан калиуму ән аз мәнимсәјирләр. Торпагда температурун дәжишмәси вә суда һәлл олан карбон туршуларынын тә'сирилә тәркибләриндә калиум олан минераллар калиумун аз бир һиссәсини торпаг мәңлүлүнә верирләр ки, бу да битки тәрәфиндән мәнимсәнилә билир.

Республикамызда памбыг биткиси алтына калиум күбрәләри тәтбиғи перспективләрини нәзәрә алараг, биз Муған-Салјан массивиндә кениш јајымыш боз-чәмән аз, орта вә йүксәк һумуслу, ибтидаи боз, чәмән-боз вә ибтидаи шабалыды торпаг типләриндә калиумун мигдары вә формаларыны өјрәнмәк мәгсәдилә хам вә мүхтәлиф кәнд тәсәррүфаты биткиләри алтында олан торпагларда тәдгигат апарыг. Бурала бизи ән чох марагландыран үмуми калиум торпағын аммониум хлор вә калсиум карбонат гарышығы илә јандырылмасы јолу, мүбадилә олунан калиум—Протасова көрә торпағын 0,2 Н аммониум карбонат мәңлүлү илә ишләнилмәси, суда һәлл олан калиум исә Александрова үсулу илә тә'жин олунду. Анализ заманы аловлу фотометрдән истифадә едилмишdir.

Бу торпагларда үмуми калиум йүксәк сәвијәдә олуб, әкин гатында 2,71—3,97 % арасында дәжишир. Уст гатлара нисбәтән ашағы дағру 1 м дәринлијә кетдикчә онун мигдары гисмән азалыр. Тәдгиг олунан торпаглар ичәрисинде үмуми калиум боз-чәмән аз һумуслу торпагларда нисбәтән аз—2,71 %, боз чәмән орта һумуслу торпагларда исә чохдур—3,97 %. Хам вә мүхтәлиф кәнд тәсәррүфаты биткиләри алтында олан саһәләрдә исә калиумун мигдары, демәк олар ки, ейнидир.

Мүбадилә олунан калиум үст әкин гатындан көтүрүлмүш торпагларын 100 грамында 37,9—78,3 мгр арасында дәжишир. Ашағы гатлара кетдикчә исә о, иләрә гәдәр азалыр. Мүбадилә олунан калиум ән чох (78,3 мгр) чәмән-боз торпаг типинин истифадәсиз хам торпаг саһәләриндә, ән аз исә (37,9 мгр) боз-чәмән орта һумуслу торпаг типинин памбыг алтындакы саһәләриндә мушаһидә олунур. Торпағын мәдениләшдирилмәси сәвијәсси мүбадилә олунан калиумун мигдарына тә'сири көстәрир. Белә ки, хам торпагларга нисбәтән бечәрилән саһәләрдә онун мигдары азалыр.

Тәдгиг едилән торпагларда суда һәлл олан калиумун мигдары чох аз олуб, әкин гатында изләрдән 14,4 мгр/100 гр торпагдан артыг олмур, профил үзәр исә ашағы гатлара кетдикчә даһа да азалыр. О, чәмән-боз вә боз-чәмән орта һумуслу торпаг типинин хам торпаг саһәләриндә ән чох—11,4—14,4 мгр, ән аз исә ибтидаи-боз торпаг типинин таҳыл бечәрилән саһәләриндә вә ибтидан-шабалыды торпагларында хам вә памбыг алтында олан саһәләриндә мушаһидә олунур. Хам торпагларга нисбәтән онун бечәрилән торпаглардакы мигдары тәхминән иккى дәфә аздыр ки, бу да һәмин саһәләрдә үзүн мүддәт калиум күбрәләри тәтбиғи едилмәмәсилә јанаши, калиума тәләбкар биткиләрин, хүсусән памбығын јетишдирилмәсилә әлагәдардыр.

Апарылмыш тәдгигатдан ашағыдакы нәтичәләри чыхармаг олар, 1) тәдгиг олунмуш торпагларда үмуми калиумун мигдары чох олуб,

2,71—3,97 % арасында дәжишир; 2) торпагларда үмуми калиумун чох олмасына баҳмајараг, онун мубадилә олунан формасы 24,3 %-дән артыг дејилдир; 3) суда һәлл олан калиумун мигдары изләрдән башла-јараг, ән әльверишли шәраитдә үмуми калиумун 4,4 %-дәк артыр.

## ӘДӘБИЙЛАТ

1. Петербургский А. В., Янишевский Ф. В. Формы калия в почве при многолетнем удобрении. „Изв. ТСХА“ 6, 1963. 2. Писемская В. А. „Азэрб. ССР-дә калиум күбрәләринин памбыг биткисинә верилмәси нағында“, АзКТИ-нин Хәбәрләри № 2 (12) 1948. 3. Протасов П. В. Применение калийных удобрений под хлопчатник. 1963. 4. Прянишников Д. Н. Избранные сочинения, т. I, III. М., 1952. 5. Харьков Д. В. Некоторые соображения о применении калия в хлопководстве с. х. № 5, 1961.

Торпагшұнаслыг вә Агрокимја  
Институту

Алынышдыр 24. IV 1962

Р. К. Гусейнов, А. Б. Годжаманов

## Формы и содержание калия на основных типах почв Мугано-Сальянской зоны

### РЕЗЮМЕ

Принимая во внимание перспективу применения в республике калийных удобрений под хлопчатниками, на основных типах почв Мугано-Сальянской зоны, проведены исследования для определения форм и содержания калия.

Были исследованы следующие типы целинных и находящихся под различными сельскохозяйственными культурами почв, наиболее характерные для Мугано-Сальянской степи: сероземно-луговые мало-, средне- и высокогумусные, лугово-сероземные, сероземы и каштановые примитивные.

В почве определялись валовой, обменный и воднорастворимый калий.

В результате исследований можно сделать следующие выводы.

1. Все исследуемые почвы характеризуются высоким содержанием валового калия, которое колеблется в пределах 2,71—3,97 %.

2. Несмотря на высокое содержание в почвах валового калия обменная его форма не превышает 24,3 %.

3. Содержание воднорастворимого калия, начиная от следов, доходит до 4,4 % валового содержания.

### РАДИОБИОЛОКИЯ

С. Һ. ҺУСЕЈНОВ

## ИОНЛАШДЫРЫЧЫ ШУАЛАРЫН ПАМБЫГ ВӘ ЛӘНКӘРАН ПАХЛАСЫ БИТКИЛӘРИНДӘ РАДИОАКТИВ КАЛСИУМУН ( $Ca^{45}$ ) ТОПЛАНМАСЫНА ВӘ ҺӘРӘКӘТИНӘ ТӘ'СИРИ

(Азәрбајҹан ССР ЕА академики Ч. М. Һүсәјнов тәгдим етмишидир)

Назырда әдәбијатда калсиумун битки организминде топланмасы вә һәрәкәтинә даир бир сыра нәтичәләр вардыр. Бир сыра мүәллифләр көстәриләр ки, калсиум битки организминде тәкrap истифадә просесинде иштирак етмир. Лакин бә'зи мүәллифләр көстәридиңе көрә, калсиум дахил олдуғу формадан асылы олараг, бу просесдә мүәллән рол ојнајыр.

Бундан әlavә, назырда шүаланманын битки организминде калсиум топланмасы вә һәрәкәтинә тә'сиринә даир һеч бир нәтичә жохур: Һалбуки әдәбијат мә'лumatларындан вә шәхси мушаһидәләримиздән айдын олмуштур ки, шүаланма биткиләрни дахили маддәләр мубадиләсими дәжишидиңдән бир сыра просесләрдә (фотосинтез, тә-иэффүс, ферментатив просесләр вә с.) чидди дәжишикликләр әмәлә кәтирир. Шубәсиз ки, бу چеврилмәләрлә әлагәдар олараг, шүаланманын тә'сириндән биткиләрни минерал маддәләрлә гидаланма габи-лијәти дә дәжишәчәкдир.

Бу мәсәләни айдынлашдырмаг үчүн радиоактив калсиумун ( $Ca^{45}$ ) изотопундан истифадә етдик. Тәчрубә векетасија еви шәраиттән, векетасија габларында апарылмышдыр. Бу мәгсәдлә Ләнкәран пахласы вә памбыг биткиси тохумлары сәпиндән габаг „ГУТС-400“ маркалы гурғуда 500, 1000 вә 5000 ренткен мигдарла шүаландырылыш вә 16 кг һәчми олан векетасија габларына сәпилмишидир. Векетасија әрзиндә торпағын су тутуму 60%-дә сахланылыш вә торпаға сәпиндән габаг һәр кг-а 100 мг  $P_2O_5$  верилмишидир.

Тәчрубә биткиләринә чичәкләнмәј гәдәр вә чичәкләнмә фазаларында торпағын һәр кг-на 10  $\mu$ Ci несабы илә мәһлүл шәклиндә  $Ca^{45}Cl_2$  верилмиш 24 вә 48 експозисијадан соң биткиләрни йарпагларынын мәртәбәләр үзрә радиоактивилиji „МСТ-17“ маркалы сајға часаситетисилә айдынлашдырылмышдыр.

1-чи чәдвәлдә Ләнкәран пахласы вә памбыг биткиләринде чичәкләнмәј гәдәр дөврдә 24, 48 saatlyg експозисија әрзиндә радиоактив калсиум топланмасы вә һәрәкәти көстәрилмишидир. Бурадан көрүнүр ки, 24 saatlyg експозисија әрзиндә  $Ca^{45}$  биткинин 1-чи вә 2-чи мәр-

тэбэ юрлагларында чох, 3, 4, 5, 6 вэ 7-чи мэргтэбэ юрлагларында нисбэтэн аз олмуш, 8, 9, 10-чу мэргтэбэлэрин юрлагларында исэ максимал гијмэтэ чатмышдыр. Демэли, калсиум өн чох биткинин чаван органларын топланыр.

1-чи чэд вэл

Чичэклэмэйэ гэдэр фазада Лэнкэрэн пахласында вэ памбыг биткисиндэ  $\text{Ca}^{45}$ -ин топланма вэ нэрэктинэ шүаланманын тэ'сир (24 саатлыг экспозиција) фон-15 и.м./дэг

Сыра №-си	Тэчрубэний варианты	Юрлагын мэргтэбэлэр (1 г гуру чекијэ керэ и.м./дэг)										Мэргтэбэ узэрэ орта
		1	2	3	4	5	6	7	8	9	10	
1	контрол	480	575	140	320	60	300	375	752	480	845	433
2	500 рент	700	452	441	252	640	521	669	821	826	1123	645
3	1000 рент	3525	640	5200	240	520	260	276	336	950	925	1263
4	5000 рент	372	400	512	185	342	255	666	712	1100	962	557

48 саатлыг экспозиција

Сыра №-си	Тэчрубэний варианты	Юрлагын мэргтэбэлэр (1 г чекијэ керэ и.м./дэг)										Мэргтэбэ узэрэ орта
		1	2	3	4	5	6	7	8	9	10	
1	контрол	361	364	540	182	440	630	420	444	720	320	445
2	500 рент	1500	441	1611	262	510	280	700	1000	724	736	776
3	1000 рент	900	720	321	211	482	352	300	311	444	—	560
4	5000 рент	320	421	240	281	511	562	1000	1040	1211	—	621

Памбыг

Сыра №-си	Вариантлар	24 саатлыг экспозиција			Мэргтэбэлэр үзэрэ орта	48 саатлыг экспозиција			Мэргтэбэлэр үзэрэ орта
		1	2	3		1	2	3	
1	контрол	875	552	611	679	425	300	424	383
2	500 рент	—562	726	876	721	542	423	442	469
3	1000 рент	451	844	1232	842	361	491	721	521
4	5000 рент	481	297	450	409	400	2800	640	613

Лэнкэрэн пахласы биткисинин ашафы вэ юхары чёркэ юрлагларында радиоактивлијин максимал мигдарда топланмасына 500, 1000 вэ 5000 ренткен доза илэ шүаланмыйш вариантларында тэсадуф едирик. Тэчрубэ көстэрир ки, бу экспозиција эрзинде шүаланманын тэ'сириндэн  $\text{Ca}^{45}$  Лэнкэрэн пахласында даха чох топланыр вэ онун нэрэктэй сүр'этлэнир. Лэнкэрэн пахласы биткисиндэ  $\text{Ca}^{45}$ -ин топланмасына вэ нэрэктинэ јахши тэ'сир көстэрэн мигдарын 1000 ренткен олдууны гејд итмэк олар. Тэчрубэ көстэришдир ки, бу вариантларын 1-чи мэргтэбэ юрлаглары мустэсна олмаг шэртилэ Лэнкэрэн пахласында максимал  $\text{Ca}^{45}$ -ин мигдарына юхары мэргтэбэни чаван юрлагларында раст кэлмэк олар.

Чичэклэмэйэ гэдэр фазада 48 саатлыг экспозиција эрзинде  $\text{Ca}^{45}$ -ин Лэнкэрэн пахласы вэ памбыг биткилэрдэ топланма вэ нэрэктэй дэ 1-чи чэдвэлдэ верилир. 1-чи чэдвэлдэн көрүнүр ки, бу экспозиција эрзинде Лэнкэрэн пахласында да максимал  $\text{Ca}^{45}$ -ин мигдарына юхары мэргтэбэдэ йерлэшэн юрлагларда тэсадуф едирил. Лакин нэмийн экспозиција эрзинде бэ'зи вариантларда  $\text{Ca}^{45}$ -ин үмуми мигдарынын азальма раст кэлирик. Бу да калсиумун дикэр органлара нэрэктэй илэ элагэдарьдир. Тэчрубэ көстэришдир ки, 48 саатлыг экспозиција эр-

зиндэ радиоактив калсиумун топланмасына тохумлары сэпиндэн габаг шүаландырмаг мусбэт тэ'сир көстэрир. Бу вахт памбыг биткисиндэ радиоактив калсиум биткилэрин эн чох юхары мэргтэбэдэ йерлэшэн юрлагларын топланыр. Тэчрубэ көстэришдир ки, памбыг биткисиндэ 48 саатлыг экспозиција эрзинде радиоактив калсиумун топланмасы дикэр экспозиција (24 с.) нисбэтэн кифајэт гэдэр азалыр ки, бу да памбыг биткисиндэ калсиумун даха чох тээрэр истифадэ просесиндэ иштирак итмэс илэ элагэдарьдир. Демэли, экспозиција вэ биткинин нэв хүсүсийжтингэн асылы олраг, радиоактив калсиум мухтэлиф мигдарда топланыр.

2-чи чэд вэл

Лэнкэрэн пахласы вэ памбыг биткилэринэ чичэклэмэ фазасында  $\text{Ca}^{45}$ -ин топланмасына вэ нэрэктинэ шүаланманын тэ'сир (24 саатлыг экспозиција) фон-15 и.м./дэг

Сыра №-си	Тэчрубэний варианты	Юрлагын мэргтэбэлэр (1 г чекијэ керэ и.м./дэг)										Мэргтэбэлэр үзэрэ орта
		1	2	3	4	5	6	7	8	9	10	
1	контрол	720	782	780	720	282	480	286	300	326	873	551
2	500 рент	3600	814	1841	744	800	211	850	1414	722	1302	1230
3	1000 рент	352	140	152	510	332	350	282	440	814	802	416
4	5000 рент	176	214	300	187	812	163	147	533	438	517	348

48 саатлыг экспозиција

Сыра №-си	Тэчрубэний варианты	Памбыг (24 саатлыг экспозиција)					Мэргтэбэлэр үзэрэ орта					
		1	2	3	4	5						
1	контрол	300	360	382	560	642	1340	962	872	—	—	677
2	500 рент	374	386	446	132	837	1142	1326	878	—	—	690
3	1000 рент	424	382	524	222	748	874	432	763	—	—	546
4	5000 рент	274	424	872	364	322	572	582	734	—	—	511

48 саатлыг экспозиција

Сыра №-си	Тэчрубэний варианты	Мэргтэбэлэр үзэрэ орта				
		1	2	3	4	5
1	контрол	842	376	542	533	600
2	500 рент	732	514	612	676	800
3	1000 рент	576	621	672	714	812
4	5000 рент	762	123	317	421	396

Чичэклэмэ фазасында радиоактив калсиумун 24 вэ 48 саатлыг экспозицијада биткилэрдэ топланма вэ нэрэктэй 2-чи чэдвэлдэ көстэрилир. 2-чи чэдвэлдэн көрүнүр ки, эксэр вариантларда бу экспозиција эрзинде радиокалсиумун биткилэрдэ топланма вэ нэрэктэй сүр'этлэнир. Бурада радиоактивлијин максимум мигдарына эн чох ашафы вэ юхары мэргтэбэ юрлагларда тэсадуф едирил. Артыг 24 саатлыг вэ юхары мэргтэбэ юрлагларда тэсадуф едирик. Артыг 48 саатлыг экспозиција эрзинде 1000 вэ 5000 ренткен вариантларда радиоактив калсиумун топланма интенсивлији орта гијмэт олраг азлыг тэшил

едир. Һалбуки 2-чи чәдвәлдән көрүндүү кими, памбыг биткисинде максимал топланма мигдары йенә дә јухары вариант. Јарпагларындан дыр вә бурада да радиоактив калсиумун топланмасына мәнфи тә'сир көстәрән вариантын 5000 рентген олдуғу мүәјжән едилмишdir. Демәли, шүаланма биткиләрин мұхтәлиф мәрһәләләрдә нөв хүсусијәттін дән асылы олараг радиоактив калсиумун топланмасы вә һәрәкәтинә мұхтәлиф тә'сир көстәрир. 48 саатлыг експозисија әрзинде шүаланманы радиоактив калсиумун топланмасы вә һәрәкәтинә тә'сириң даир тәдгигат көстәрди ки, бу експозисија әрзинде бә'зи вариантыларда (500 рентген)  $\text{Ca}^{45}$  24 саатлыг експозисија нисбәтән аз топланып. Һалбуки йенә дә  $\text{Ca}^{45}$  максимум топланмасына јухары мәртәбәнин Јарпагларында тәсадүф едирик.

Памбыг биткисинде аналоги олараг бу експозисијада  $\text{Ca}^{45}$ -ин топланмасына тәсадүф едириксә, демәли, топланма интенсивлиji 24 саатлыг експозисијадан зәйфdir. Бу да памбыг биткисинде  $\text{Ca}^{45}$ -ин Ләнкәран пахласына нисбәтән јенидән сүр'әтлә истифадә олунмасы вә һәрәкәти илә әлагәдардыр.  $\text{Ca}^{45}$ -ин топланма вә һәрәкәтинә даир ашадакы иәтичәләрдің демәк олар:

1.  $\text{Ca}^{45}$  эн соч биткиләрин чаван јарпагларына топланып. Топланма якән икинчи јери биткинин ашағы мәртәбә јарпаглары тутур.

2.  $\text{Ca}^{45}$ -ин топланма вә һәрәкәти интенсивлиji битки невүндән, вегетасија мүддәтиндән вә шүаланма интенсивлиjиндән асылдырып.

3. 24 саатлыг експозисија мүддәтиндә  $\text{Ca}^{45}$  Ләнкәран пахласы вә памбыг биткиләринде интенсив олараг топланыдырып һалда, 48 саатлыг експозисијада һәмин мигдар азалып ки, бу да  $\text{Ca}^{45}$ -ин һәрәкәти вә тәкrap истифадәси илә әлагәдардыр.

4. 500, 1000 вә 5000 рентген шүаланма чичәкләнмәjә гәдәр биткиләрдә  $\text{Ca}^{45}$ -ин топланмасына мусбәт тә'сир көстәрди һалда, чичәкләнмә фазасында Ләнкәран пахласында 1000 вә 5000 рентген, памбыгда исә 5000 рентген  $\text{Ca}^{45}$ -ин топланма вә һәрәкәтинә мәнфи тә'сир көстәрир.

АДУ,

Алынышдыр 10. IV 1964

С. Г. Гусейнов

### Влияние облучений на накопление и передвижение радиоактивного кальция ( $\text{Ca}^{45}$ ) у хлопчатника и Ленкоранских бобов

#### РЕЗЮМЕ

В литературе имеются противоречивые данные о накоплении и передвижении кальция. Некоторые исследователи утверждают, что кальций в растительном организме подвергается повторному использованию, в то время как другие авторы не согласны с этим мнением. Кроме того, вопрос о влиянии облучений на накопление и передвижение кальция в организме не подвергался исследованию.

Для выяснения этих вопросов нами применен изотопный метод, объектом исследований служили Ленкоранские бобы и хлопчатник. Семена этих растений облучались в установке ГУТС-400 в дозе 500; 1000 и 5000 рентген посевы в вегетационном сосуде объемом 16 кг почвы.

Влажность почвы задерживалась при 60% от полной влагоемкости почвы. В почву вносились  $\text{NaP}_2\text{O}_5$  из расчета 100 мг на 1 кг почвы, а также в фазе доцветения и цветения  $\text{Ca}^{45}$  10  $\mu\text{Ci}$  на 1 кг в виде  $\text{CaCl}_2$ . Нашиими опытами установлено следующее:

1. Радиоактивный  $\text{Ca}^{45}$  у всех изученных культур накапливается в более молодых листьях.
2. Радиоактивный  $\text{Ca}^{45}$  в организме подвергается повторному использованию.
3. Накопление  $\text{Ca}^{45}$  в фазе цветения больше, чем до цветения.
4. Облучение семян в дозе 500 и 1000 рентген оказывает положительное влияние на накопление и передвижение кальция; в дозе облучения 5000 рентген накопление кальция уменьшается.

ЗООЛОГИЯ

И. А. САДЫХОВ, Р. А. ТАРЖИМАНОВА

МАЛЫЙ ТУШКАНЧИК (*ALLACTAGA ELATER LICH.*) КАК  
НОВЫЙ ПРОМЕЖУТОЧНЫЙ ХОЗЯИН АЛЬВЕОККОКА

(Представлено академиком АН Азербайджанской ССР М. К. Ганиевым)

Вид ленточных червей *Alveococcus multilocularis* (Leuckart, 1863) Abuladze, 1959, как известно, был выделен из состава вида *Echinococcus granulosus* (Batsch, 1786) лишь после 1954 г., при этом признаки отличия обоих видов оказались настолько существенными, что вновь установленный вид (*Echinococcus multilocularis* (Leuckart, 1863) был переведен в новый род *Alveococcus* Abuladze, 1959, обоснованный для этого вида.

В СССР половозрелая форма *Alveococcus multilocularis*, по сводной работе А. М. Петрова [5], отмечена у лисиц, корсаков, волков и собак, а промежуточная стадия этого гельминта, по сводной работе Н. С. Гориной [2], в естественных условиях зарегистрирована у 22 видов грызунов (полевка экономка, пашенная полевка, большая пашенная полевка, северо-сибирская полевка, общественная полевка, узкочерепная полевка, большая узкочерепная полевка, красная полевка, ондатра, обский лемминг, слепушенок обыкновенный, степная пеструшка, водяная крыса, домовая мышь, полевая мышь, большая песчанка, обыкновенный хомяк, белка обыкновенная, длиннохвостый суслик, заяц, бобр речной, нутрия).

Территориально известно до сих пор распространение альвеококка у животных в Западной Сибири, Челябинской области, Омской области, Красноярском крае, Якутской АССР, Казахской ССР, Киргизской ССР, Таджикской ССР, Дагестанской АССР, в Азербайджанской ССР, Грузинской ССР, в Белорусской ССР.

Распространение *Alveococcus multilocularis* в закавказских республиках до 1960 г. было отмечено для Азербайджанской ССР по нахождению половозрелых альвеококков у одной лисицы, поступившей в Московский зоопарк из Закавказского зооцентра в гор. Кировабаде Петров [5]. Достоверность отнесения этой лисицы непосредственно к территории Азербайджана осталась невыясненной. Из соседних к Закавказью районов территории СССР альвеококк известен из Дагестанской АССР Никитин [4], где половозрелая стадия гельминта была найдена у лисиц и собак.

Учитывая большую практическую важность выявления распространения *Alveococcus multilocularis* и теоретическое значение изучения вопроса о видовой специфичности обоих видов эхинококков, лаборатория экологической паразитологии Института зоологии АН Азербайджанской ССР (руководитель — чл.-корр. АН Азербайджанской ССР, доктор биологических наук С. М. Асадов) проводила в 1961—1963 гг. исследования по изучению специфики эхинококков жвачных и других млекопитающих в Азербайджанской ССР, и в этих целях, помимо предпринятых лабораторией экспериментальных работ, проводились полевые исследования по выяснению *Alveococcus multilocularis* у диких хищных и грызунов в ряде районов на территории республики. Результаты этих исследований будут освещены в другой статье. Вскрытие лисиц, волков, шакалов и собак, а также других видов грызунов в центральном Азербайджане, на Малом Кавказе, в северо-восточной части республики (Куба-Хачмасский массив) пока что не выявило паразитирования у этих животных альвеококка.

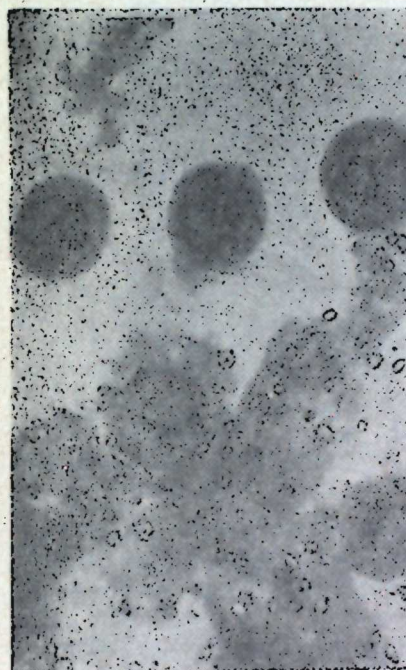


Рис. 1. Зародышевые сколексы *A. multilocularis* (Оригинал. Увеличено).

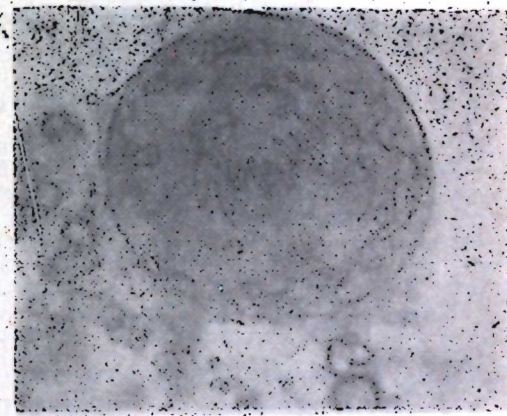


Рис. 2. Зародышевый сколекс *A. multilocularis* (Оригинал. Увеличено).

Б. Е. Курашвили [4], обнаруживший *A. multilocularis* в половозрелой стадии у степной лисицы, а в личиночной — у полевок в Грузинской ССР, наличие этого гельминта в соседней к Азербайджану Дагестанской АССР, а также сообщение проф. А. М. Петрова [6] о нахождении альвеококка в Московском зоопарке у лисицы, поступившей туда из Кировабадской базы Закавказского зооцентра, заставляют нас усилить поиски *A. multilocularis* на территории Азербайджана и в этих целях мы решили организовать просмотр материала по грызунам через Азербайджанскую противочумную станцию (директор М. Г. Ахундов), сотрудницей которого является один из авторов настоящего обобщения (Р. А. Тарджиманова).

При обработке материала от 1861 грызуна, принадлежавшего к 28 видам: соня полчок — 51, соня лесная — 10, горный тушканчик — 45, се-

рая крыса—141, малый тушканчик—14, черная крыса—10, александрийская крыса—6, домовая мышь—160, лесная мышь—246, закавказский хомяк—69, серый хомячок—83, краснохвостая песчанка—232, малоазийская песчанка—88, персидская песчанка—131, песчанка Виноградова—28, водяная полевка—90, общественная полевка—323, обыкновенная полевка—70, полевка Шелковникова—15, снежная полевка—26, водяная кутора—2, горная слепушонка—12, землеройка—9 и т. д. (по сбору Р. А. Таржимановой) из различных зон республики, личиночную стадию альвеококка удалось обнаружить в печени



Рис. 3. Вывернутый зародышевый сколекс *A. multilocularis* (Оригинал.. Увеличено).



Рис. 4. Большой зародышевый крючок (Оригинал. Увеличено).

только от павшего малого тушканчика (*Allactaga elater*), доставленного из Сабирабадского района (на юг в 7 км от сел. Моранлы). Пораженный участок печени состоял из многочисленных, очень мелких пузырей, плотно прилегающих друг к другу: на разрезе имел многокамерное альвеолярное строение. В каждой маленькой ячейке были обнаружены несколько десятков сколексов. Зародышевые сколексы почти круглые, но иногда имеют слегка удлиненную форму. Тело зародышевого сколекса, а также пузырей заполнено многочисленными мелкими различной формы образованиями в том или ином количестве. Сколексы вооружены двумя рядами крючьев в количестве 28—30.

Промеры зародышевых сколексов больших и малых крючьев приведим ниже.

Как видно из вышеприведенной таблицы, в результате изучения пузырей из печени от малого тушканчика выяснилось, что они по форме и по количеству крючьев зародышевых сколексов совпадают с данными о личинках альвеококка от грызунов, приводимыми другими авторами. Таким образом, обнаруженные от малого тушканчика пузыри принадлежат к *A. multilocularis*.

Нахождение личиночной стадии *A. multilocularis* у малого тушканчика дает нам основание считать последнего новым промежуточным хозяином для данного вида цestоды, и предполагать существование

Хозяева	По нашим исследован.		По Петрову и Чертковой, [6]	По Курашили 3
	Малый тушканчик	Грызуны		
Строение пузыря			многочисленные, очень мелкие пузыри, плотно-прилегающие друг к другу: на разрезе имеют многокамерное альвеолярное строение	
Размер зародышевых сколексов	0,124—0,135 x 0,113—0,124	0,172—0,184 0,118—0,131		
Количество крючьев	28—32	28—32, чаще 30	28—30	
Длина больших крючев		0,0270—0,028	0,028—0,029	0,026 м.м.
Длина маленьких крючев	0,0160—0,019	0,021—0,024		0,022 м.м.

половозрелых форм среди диких и домашних плотоядных, а также личиночной стадии у человека на территории Муганской степи. Это обстоятельство требует, с одной стороны, усиления поисков *A. multilocularis* у диких и домашних плотоядных, а личиночной стадии у человека и животных, с другой стороны, проведения соответствующих профилактических мероприятий в целях предохранения людей от заражения указанным гельминтом.

#### ЛИТЕРАТУРА

1. Абуладзе К. И. О видовом составе возбудителей эхинококков. Всесоюз. об-во гельминтологов ч. I, стр. 3—4. 1959.
2. Горина Н. С. О восприимчивости различных видов грызунов к эхинококку и альвеококку. Тез. докл. Научной конф. Всесоюз. общ-ва гельминтологов АН СССР. ч. I, стр. 42—43. 1962.
3. Курашили Б. Е. О роли полевок и закавказских степных лисиц в эпизоотологии и эпидемиологии восточной Грузии. Сообщ. АН Груз. ССР, т. XXVI, № 3, 1961.
4. Никитин В. Ф. О видовом составе эхинококков у собак и лисиц в Дагестане. Труды ВИГИС, т. VII, 1959.
5. Петров А. М. К обнаружению возбудителя альвеолярного эхинококкоза (*Echinococcus multilocularis*) у домашних и диких животных в СССР. Бюлл. науч.-технич. информ. Всесоюз. ин-та гельминтологии им. акад. К. И. Скрыбина, № 3. 1958.
6. Петров А. М., Черткова А. Н. Отличительные признаки однокамерного и альвеолярного эхинококков по личиночным и половозрелым формам. Труды Всесоюз. ин-та гельминтологии им. акад. К. И. Скрыбина, т. VII, 1959.

Институт зоологии

Поступало 28. I 1965

И. Э. Садыхов, Р. А. Тэржиманова

Кичик әрәбловшаны *Allactaga elater* Licht. алвеококкун јени аралыг саһибиdir

#### ХҮЛАСЭ

Мүэллифлэр лентшәкилли һеминтләрдән—*Alveococcus multilocularis* Leucart (1863), Абуладзе (1959) илк дәфә Азәрбајчанын Сабирабад раionунун Моранлы кәндидән 7 км чәнубда әрәбдовшанын гара чијәриндә сурфә һалында тапдыгларны көстәрилрәр.

Мәгаләдә һәмин сурфәнин тәсвири, бә’зи өлчүләри вә шәкилләри верилир. Беләлликлә, көстәрилән кәмиричи һәмин сестод учун јени аралыг саһиби тә’јин олунур.

Мүэллифлэр көстәрилрәк, бу һеминтин кәләчәкдә республика әразисиндә яјылмасынын вә инсанларын бу һеминтлә јолухмасынын гарышыны алмаг учун тибб вә бајтар ишчиләри тәрәфиндән мұвағиг тәдбиrlәр көрүлмәлиди.

МЕДИЦИНА

И. Т. АБАСОВ

ИЗМЕНЕНИЯ БЕЛКОВЫХ ФРАКЦИЙ СЫВОРОТКИ КРОВИ У  
БОЛЬНЫХ РАКОМ ПРЯМОЙ КИШКИ, ТОЛСТОГО КИШЕЧНИКА  
И ХРОНИЧЕСКОЙ ДИЗЕНТЕРИЕЙ

(Представлено академиком АН Азербайджанской ССР А. И. Каравеевым)

Белковые фракции сыворотки крови отражают состояние белкового обмена в организме и протеинобразовательной функции печени. Исследование сывороточных белков используется в клинике как один из прогностических или даже диагностических тестов. Литературные данные об изменениях протеинограммы при раке и воспалительных заболеваниях толстого кишечника скучные и неоднородные, к тому же авторы исследовали одну из групп больных. Antonini и Sodi при раке сigmoidной и прямой кишки наблюдали высокое содержание  $\alpha_2$ -глобулинов. Т. А. Кадошук у больных раком толстого кишечника отмечал нормальное содержание общего белка и значительное снижение альбуминов, максимальные величины которых были ниже минимальных величин, полученных у здоровых людей.

Нами исследованы белковые фракции сыворотки крови методом электрофореза на бумаге у 50 здоровых лиц, 31 больного раком прямой кишки и толстого кишечника и 8 больных хронической дизентерией. У здоровых лиц в возрасте от 37 до 65 лет были получены следующие данные ( $M \pm \sigma$ ): общий белок  $7,60 \pm 0,48$  г%, (колебания от 7,0 до 8,9 г%), альбумины  $57,31 \pm 7,31$  %,  $\alpha_1$ -глобулины  $3,19 \pm 0,93$  %,  $\alpha_2$ -глобулины  $7,78 \pm 2,48$  %,  $\beta$ -глобулины  $13,17 \pm 3,08$  %,  $\gamma$ -глобулины  $18,55 \pm 3,57$  %, альбумино-глобулиновый коэффициент  $1,41 \pm 0,41$ .

Больных раком прямой кишки было 26, слепой и восходящей части толстого кишечника—2, нисходящей и sigmoidной кишки—3 (всего 31 больной). Мужчин—15, женщин—16. До 30 лет—двоих больных, от 31 до 40—2, от 41 до 50—6, от 51 до 60—10, от 61 до 70 лет—8 и старше 70 лет—двоих больных. У всех больных диагноз рака подтвержден гистологическим исследованием. У некоторых больных опухоль прорастала в мочевой пузырь и влагалище, метастазировала в органы брюшной полости, а у трех больных обнаружены метастазы в печени.

Среди больных хронической дизентерией мужчин было 4, женщин—4. До 30 лет—2 больных, от 45 до 72 лет—6 больных. Больные предъявляли жалобы на боли в животе, тенезмы, стул с примесью слизи и крови и т. д. Продолжительность заболевания от нескольких

месяцев до нескольких лет, в течение которых периодически наступало обострение заболевания с указанными выше явлениями. У одной больной на почве хронической дизентерии образовался полипоз прямой кишки, у другой—воспалительный инфильтрат в области слепой кишки.

Общее количество сывороточных белков у больных раком колебалось от 6,55 до 9,35 г%, в среднем  $7,56 \pm 0,67$  г%. У одного больного наблюдалась гиперпротеинемия, у трех—гипопротеинемия, у остальных—нормальное содержание белков. У 7 больных хронической дизентерией уровень протеинов не отклонялся от нормы (7,0—8,5 г%), у одного имела место гипопротеинемия (6,1 г% белков).

Среднее содержание альбуминов у больных раком составляло  $47,63 \pm 5,73$  % с колебаниями от 35,9 до 60,0%. У 23 больных альбуминов было меньше 50%, а у 11 из них—меньше 45% (у двух ниже 40%). У 4 больных хронической дизентерией количество альбуминов превышало 50% (до 61,5%), у трех составляло 43—48%, а у одного—39,5%; в среднем—49,16%.

Если общее количество сывороточных белков у больных раком прямой кишки, толстого кишечника и хронической дизентерией обычно не отклоняется от нормы, то содержание альбуминов достоверно снижается ( $p < 0,01$  или 0,001), почти в одинаковой степени при обоих заболеваниях. В патогенезе гипоальбуминемии играют роль различные факторы: длительная потеря белков с испражнениями и с выделяющейся из кишечника кровью; нарушение альбуминообразовательной функции печени, о чем говорит наблюдавшееся нами у некоторых больных понижение и других функций печени (экскреторной, антитоксической, протромбинообразовательной), расход альбумина для синтеза и обмена раковой ткани; нарушение питания; возможно, ускоренный распад альбумина, что доказано при некоторых воспитательных заболеваниях. У больных раком уровень  $\alpha_1$ -глобулинов колебался от 3,4 до 7,5%, в среднем  $4,79 \pm 1,08$  %, а у больных дизентерией—от 2,8 до 7,6%, в среднем  $4,90 \pm 1,67$  %. Средние величины  $\alpha_2$ -глобулинов у больных раком толстого кишечника и дизентерией составляли соответственно  $11,02 \pm 1,85$  % (от 7,6 до 15,5%) и  $12,35 \pm 2,82$  % (от 8,8 до 16,3%).

Фракции  $\alpha_1$ - и  $\alpha_2$ -глобулинов у больных раком толстого кишечника и прямой кишки были повышены по сравнению со здоровыми людьми ( $p < 0,001$ ) и почти не отличались от таковых у больных хронической дизентерией. Повышение  $\alpha_2$ -глобулинов связано с увеличением в крови мукопротеинов (гаптоглобина). Содержание  $\beta$ -глобулинов у больных раком толстого кишечника и хронической дизентерией было в пределах нормы ( $p > 0,2$ ), у первой группы больных средняя величина этой фракции равнялась  $12,54 \pm 1,81$  %, а у второй— $14,04 \pm 2,63$  %.

Концентрация  $\gamma$ -глобулинов у больных раком варьировала от 13,6 до 31,7%, в среднем  $24,02 \pm 3,66$  %, а у больных дизентерией—от 15,0 до 25,1%, в среднем  $19,55 \pm 3,75$  %. Содержание  $\gamma$ -глобулинов у больных раком толстого кишечника превышало содержание этой фракции не только у здоровых людей, но и у больных хронической дизентерией ( $p < 0,001$ ). Остальные фракции сывороточных белков, как и их общее количество, при этих заболеваниях не отличались друг от друга. Альбумино-глобулиновый коэффициент у больных раком в среднем равнялся  $0,95 \pm 0,24$ , а у больных дизентерией— $1,00 \pm 0,30$ .

Картина сывороточных белков хорошо отражала состояние больных и динамику заболевания. Приведем примеры. Больной Н., 49 лет, рак прямой кишки, прорастающий в соседние органы, распад

опухоли с гнойными выделениями. Общий белок 7,85 г%, альбумины 42,2%, глобулины:  $\alpha_1$ —6,2%,  $\alpha_2$ —14,0%,  $\beta$ —14,4%,  $\gamma$ —23,2%; А/Г коэффициент 0,73. Проба Квика-Пытеля 61,7%.

Больная К., 53 года, рак прямой кишки II стадии, хорошее общее состояние. Проба на синтез гиппуровой кислоты—92,6%. Бромсульфалениновая проба (проба на экскреторную функцию печени)—через 45 мин в крови осталось 3,5% введенного препарата (норма).

Общий белок 7,2 г%, альбумины 60,02%, глобулины:  $\alpha_1$ —3,37%,  $\alpha_2$ —8,54%,  $\beta$ —9,53%,  $\gamma$ —18,54; альбумино-глобулиновый коэффициент 1,50. 3 X. 1961 г. операция—брюшно-промежностная экстирпация прямой и части сигмовидной кишок. Гистологическое исследование опухоли: плоскоклеточный слабоороговевающий рак.

После операции через 8 суток. Общий белок 7,42 г%, альбумины 49,3%, глобулины:  $\alpha_1$ —5,2%,  $\alpha_2$ —12,9%,  $\beta$ —12,0%,  $\gamma$ —20,6%; альбумино-глобулиновый коэффициент 0,97. Через месяц. Общий белок 7,42 г%, альбумины 55,7%, глобулины:  $\alpha_1$ —3,6%,  $\alpha_2$ —9,2%,  $\beta$ —11,8%,  $\gamma$ —19,7%; альбумино-глобулиновый коэффициент 1,26.

Таким образом, у больной с нормальными функциональными пробами печени и нормальным составом белков сыворотки через 8 суток после операции снизилось содержание альбуминов, повысилось содержание  $\alpha_1$ - и  $\alpha_2$ -глобулинов, отмечалась тенденция к нарастанию и других глобулиновых фракций. Через месяц после операции белковая формула крови нормализовалась.

Больной К., 60 лет, хроническая дизентерия, тяжелое общее состояние, стул со слизью и кровью, отсутствие аппетита, исхудание. Тщательное гистологическое исследование позволило отвергнуть существовавшее подозрение на бластому прямой кишки. Общий белок 6,12 г%, альбумины 39,5%, глобулины:  $\alpha_1$ —7,6%,  $\alpha_2$ —16,3%,  $\beta$ —18,5%,  $\gamma$ —18,1.

Белковые фракции сыворотки крови у данного больного не отличались от таковых у тяжелых больных раком.

Таким образом, белковая формула крови является одним из показателей функционального состояния печени и тяжести заболевания, диагностического же значения при указанных заболеваниях кишечника она не имеет.

Институт рентгенологии, радиологии  
и онкологии

Поступило 1. IV 1964

И. Т. Абасов

Дүз вэ юғун бағырсаг хәрчәнки вэ хроники исчал хәстәликләриңе тутулмуш хәстәләрдә ган зәрдабы зұлалы фраксијаларын дәжишилмәсі

ХУЛАСӘ

Мүәллиф 50 нәфәр сағлам, 31 нәфәр бағырсаг хәрчәнки вэ 8 нәфәр исчал хәстәлиji олан хәстәни тәдгиг етмишdir.

Һәмин хәстәликләр заманы зұлалларын үмуми мигдары нормадан фәргләнми्र,  $\alpha_1$ - вә  $\alpha_2$ -глобулиnlәrin мигдары хејли артыр; хәрчәнкли хәстәләрдә һәмчинин  $\gamma$ -глобулиnlәrin мигдары чохалыр. Зәрдаблы зұлалларын тәдгиги прогностик әһәмиjjәтә маликдир. Бу хәстәлиjин динамикасыны вә мұаличә тәдбиrlәринин эффективлиjини жахшы экстидирир.

ИСТОРИЯ КУЛЬТУРЫ

И. И. РЗАЕВ

ЭЛЕМЕНТЫ ДРЕВНЕТЮРКСКОЙ КУЛЬТУРЫ НА ТЕРРИТОРИИ  
КАВКАЗСКОЙ АЛБАНИИ

(Представлено академиком АН Азербайджанской ССР М. А. Усейновым)

Разрешение проблемы этногенеза азербайджанского народа нуждается в рассмотрении ряда вопросов, которые могут освещаться благодаря археологическим, этнографическим и лингвистическим данным.

Обнаружение рунической письменности древних тюрков в мингечаурском памятнике<sup>1</sup> усилило интерес к ранее выявленным фактам, доказывающим ее распространение в Кавказской Албании.

В Конце XIX в. арх. Сумбатян<sup>2</sup>, ища албанский алфавит на северной стене Дербента, обнаружил с внешней стороны надпись с десятью знаками (рис. 1), которые считал схожими „с месроповскими заглавными буквами, но не армянскими“<sup>3</sup>. Здесь справа 3-й (b), 4-й (z) и 5-й (p) знаки относятся к руническому алфавиту древних тюрков и соответствуют следующим русским буквам: б, з, п.

В рассматриваемой надписи два рунических знака имеют своеобразные черты: 3-й знак справа имеет спущенный вниз вертикальный хвостик, который отсутствует в идентичных енисейских знаках. Подобная оригинальность замечается и в 4-м знаке (z) с 4 вертикальными палочками. Идентичный знак обнаружен в известной таласской палочке<sup>4</sup> в горизонтальном положении с 8 горизонтальными палочками. Но найдены однотипные рунические „лесенки“ и с 3 горизонтальными палочками<sup>5</sup>.



Рис. 1.

<sup>1</sup> Н. И. Рзаев. Новые наблюдения в эпиграфике Кавказской Албании. Изв. АН Азерб. ССР, серия общесв. наук, 1964. № 1.

<sup>2</sup> Сумбатян. Описание древностей шемахинской епархии. Тифлис, 1896, стр. 248.

<sup>3</sup> А. П. Фитури. История последней столицы Ширвана. Азәрбајҹан асарәтико, сәнэт вә тәбиэтини мұнағизә комитетиниң әхбари. Бакы, 1927, сән.. 93.

<sup>4</sup> С. В. Киселев. Письменность енисейских киргизов. КСИИМК, 1949, вып. XXV, рис. 9.

<sup>5</sup> Там же, стр. 40.

Эти знаки оказались рядом с буквами, напоминающими албанские, что намекает на их датировку VI—VII вв. Известно, что в это время восточные тюркские племена в трудных для них исторических условиях дошли и до Темир-Капыга (Дербента)<sup>6</sup>.

Нам кажется, что оригинальная форма двух рассматриваемых рунических знаков связана с местными особенностями этой руники и проявлялась в Азербайджане в особой исторической обстановке. Но из-за отсутствия необходимого фактического материала время для изучения этой проблемы пока не настало. Надо учесть и то обстоятельство, что рунические знаки древних тюрков в различных местах обнаруживаются с различными очертаниями. Поэтому своеобразие рунических знаков из Дербента неудивительно.

Надо отметить, что Шемахинский район очень богат подобными знаками, когда-то привлекавшими внимание исследователей Азербайджана<sup>8</sup>, считающих их тайными, условными знаками цыган. В этих надписях, оставленных на скалах и камнях, где не замечается албано-армянских букв, кроме рунических знаков древних тюрков, не трудно обнаружить тамги и рисунки условно-символического характера. Особенно бросаются в глаза тамги, имеющие очертания трезубца (рис. 2). Небезинтересен и тот факт, что трезубец является распространенной тамгой монет кушанских царей<sup>9</sup> Ферганы I в. н. э.

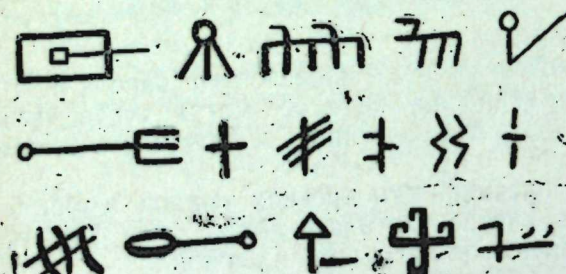


Рис. 2. Надпись из сел. Кырх-Булаг.

Имя села Шемахинского р-на Удулу (У-дулу) имеет большое сходство с именем древнетюркского племени Дулу, господствовавшего в составе "десятистрельного народа" в междуречье Чу-Или до 704 г.<sup>10</sup>

Здесь можно привести много фактов, подтверждающих рассматриваемый тезис. Для примера упомянем название районного центра Азербайджана—Уджар (Учар) и села Азы Нахичеванской Автономной республики, имеющие свои прототипы в р-не Семиречья Средней Азии, населенном древнетюркскими племенами в VI—VIII вв. Древние тюрки свое поселение называли Урджар<sup>11</sup> (Учар, У/р/чар). После 704 г. в указанных районах образовалось новое тюркское государство боевых племен Тюргешей<sup>12</sup>, одна ветвь которых называлась Азы<sup>13</sup>.

<sup>6</sup> С. Г. Кляшторный. Древнетюркские рунические памятники. М. 1964, стр. 21—23.

<sup>7</sup> С. В. Киселев. Упом. работа, стр. 38.

<sup>8</sup> А. П. Фитуни. История народных легенд о кладе Александра Македонского в Ширване. "Изв. общ. изуч. Азербайджана". 1927, № 4; И. И. Мещанинов. Загадочные знаки Причерноморья. "Изв. ГАИМК", 1933, вып. 62.

<sup>9</sup> М. Е. Массон. Происхождение безыменного царя царей—великого спасителя. Труды Среднеазиатского гос. ун-та. Археология Ср. Азии, кн. 3, вып. XI. Ташкент, 1950, илл. 6.

<sup>10</sup> С. В. Киселев. Упом. работа, стр. 36; А. Н. Бернштам. Труды Семиреченской археол. экспедиции. Матер. и иссл. по археологии СССР. М.—Л., 1950, № 14, стр. 74.

<sup>11</sup> А. Н. Бернштам. Там же, стр. 80.

<sup>12</sup> С. В. Киселев. Упом. работа, стр. 36.

<sup>13</sup> А. Н. Бернштам. Упом. работа, стр. 76.

В Нахичеванском крае имеются два села под названием Азы—Верхние Азы и Нижние Азы.

Изучение топонимики азербайджанских и среднеазиатских населенных пунктов сравнительным методом поможет и установлению направления движений, маршрутов древнетюркских племен в Закавказье.

Установление этимологии таких тюркских слов, как кур<sup>14</sup>, угур<sup>15</sup> и других также проливает свет на локализацию тюркоязычного населения на территории Кавказской Албании в I в.

Нам кажется, что этимология названия азербайджанского племени айрым связана с именем древнетюркского поселения<sup>16</sup> Памира (в Верхнем Таласе) Айри-Там (Айри-Дам). Не исключена возможность, что Айрими происходит из Айри-Тама и топонимика этого термина после незначительного изменения (Айри-+/да/м) определила современное название племени—Айрим. Не случайно, что их подземное жилье называется гара-дам.

В разрешении рассматриваемой проблемы большое значение имеют исследования Кемала Алиева, посвященные этногенезу племен Кавказской Албании. Он убедительно выявляет тюркское происхождение албанских базилевсов<sup>17</sup> I в. до н. э.—I в. н. э. В связи с этим также представляется интерес доклад<sup>18</sup> С. Б. Ашурбейли, в котором топонимика Ашурбейли связывается с именами "голубых тюрков", вселившихся в Кавказскую Албанию в VI—VII вв.

На территории Кавказской Албании, а также Нахичеванского края на старых кладбищах часто встречаем каменные фигуры баранов и лошадей. Нам кажется, что они являются пластическими образами тотемических представлений древнетюркских племен. В районе Памира на древних кладбищах киргизов встречены надетые на шеи головы баранов и конские хвосты<sup>19</sup>. Культ барана и лошади<sup>20</sup> имел огромное значение в эпохе бронзы. Кони нашли свое линейно-образное отражение и в петроглифах Гобыстана<sup>21</sup>. Каменные фигуры баранов обнаружены и на территории Южного Азербайджана, в Гейтепе<sup>22</sup>, которые относятся к X в. до н. э. На одной из этих фигур вырезаны концентрические круги, обозначающие солнечные диски. Пластический образ барана, являясь символом солнца<sup>23</sup> (благополучия), помогает определить его связь с эпохой бронзы, когда ярче, чем в других эпохах, культ солнца давал о себе знать. Культ барана и лошади проявил себя и позже, в зооморфной керамике Кавказской Албании<sup>24</sup> IV в. до н. э.—I в. н. э. и тюрков Чуйской долины<sup>25</sup> VIII в.

<sup>14</sup> Кемал Алиев. О названии реки Куры. "ДАН Азерб. ССР", т. XV, 1959, № 4.

<sup>15</sup> Мирали Сейдов. О слове "угур". "Изв. АН Азерб. ССР", серия обществ. наук, 1962, № 4 (на азерб. яз.).

<sup>16</sup> А. Н. Бернштам. Упом. работа, стр. 107.

<sup>17</sup> Кемал Алиев. Албаны-кочевники и базилевсы Зобер. "Изв. АН Азерб. ССР", серия обществ. наук, 1962, № 8; К. Г. Алиев. Древнее население Азербайджана по данным топонимики. Матер. сессии, посв. итогам археол. и этн. исследований 1964 г. в СССР. Баку, 1965, стр. 196.

<sup>18</sup> С. А. Ашурбейли. О топонимике Ашурбейли. Матер. сессии, посв. итогам археол. и этн. исследований 1964 г. в СССР, стр. 196—197.

<sup>19</sup> Валентина Бианки. Про "снежного человека". "Лит. худ. альманах". М. 1961, стр. 232.

<sup>20</sup> F. Hapsg. Ross und Reiter im Urgeschichtlichen Kaukasusjahrbuch für prähistorische und ethnographische Kunst B. I. 1935, Berlin und Leipzig, s. 49—65.

<sup>21</sup> И. М. Джабарзаде. Наскальные изображения Гобыстана. ТМИА, т. II. Баку, 1957, стр. 105 (на азерб. яз.).

<sup>22</sup> L. Vanden Berghe. Archéologie de l'Iran ancien. Leiden, 1959, стр. 118, табл. 148-е, рис. 4, 5.

<sup>23</sup> А. Н. Бернштам. Упом. работа, стр. 127.

<sup>24</sup> Н. И. Раев. Художественная керамика Кавказской Албании. Баку, 1964.

<sup>25</sup> А. Н. Бернштам. Упом. работа, стр. 90.

Интересен тот факт, что население средневекового Азербайджана, зная от своих предков культовое значение рассматриваемых фигур, продолжали почитать их как святые памятники. Подобный обычай перешел и на армянских обитателей азербайджанских сел. Жители Нахичеванского края с высоких гор, из древних кладбищ перевозили каменных баранов<sup>26</sup> и устанавливали их на могилах своих покойников в качестве надгробного памятника. В результате такого обряда на средневековых кладбищах Азербайджана появились каменные фигуры барана с азербайджанскими и армянскими текстами.



Рис. 3. Каменный баран из Нахичеванского края.

Рассматриваемые памятники широко распространены по отдельным районам Закавказья. По ним можно определить районы сосредоточения древнетюркских племен (рис. 3, 4).

Е. Г. Пчелина, не вникая в вопросы энтомогенеза населения Азербайджана, считает каменных баранов памятниками армянской культуры<sup>27</sup>, за что справедливо раскритикована в научной литературе<sup>28</sup>.

Нам кажется, что заселение древнетюркских племен территории Кавказской Албании началось в эпоху бронзы, если не раньше. Об этом говорят археологические памятники. Так, в курганах Чуйской долины захоронены древние тюрки вместе с лошадьми, в знак богатства<sup>29</sup>. Подобные захоронения в курганах Азербайджана<sup>30</sup>, как и в Чуйской долине, встречались и в раннем средневековье. Небызывестен тот факт, что рассмотренные курганы обоих краев построены одинаково по лучевой системе<sup>31</sup>.

<sup>26</sup> В. М. Сысоев. Нахичеванский край. „Изв. Азкомстариса“, вып. 4, тетрадь 2. Баку, 1929, стр. 186.

<sup>27</sup> Е. Г. Пчелина. Армянские памятники на территории Азербайджанской ССР. Гос. Эрм. Труды ОИК и иск. Востока, т. III, Л., 1940.

<sup>28</sup> С. Б. Ашурбейли. Скульптура Азербайджана древнего периода и периода средневековья. ТМИА, т. I, Баку, 1956, стр. 99.

<sup>29</sup> А. Н. Бериштам. Упом. работа, стр. 80.

<sup>30</sup> И. Я. Гуммель. Погребальный курган (№ 1) около Еленендорфа Азербайджанской ССР, Баку, 1931, стр. 12.

<sup>31</sup> А. Н. Бериштам. Упом. работа, стр. 68; Я. И. Гуммель. Археологические очерки. Баку, 1940, стр. 77.

Одним из признаков азербайджанских могильников тюркского происхождения является деформация черепов покойных, которую часто встречаем в погребениях Чуйской долины III в. до н. э.—II в. н. э., как известный этнический признак гуннов<sup>32</sup>. Аналогичная особенность захоронения трупов с деформированными черепами обнаружена как в катакомбных погребениях гуннов<sup>33</sup> в Чуйской долине, так и в катакомбных погребениях Мингечаура<sup>34</sup> I—VII вв. Не исключена возможность, что деформированные черепа, обнаруженные И. Я. Гуммелем в курганах Гянджайского р-на, также относятся к этой группе<sup>35</sup>. Отсюда надо сделать вывод о том, что в албанском лексиконе VII—VIII вв. не случайно обнаруживаются гуннские слова<sup>36</sup>.

Раскрашивание могильных камней курганов<sup>37</sup> красной краской и оставление в срубных (II—IV вв.) и катакомбных (IV—VII вв.) погребениях<sup>38</sup> красных тканей, более чем вероятно, было связано с поверием древних тюрков о неприкосновенности могил предков. У современных киргизов Памира (особенно у женщин) красный цвет как символ неприкосновенности<sup>39</sup>.

На территории Кавказской Албании как в катакомбных погребениях<sup>40</sup>, так и в более ранних могилах<sup>41</sup> (VIII—VI вв. до н. э.) найдены керамические сосуды с шишеками, обозначающими магическую неприкосновенность содержавшейся в кувшинах пищи. Подобные керамические сосуды первых веков н. э., обнаруженные в Чуйской долине (в Кенкольском могильнике) и изготавливавшиеся в Среднеазиатских республиках и в наше время, не утеряли еще свое магическое свойство<sup>42</sup>. Заселение ираноязычными племенами раннесредневекового Азербайджана, вероятно, стимулировалось также и переселением тюркоязычных кочевых племен из Средней Азии в Закавказье. Средняя Азия являлась ареной синкретизации культур<sup>43</sup> ираноязычных и тюркоязычных племен, особенно на рубеже VI—VIII вв. Куль-



Рис. 4. Каменный баран из Мильской степи.

<sup>32</sup> А. Н. Бериштам. Упом. работа, стр. 61.

<sup>33</sup> Там же стр. 68.

<sup>34</sup> Р. М. Касимова. Антропологические исследования черепов из Мингечаура. Баку, 1960, стр. 42—61.

<sup>35</sup> И. Я. Гуммель. Археологические очерки, стр. 115.

<sup>36</sup> Мирили Сейидов. Замечания об этимологии гуннского слова гуар (куар). Матер. СПИАЭИ 1964 г. в СССР, стр. 195.

<sup>37</sup> И. Я. Гуммель. Погребальный курган (№ 1), стр. 10.

<sup>38</sup> Обнаружено Г. М. Аслановым в срубных (№ 3, 1953 г.) и катакомбных (№ 44, 1949 г.) погребениях Мингечаура.

<sup>39</sup> Валентина Биани. Упом. работа, стр. 255.

<sup>40</sup> Г. М. Асланов. К изучению раннесредневековых памятников Мингечаура. КСИИМК, вып. 60, 1955, рис. 26—1.

<sup>41</sup> Д. А. Халилов. Могильник у села Казахбейли Казахского р-на. „Изв. АН Азерб. ССР“, серия обществ. наук, 1958, № 2.

<sup>42</sup> А. Н. Бериштам. Упом. работа, стр. 69.

<sup>43</sup> Там же, стр. 72—81.

турное сближение этих племен и их частые перемещения на запад под натиском более сильных этнических составов тюрков, допускает считать их совместное появление в Кавказской Албании закономерным, чему свидетельствуют такие археологические памятники<sup>44</sup> V—VIII вв. Мингечаура, как аташданы, которые напоминают подсвечники V—VIII вв. из Чуйской долины<sup>45</sup> и не находят аналогичных себе в масштабе Закавказья<sup>46</sup>.

Надо отметить, что господство хазарского хаганата над Кавказской Албанией<sup>47</sup> в VII—VIII вв. еще больше закрепило и расширило локализацию тюркской культуры в Азербайджане.

Таким образом, тюркские племена, заселявшие Азербайджан примерно с эпохи бронзы (X в. до н. э.) до VIII в., образовали основной этнический состав страны, идеология, этнография и искусство которой перекликаются с культурой других тюркских народов Советского Востока.

Институт архитектуры и искусства

Поступило 14. V 1965

Н. И. Рзаев

## Гафгаз Албанијасында гәдим түрк мәденијәтинин изләри

### ХУЛАСӘ.

Мәгаләдә Орта Асијанын Једдичај рајонунда јашамыш гәдим түрк-ләрин руны јазылары, јашаыш јерләри вә гәбиләләринин аллары, археоложи вә антропологи материаллары, этнографик адәт вә ән'әнәләри гәдим азәрбајчанлыларын ејни мәденијәтләри илә мугајисәли шәкилдә гарышылашдырылышы.

Мүәллиф сүбүт етмәјә чалышмышыр ки, түрк гәбиләләриндән олан һүнларын Азәрбајчана илк кәлиши тунч дөврүнә (е. әв. X әср) тәсадүф едир. Һүнларын деформасија едишлиш кәлләләринә Минкәчевирин I—VII әсрләрә аид олан катаомба гәбирләриндә дә раст кәлирик. Бу кәстәрир ки, түрк гәбиләләринин Азәрбајчана ахыны арды-арасы кәсилмәз бир шәкилдә олмушдур.

Мәгаләдә гәдим түрк гәбиләләринин Азәрбајчанда чох гәдим замандаң сакин олдуғуну кәстәрән лингвистик, топонимик, этнографик, археологи вә с. фактик мә'лumatlar да охучулара чатдырылып. Бундан әlavә, Азәрбајчан халгынын мәншәйинә даир бир сыра актуал мәсәләләр дә ирәли сүрүлүр.

Мәсәлән, ирандилли вә түркдилли халглардан һансынын Азәрбајчана илк дәфә кәлдири нагында әдәбијатда елми мубаһисә кетмәк дәdir. Бу мәсәлә илә әлагәдар олараг мүәллиф кәстәрир ки, ирандилли халгларын Азәрбајчана кәлмәсииң мүһум сәбәбләриндән бири дә гәдим түрк гәбиләләринин елликлә Азәрбајчана кечмәси олмушдур.

Н. В. МИНКЕВИЧ-МУСТАФАЕВА и А. В. РАГИМОВ

## ПЕРСТИ С ПЕЧАТАМИ ИЗ БАЙЛАКАНА

(Представлено академиком АН Азербайджанской ССР А. С. Сумбатзаде)

В работах по истории и культуре азербайджанского народа очень мало места уделялось сграфитике, хотя при раскопках средневековых городищ были обнаружены печати, вырезанные на камнях или металле. За исключением статьи Е. А. Пахомова других публикаций в этой области пока нет<sup>1</sup>. Авторы данной работы ставили себе задачу рассмотреть несколько печатей из средневекового города Байлакана. Во время раскопок здесь неоднократно были обнаружены металлические украшения, в том числе и перстни, изготавливавшиеся по большей части из бронзы.

Щитки перстней были разнообразной формы: овальной, четырехугольной, шестиугольной и др. Наше внимание привлекли находки, обнаруженные в ремесленном квартале на юго-западной окраине города и около жилищ на северо-восточной крепостной стене.

При расчистке кладки одной из башен был обнаружен бронзовый перстень с овальным щитком (№ 3013)<sup>2</sup>, на котором изображена птица с распростертыми крыльями. Голова птицы показана тремя черточками, тело — двумя параллельными линиями, хвост — короткими линиями, отходящими наклонно и попарно по обе стороны от тела. Длинная линия, пересекающая последнее и отходящие от нее слева пять, справа четыре коротких штриха изображают распространенные крылья. Нанесенный путем гравировки рисунок очень схематичный (рис. 1). Подобный перстень мог служить личной печатью.

Рядом с башней, где найден перстень № 3013, были обнаружены жилища. В одном из них обитал ювелир<sup>3</sup> и перстень мог быть либо его изделием и печатью, либо был изготовлен им для других обитателей города. Жилища, датированные глазуренной керамикой и монетами ильдегизидов XII—нач. XIII вв. были разрушены в 1221 г. во время взятия монголами Байлакана. В жилищах сохранились следы большого пожара. Керамическая посуда была оставлена на своих



Рис. 1.

<sup>1</sup> Е. А. Пахомов. Доисламские печати и резные камни Музея истории Азербайджана. Материальная культура Азербайджана, I, Баку, 1940, стр. 104—110.

<sup>2</sup> Н. В. Минкевич-Мустафаева. Раскопки на городской стене Оренкала в 1953—1954 гг. МИА, № 67, М—Л., 1959, стр. 152, 155, рис. 10, 1.

<sup>3</sup> Н. В. Минкевич-Мустафаева. Изучение ремесленного квартала Байлакана. „Изв. АН Азерб. ССР“, № 3, 1959, стр. 17, 18, рис. 3, 4.

<sup>44</sup> Р. М. Вандов. Мингечаур в III—VIII веках. Баку, 1961, стр. 139—146, табл. VIII (на азерб. яз.).

<sup>45</sup> А. Н. Бериштам. Упом. работа, стр. 115 табл. V.

<sup>46</sup> Р. М. Вандов. Упом. работа, стр. 153.

<sup>47</sup> З. М. Буниятов. О длительности пребывания хазар в Албании в VII—VIII вв. „Изв. АН Азерб. ССР“, серия обществ. наук, 1961, № 1.

местах, один из котлов был обнаружен, стоящим на очаге около жилища.

На юго-западной окраине города в рабаде (торгово-ремесленном квартале) выявлен сложный комплекс производственных сооружений XII—XIII вв., объединяющий большую группу взаимосвязанных бассейнов, чанов и водоводов. В одном из бассейнов в 1963 г. был найден четырехугольный щиток от бронзового перстня (№ 178). Диаметр перстня, от которого сохранились лишь небольшие части по обе стороны щитка, был, вероятно, около 2,5 см и, судя по размерам, принадлежал мужчине. На щитке имеется обрамление в виде линий, неаккуратно нанесенных по краям на четырех сторонах. Длина щитка—1,5 см, ширина—1,3 см, толщина—0,15 см (рис. 2). В сере-

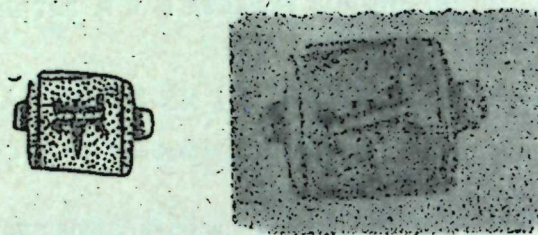


Рис. 2.

дине несколько наклонно расположены две строки надписи арабскими буквами. При чтении надписи печать приходится поворачивать вверх и вниз. В одной строке читается **الله** Аллах, в другой **محمد** Мухаммед. Надпись, видимо, сначала пытались наносить тонкими линиями, а затем пришлось их утолстить, в результате часть букв почти слилась, вследствие чего надпись плохо читается.

Имя на печати могло быть именем ее владельца Мухаммеда. Печати с аналогичными надписями встречаются даже в XIX в. Владельцы, заказывая печати, требовали, чтобы кроме их имени было отмечено, что он раб божий такой-то. Этим можно объяснить наличие слова Аллах в рассматриваемой печати.

Но можно, однако, толковать имена Аллаха и Мухаммеда несколько иначе. Начертание этих имен иногда делалось с целью снискать благословение бога и его пророка, чтобы исполнить успешно намеченное. В таком случае печать не именная, а представляет своего рода оберег.

Почерк на печати—стилизованный куфи и может датироваться XII—XIII вв.

Описанные перстни, найденные около жилищ ремесленников и в рабаде, дают данные о личных печатях жителей города Байлакана в XII—XIII вв. Таким образом, не только расширяются представления о средневековой сфрагистике, но и удается при помощи этой науки осветить некоторые мало исследованные вопросы истории и культуры азербайджанского народа.

Институт истории

Поступило 12. VI 1964

Н. В. Минкевич-Мустафаева, А. В. Рэнимов

Бәјлагандан тапылмыш үзүк-мөһүрләр

#### ХУЛАСӘ

Археологи газынтылар заманы Өрәнгала шәһәр јериндән, орта әср шәһәри Бәјлагандан бир нечә үзүк-мөһүрләр тапылмышдыр. Көниә шәһәр галасы әтрафында сәнәткарлара мәхсус җашаыш евләринин яхынылығындан ашкара чыхарылмыш үзүк (инв. № 3013) үзәриндә гуштәсвири вардыр. Йәгин ки, бу үзүк хүсуси мөһүр ролу ојнамышдыр. Бәјлаган шәһәр јеринин чәнуб-тәргибәсәсиндә сәнәткарлар мәһәлләсинә дахил олан истенсалат комплексиндән тапылмыш башга бир үзүк-мөһүр (инв. № 178) үзәриндә исә „Аллаһ, Мәһәммәд“ сөзләри һәкк олунмушудур. Бу үзүүни дини мә'на дашидығыны вә һәмайил кими ишләдилди куман едилир.

Һагтында данышдырымыз үзүк-мөһүрләrin тарихини һәмин јерин мәдәни тәбәгәсийндин ашкара чыхарылмыш бу дөврә хас олан ширли габлар вә Елдәкиз сиккәләри әсасында XII—XIII әсрләрә aid етмәк мүмкүндүр.

## Стратиграфия

О. Б. Элиев. Кичик Гафгазда Конак чекүнтулоринин тапылмасына даир материаллар (Азэрбајҹан)	51
Х. М. Шедадејевә - Гулијева, Т. Гадијева. Бибиңбәт кәсилишиндөки Абшерон лај дәстәсинин литоложиси вә микрофаунасы	55

## Торпаг микробиолокијасы

С. Э. Элиев, М. А. Начыјева. Торпагда микро-организм күтләсинин спектическі көстәричиләри һагында	59
---	----

## Торпагшүнаслыг

М. Р. Абдуев. Азэрбајҹаниның дағаттәжи дүзәнијинин боз-гонур торпагларында асылы нәмлийн бухарланма һәрәкәти	63
--	----

## Агрокимја

Р. Г. Һусеинов, Э. Б. Гочаманов. Муган-Салян зонасының әсас тип торпагларында калиум мигдары вә формалары	68
---	----

## Радиобиолокија

С. Һ. Һусеинов. Ионлашдырычы шуаларын памбыг вә Ләнкәран пахласы биткиләринде радиобактив калсиумун ( $Ca^{45}$ ) топланмасына вә һәрәкәтинә тә'сирі	71
--	----

## Зоологија

И. Э. Садыхов, Р. А. Таржиманова. Кичик әрәбдовшаны <i>Allactaga Elatér bıschit</i> алвеококкун яени аралыг саһибидир	76
---	----

## Тибб

И. Т. Абасов. Дүз вә јофун бағырсағ хәрчәнки вә хроники исчал хәстәникләrinde тутулмуш хәстәләрдә ган зәрдабы зұлалы фраксијаларын дәжишилмәси	80
--	----

## Мәдәнијет тарихи

Н. И. Рзаев. Гафгaz Албанијасында гәдим түрк мәдәнијәтинин изләри	83
---	----

## Археологија

Н. В. Минкевич-Мустафајева, А. В. Рәнимов. Бәјлагандан тапылмыш үзүк-мәһүрләр	89
---	----

## МҮНДӘРИЧАТ

### Ријазијјат

Ф. Д. Теймурев. Мұғавиметли мұнитдәки телә енинә зәрбә	3
Р. А. Васин, А. Б. Ибраһимов. Анизотроплуг деформасијасы матрицинин формасы һагында	8

### Техники физика

Ч. М. Чуварлы, Ж. В. Дмитриев. Мурәккәб электрик шәбәкәсіндә электромагнит кечид просесләриндәki мәсәләләрiniң һесаблания методу илә һәлли	12
--	----

### Кимја

Ә. М. Гулијев, А. М. Тәбатабаи, Г. З. Эләкберов, М. М. Ибраһимов. Тәбии газдан тәжірг алтында бензинниң чыхарылмасы	16
---	----

### Keokimја

З. Һ. Баһајева. Азэрбајҹанин полиметаллик јатагларының сферит вә галенитләrinin таркибләри һагында	20
--	----

З. М. Мәммәдов. Парагаџ мис-молибден јатағы минералларында ре ниумун қеокимјасы	24
---	----

### Нефт вә газ јатагларының ишләнилмәси

Г. Н. Чәлилов. Нефт контурунун һәрәкәти вә дайрәви батарея гујуларының сулашмасы һагында	28
--	----

### Кеофизика

Т. Э. Исмајылзадә. Бабазанан мәңсүлдар гатынның магнитлик хассеси вә онун палеомагнит коррелјасијасы	32
--	----

### Нефт қеолокијасы

Е. И. Зејналова. Чөйранкечмәз депрессијасының гәрб јамачында Олиго-сен-Миоцен чекүнтуләринин газлы олмасының қеоложи шәртләри	35
---	----

А. К. Бадаләи. Газ картажында килли мәһлүлүн дегазасијасына даир бөзи мәсәләләр	40
---	----

Р. Р. Рәһимов. Палчыг вулканализмийн инкишаф етдији виляјэтләрдә бенжук газ јығымларының ахтарышына даир (Күрәтрафы дүзәнилк дахилинде)	44
---	----

### Палеонтологија

Р. Э. Элиев. Чәнуб-шәрги Гафгазын алт тәбашир чекүнтуләриндән яени риихолитләр	48
--	----

## СОДЕРЖАНИЕ

### Математика

- Ф. Д. Теймур ов. Поперечный удар по гибкой нити, находящейся в сопротивляющейся среде . . . . . 3

- Р. А. Васин, А. Б. Ибрагимов. О виде матрицы деформационной анизотропии . . . . . 8

### Техническая физика

- Ч. М. Джуварлы, Е. В. Дмитриев. Численные методы решения задач по переходным электромагнитным процессам в сложной сети . . . . . 12

### Химия

- Ал. М. Кулиев, А. Т. Бабатабаи, Г. З. Алекперов, М. М. Ибрагимов. Отбензинивание природного газа под давлением . . . . . 16

### Геохимия

- З. Э. Баева. О малых и редких элементах в галенитах и сфалеритах полиметаллических месторождений Азербайджана . . . . . 20

- З. М. Мамедов. Геохимия рения в минералах медно-молибденового месторождения Парагачая . . . . . 24

### Разработка нефтяных и газовых месторождений

- К. Н. Джалилов. О стягивании контура нефтеносности и обводнении скважин круговых батарей . . . . . 28

### Геофизика

- Т. А. Исмайлзаде. Магнитные свойства пород продуктивной толщи Бабазанана и их палеомагнитная корреляция . . . . . 32

### Геология нефти

- Э. И. Зейналова. Геологические предпосылки поисков газовых залежей в олигоцен-миоценовых отложениях западного борта Джейранкемесской депрессии . . . . . 35

- А. К. Бадалян. О некоторых вопросах дегазации глинистого раствора при газовом каротаже . . . . . 40

- Р. Р. Рахманов. К вопросу поисков крупных газовых скоплений в области развития грязевого вулканизма в пределах Прикуриńskiej низменности . . . . . 44

### Палеонтология

- Р. А. Алиев. Новые ринхолиты из нижнего мела юго-восточного Кавказа . . . . . 48

### Стратиграфия

- О. Б. Алиев. Материалы к установлению коньякских отложений на Малом Кавказе (Азербайджан) . . . . . 51  
Х. М. Шейдаева-Кулиева и Т. Гадиева. Литология и микрофауна Апшеронского яруса разреза Бибиэйбат . . . . . 55

### Почвенная микробиология

- С. А. Алиев, М. А. Гаджиева. О энергетических показателях биомассы микроорганизмов почв . . . . . 59

### Почвоведение

- М. Р. Абдуев. Передвижение подвешенной влаги при испарении из серебряной почвы подгорной равнины Азербайджана . . . . . 63

### Агрономия

- Р. К. Гусейнов, А. Б. Годжаманов. Формы и содержание калия на основных типах почв Мугано-Сальянской зоны . . . . . 68

### Радиобиология

- С. Г. Гусейнов. Влияние облучений на накопление и передвижение радиоактивного кальция ( $Ca^{45}$ ) у хлопчатника и Ленкоранских бобов . . . . . 71

### Зоология

- И. А. Садыхов, Р. А. Таражиманова. Малый тушканчик *Allactaga Elater bicht* как новый промежуточный хозяин ольвеоккока . . . . . 76

### Медицина

- И. Т. Абасов. Изменения белковых фракций сыворотки крови у больных раком прямой кишки, толстого кишечника и хронической дизентерией . . . . . 80

### История культуры

- Н. И. Рзаев. Элементы древнетюркской культуры на территории Кавказской Албании . . . . . 83

### Археология

- Н. В. Минкевич-Мустафаева, А. В. Рагимов. Перстни с печатями из Байлакана . . . . . 89

## ПРАВИЛА ДЛЯ АВТОРОВ

1. В «Докладах Академии наук Азербайджанской ССР» помещаются краткие сообщения, содержащие законченные, еще не опубликованные результаты научных исследований, имеющих теоретическое или практическое значение.

В «Докладах» не публикуются крупные статьи, механически разделенные на ряд личных сообщений, статьи полемического характера без новых фактических данных, статьи с описанием промежуточных опытов без определенных выводов и обобщений, оты непринципиальные, описательного или обзорного характера, чисто методические статьи, если предлагаемый метод не является принципиально новым, а также статьи по систематике растений и животных (за исключением описания особо интересных для науки находок).

Статьи, помещаемые в «Докладах» не лишают автора права последующей публикации того же сообщения в развернутом виде в других изданиях.

2. Поступающие в «Доклады» статьи рассматриваются Редакционной коллегией только после представления их академиком по специальности.

Статьи членов-корреспондентов Академии наук Азербайджанской ССР принимаются без представления.

Редакция просит академиков при представлении статьи указывать дату получения ее от автора, а также наименование раздела, в котором статья должна быть помещена.

3. В «Докладах» публикуется не более трех статей одного автора в год. Для академиков устанавливается лимит 8 статей, а для членов-корреспондентов Академии наук Азербайджанской ССР — 4 статьи в год.

4. «Доклады» помещают статьи, занимающие не более четверти авторского листа, около 6—7 страниц машинописи (10 000 печатных знаков), включая рисунки.

5. Статьи, написанные на азербайджанском языке, должны иметь резюме на русском языке и наоборот.

6. В конце статьи должны быть указаны название научного учреждения, в котором произведена работа, и номер телефона автора.

7. Опубликование результатов работ, проведенных в научных учреждениях, должно быть разрешено дирекцией научного учреждения.

8. Статьи (включая и резюме) должны быть написаны на машинке через два пробела на одной стороне листа и представляются в двух экземплярах. Формулы должны быть вписаны четко и ясно, и при этом прописные буквы должны быть подчеркнуты (черным карандашом) двумя черточками снизу, а строчные — сверху; буквы греческого алфавита надо обводить красным карандашом.

9. Цитируемая в статье литература должна приводиться не в виде подстрочных списков, а общим списком (без новострочия), в алфавитном порядке (по фамилии автора), в конце статьи с обозначением ссылки в тексте порядковой цифрой. Список литературы должен быть оформлен следующим образом:

а) для книг: фамилия и инициалы автора, полное название книги, номер тома, город, издательство и год издания;

б) для статей в сборниках (трудах): фамилия и инициалы автора, заглавие статьи, название сборника (трудов), том, выпуск, место издания, издательство, год, страница;

в) для журнальных статей: фамилия и инициалы автора, заглавие статьи, название журнала, год, том, номер (выпуск), страница.

Ссылки на неопубликованные работы не допускаются (за исключением отчетов, диссертаций, хранящихся в научных учреждениях).

10. На обороте рисунков должны быть указаны фамилии автора, название статьи и номер рисунка. Отпечатанные на машинке подписи к рисункам представляются на отдельном листе.

11. Редакция выдает автору бесплатно 15 отдельных оттисков статьи.

Сдано в набор 11/IX 1965 г. Подписано к печати 27/XI 1965 г. Формат бумаги 70×108<sup>1/16</sup>. Бум. лист. 3,00. Печ. лист. 8,40+ 1 вкл. Уч.-изд. лист. 6,93. ФГ 17626.  
Заказ 193. Тираж 900. Цена 40 коп.

Типография «Наука» Госкомитета по печати Совета Министров  
Азерб. ССР. Баку, Рабочий проспект, 96.